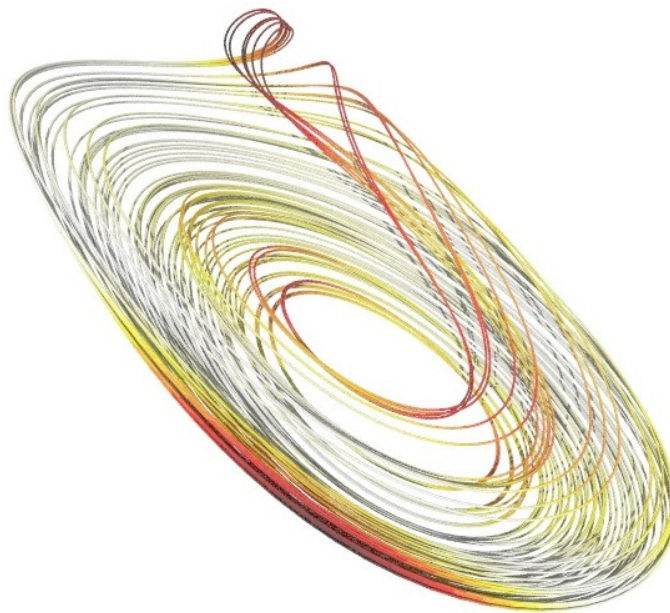


Technische Universität Wien
Institut für Analysis und Scientific Computing

Gewöhnliche Differentialgleichungen

Mitschrift der Vorlesung, Sommersemester 2012
überarbeitet Sommersemester 2016



Vortragender: Univ.Prof. Jens Markus Melenk, PhD.

Eine Mitschrift von: Christian Aumayr, Lukas Beisteiner, Jürgen Gschwindl,
Oliver Leodolter, Richard Rentrop, Markus Schöbinger

Das Titelbild zeigt Orbits der Rabinovich-Fabrikant Differentialgleichungen:

$$x' = y(z - 1 + x^2) + \gamma x$$

$$y' = x(3z + 1 - x^2) + \gamma y$$

$$z' = -2z(\alpha + xy)$$

mit $\gamma = 0,87$ und $\alpha = 1,1$.

Wir danken Florian Brucker für die Grafik. Mehr davon gibt es unter:

<http://www.florianbrucker.de/>

INHALTSVERZEICHNIS

1	Einführung	1
1.1	Einige Beispiele	1
1.2	Fragestellungen bei ODEs	3
2	Existenz und Eindeutigkeit bei Anfangswertproblemen	5
2.1	Begriffe	5
2.2	Existenz und Eindeutigkeit von Anfangswertproblemen	7
2.2.1	Picard-Lindelöf	8
2.2.2	globale Eindeutigkeit	11
2.2.3	Maximale Existenzintervalle	12
2.3	Grönwall-Lemma und seine Anwendung	14
2.4	Existenzsatz von Peano	16
2.5	2 Beispiele für die Bestimmung des maximalen Existenzintervalls	19
3	Lineare Systeme	21
3.1	Homogene Systeme	21
3.1.1	Wronskideterminante	23
3.1.2	Bestimmung von Fundamentalsystemen	25
3.2	Homogene Systeme mit konstanten Koeffizienten	29
3.2.1	Bemerkungen zur Berechnung von e^{tA}	31
3.3	Inhomogene Systeme	33
3.4	Lineare, skalare ODEs der Ordnung n	34
3.5	Gleichungen der Ordnung n mit konstanten Koeffizienten	37
4	Stetige Abhängigkeit von den Daten	43
5	Stabilität und Langzeitverhalten	49
5.1	Ebene autonome Systeme	50
5.2	Stabilität linearer Systeme	54
5.3	Das Prinzip der linearisierten Stabilität (Satz von Hartman-Grobman)	56
5.4	Ljapunovfunktionen	59
5.5	Orbits und Limesmengen	66
5.5.1	Einfache Anwendung von Limesmengen	68
5.6	Satz von Poincaré-Bendixson	69
5.7	Bemerkungen zu periodischen Orbits	76
6	Randwertprobleme	79
6.1	Lineare Systeme 1.Ordnung	80
6.2	Skalare Gleichungen 2. Ordnung	82
6.3	Sturm - Liouville Eigenwertprobleme	85

INHALTSVERZEICHNIS

6.3.1	Motivation	85
6.3.2	Exkurs: Spektraltheorie kompakter Operatoren	88
6.3.3	Anwendung des Spektralsatzes auf SLEWP	91
6.3.4	Ausgewählte Beweise für die Sätze 6.12, 6.13	93
6.3.5	2 Beispiele für Separationstechniken bei PDEs	95
7	Grundzüge der Charakteristikenmethode	99
7.1	Lineare Gleichungen	99

Einführung

Abkürzung: **ODE**— ordinary differential equation

Eine Differentialgleichung stellt eine Beziehung her zwischen einer Funktion und einigen ihrer Ableitungen.

Beispiel:

(i) $y'(t) + y(t) = 0 \quad \forall t \in (0, 1) \quad \llbracket y'(t) = \frac{d}{dt}y(t) \rrbracket$

(ii) $y''(t) + y(t)y'(t) = 1 \quad \forall t \in (1, 2)$

(iii) $\frac{\partial}{\partial t}y(t, x) - \frac{\partial^2}{\partial x^2}y(t, x) = 0 \quad \forall t \in (0, 1), x \in (3, 4)$

(iv) $(y'(t))^2 + y^2(t) = 1 \quad \forall t \in (0, 1)$

■
Falls alle Ableitungen nach derselben Variablen genommen werden, spricht man von einer **ODE**, falls nach verschiedenen Variablen abgeleitet wird, von einer **partiellen Differentialgleichung** (**PDE** - partial differential equation).

(i),(ii),(iv) - ODE
(iii) - PDE

1.1 Einige Beispiele

Beispiel 1.1. (Wachstum einer Population)

Sei $y(t)$ = Größe einer Population zum Zeitpunkt t (z.B. Anzahl Bakterien, Kaninchen,...).

Man beobachtet: für kleine Zeitinkremente Δt gilt:

$$y(t + \Delta t) - y(t) \approx \alpha \Delta t y(t), \quad \alpha > 0$$

Für kleine Δt ergibt sich als Modell:

$$y'(t) = \alpha y(t) \tag{1.1}$$

Falls $y(t_0) = y_0$ bekannt ist, dann ist die Lösung von (1.1) gegeben durch $y(t) = y_0 e^{\alpha(t-t_0)}$. ■

Beispiel 1.2. („logistische Differentialgleichung“)

Beobachtung: exponentielles Wachstum wie in Beispiel 1.1 ist oft unrealistisch, weil z.B. Ressourcen begrenzt sind.

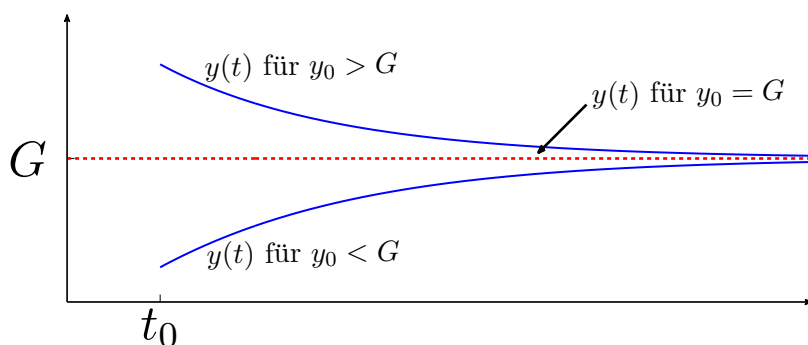
Man kann z.B. (1.1) durch die ODE

$$y'(t) = \alpha y(t)(G - y(t)) \quad (1.2)$$

mit Parametern $\alpha, G \in \mathbb{R}$ ersetzen.

Lösung von (1.2) mit der Anfangsbedingung $y(t_0) = y_0$ ist

$$y(t) = G \frac{1}{1 + \left(\frac{G}{y_0} - 1\right) e^{-\alpha G(t-t_0)}}$$



Beobachtung:

- Das Langzeitverhalten (für $t \rightarrow +\infty$) ist immer $\lim_{t \rightarrow \infty} y(t) = G$.
- Lösung $y(t) \equiv G$ heißt **Gleichgewichtslösung**.

■

Beispiel 1.3. („Lotka-Volterra / Räuber-Beute-Modell“)

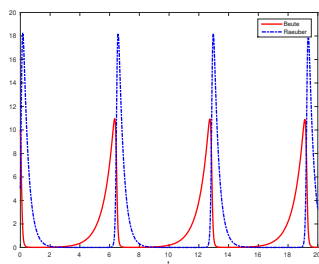
2 Spezies: $x(t)$ = Anzahl Beutetier

$y(t)$ = Anzahl Räuber

$$x'(t) = \alpha x(t) - \beta y(t)x(t)$$

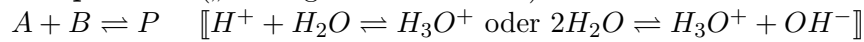
$$y'(t) = -\gamma y(t) + \delta x(t)y(t)$$

Beobachtung: Es gibt stabile, **periodische** Lösungen.



Bemerkung: Es handelt sich um ein System von gekoppelten ODEs. ■

Beispiel 1.4. („Gleichgewichtsreaktion“)



c_A, c_B, c_P = Konzentration der Stoffe A, B, P .

$$c'_A = -k^+ c_A c_B + k^- c_P$$

$$c'_B = -k^+ c_A c_B + k^- c_P$$

$$c'_P = +k^+ c_A c_B - k^- c_P$$

Erhaltungsgrößen: $(c_A + c_P)' = 0 = (c_B + c_P)'$, damit sind $c_A + c_P$ und $c_B + c_P$ Erhaltungsgrößen. ■

1.2 Fragestellungen bei ODEs

- (1) Existenz und Eindeutigkeit?
- (2) Existenzbereich der Lösung: existiert eine Lösung für alle $t > t_0$?
[z.B. $y'(t) = (y(t))^2$ mit $y(0) = 1$ hat die Lösung $y(t) = \frac{1}{1-t}$]
- (3) (stetige) Abhängigkeit der Lösung von Parametern, Anfangsbedingung, etc. („Sensitivität“)
- (4) gibt es Erhaltungsgrößen?
- (5) Langzeitverhalten?
- (6) periodische Lösungen?
- (7) Stabilität des Langzeitverhaltens?
- (8) sind Lösungen positiv?
- (9) numerische Behandlung?

Existenz und Eindeutigkeit bei Anfangswertproblemen

2.1 Begriffe

Die allgemeine Form eines Systems von ODEs ist

$$F(t, y(t), y'(t), \dots, y^{(m)}(t)) = 0 \in \mathbb{R}^n \quad (2.1)$$

für eine gegebene Funktion F und $m, n \in \mathbb{N}$.

- (i) Die höchste auftretende Ableitungsordnung m ist die **Ordnung** der ODE,
- (ii) falls $y : I \rightarrow \mathbb{R}$, dann heißt die ODE **skalar**,
- (iii) falls $y : I \rightarrow \mathbb{R}^d$ mit $d > 1$, dann heißt die ODE **vektorwertig**,
- (iv) falls $n > 1$, dann liegt ein **System** von ODEs vor,
- (v) falls (2.1) die Form $\tilde{F}(t, y(t), \dots, y^{(m-1)}(t)) - y^{(m)}(t) = 0 \in \mathbb{R}^n$ hat, dann heißt (2.1) **explizit**, andernfalls **implizit**.
- (vi) **Lineare Systeme** haben die Form

$$\begin{aligned} y_1^{(m)}(t) &= g_1(t) + \sum_{j=0}^{m-1} \sum_{k=1}^d \alpha_{1,j,k}(t) y_k^{(j)}(t) \\ &\vdots \\ y_d^{(m)}(t) &= g_d(t) + \sum_{j=0}^{m-1} \sum_{k=1}^d \alpha_{d,j,k}(t) y_k^{(j)}(t) \end{aligned}$$

für gegebene Funktionen $g_i, \alpha_{i,j,k}$.

Das lineare System heißt **homogen**, falls $g_1 \equiv g_2 \equiv \dots \equiv g_d \equiv 0$, andernfalls **inhomogen**.

- (vii) Lineare Systeme 1. Ordnung haben die Form ($n = d$)

$$y_i'(t) = g_i(t) + \sum_{k=1}^d a_{kj}(t) y_j(t), \quad i = 1, \dots, d$$

kompakter formuliert

$$\underline{y}'(t) = \underline{g}(t) + \underline{A}(t) \underline{y}(t) \quad \text{mit } \underline{g}(t) = (g_1(t), \dots, g_d(t))^T, \underline{A}(t) \text{ ist eine Matrix.}$$

Beispiel 2.1.

- (i) $y''' - 5ty' + 7y = 0$ Ordnung 3, skalar, linear, homogen, explizit
- (ii) $t^2y''' - 5ty' + 7y = 0$ Ordnung 3, implizit
- (iii) $y'_1 = f_1(t, y_1, y_2)$
 $y'_2 = f_2(t, y_1, y_2)$ System, Ordnung 1, explizit

Von zentraler Bedeutung für die Theorie von ODEs sind explizite Systeme 1. Ordnung, denn ■

1. Implizite ODEs 1. Ordnung können oft (zumindest theoretisch) in explizite umgewandelt werden.

- **Beispiel:** $(y + t)y' - ty = 0$ ist implizit, aber die explizite Form ist $y' = \frac{ty}{y+t}$.

- Für allgemeine implizite ODEs der Form $F(t, y, y') = 0$ liefert der Satz über implizite Funktionen [ENGL 6.68.] unter geeigneten Voraussetzungen eine Darstellung der Form $y' = f(t, y)$.

2. Die explizite skalare ODE $y^{(m)} = F(t, y, y', \dots, y^{(m-1)})$ lässt sich äquivalent als System 1. Ordnung schreiben durch Einführen der folgenden Variablen y_1, y_2, \dots, y_m :

$$\begin{aligned} y_1 &:= y \\ y_2 &:= y' = y'_1 \\ y_3 &:= y'' = y'_2 \\ &\vdots \\ y_m &:= y^{(m-1)} = y'_{m-1} \end{aligned}$$

Damit ist die ODE $y^{(m)} = F(t, y, y', \dots, y^{(m-1)})$ äquivalent zu

$$\begin{aligned} y'_1 &= y_2 \\ y'_2 &= y_3 \\ &\vdots \\ y'_{m-1} &= y_m \\ y'_m &= F(t, y_1, y_2, \dots, y_m) \end{aligned}$$

Definition 2.2. Sei $G \subset \mathbb{R}^{d+1}$ Gebiet, $f \in C(G; \mathbb{R}^d)$

Eine auf dem (offenen) Intervall $J \subset \mathbb{R}$ definierte Funktion y heißt eine Lösung von $y' = f(t, y)$, falls

- (i) $y \in C^1(J, \mathbb{R}^d)$
- (ii) $\text{graph } y := \{(t, y(t)) \mid t \in J\} \subset G$
- (iii) $y'(t) = f(t, y(t)) \quad \forall t \in J$

Definition 2.3. Sei $G \subset \mathbb{R}^{d+1}$ Gebiet, $f \in C(G; \mathbb{R}^d)$, $(t_0, y_0) \in G$.

Eine auf einem offenen Intervall J definierte Funktion y heißt Lösung des AWP

$$y' = f(t, y), \quad y(t_0) = y_0$$

falls

- (i) $t_0 \in J$
- (ii) $y \in C^1(J; \mathbb{R}^d)$ löst $y' = f(t, y)$ im Sinne von Definition 2.2.
- (iii) $y(t_0) = y_0$

2.2 Existenz und Eindeutigkeit von Anfangswertproblemen

Wir betrachten

$$y' = f(t, y), \quad y(t_0) = y_0 \tag{2.2}$$

und stellen folgende Fragen:

- (i) Existenz?
- (ii) Eindeutigkeit?
- (iii) Wie groß ist das maximale Existenzintervall?
- (iv) Wie hängt die Lösung von den Anfangsbedingungen ab?

Beispiel 2.4. (*Verlust der Eindeutigkeit*)

Betrachte das AWP

$$y' = f(t, y), \quad f(t, y) = \sqrt{|y|}, \quad t_0 = 0, \quad y_0 = 0 \tag{2.3}$$

Dann gilt:

$$y_1(t) = 0, \quad y_2(t) := \begin{cases} 0 & , t \leq 0 \\ \frac{1}{4}t^2 & , t > 0 \end{cases}$$

sind Lösungen von (2.3). Tatsächlich ist jede Funktion der Form

$$y(t) := \begin{cases} 0 & , t \leq c \\ \frac{1}{4}(t - c)^2 & , t > c \end{cases}$$

mit $c \geq 0$ eine Lösungen des AWP (2.3). ■

Bemerkung: Der Verlust der Eindeutigkeit der Lösungen des AWP (2.3) ist der Tatsache geschuldet, dass f *nur* stetig ist und nicht stetig differenzierbar. Der folgende Satz von Picard-Lindelöf gibt Existenz und Eindeutigkeit, falls f *ein bisschen mehr* Glattheit hat. ■

2.2.1 Picard-Lindelöf

Satz 2.5. (*Picard-Lindelöf*):

Vor.: Seien $a, b > 0$, $t_0 \in \mathbb{R}$, $y_0 \in \mathbb{R}^d$. Sei $\mathfrak{R} := \{(t, x) : |t - t_0| \leq a, \|x - y_0\|_{\mathbb{R}^d} \leq b\}$, $f \in C(\mathfrak{R}; \mathbb{R}^d)$. Sei f Lipschitzstetig im 2. Argument d.h. $\|f(t, x) - f(t, z)\|_{\mathbb{R}^d} \leq L \|x - z\|_{\mathbb{R}^d} \quad \forall (t, x), (t, z) \in \mathfrak{R}$.
 Definiere: $M := \|f\|_{C(\mathfrak{R}, \mathbb{R}^d)}$, $\alpha := \min\{a, \frac{b}{M}\}$.

Beh.: Dann gilt:

 (i) für $J := (t_0 - \alpha, t_0 + \alpha)$ existiert eine Lösung $y \in C^1(J, \mathbb{R}^d)$ des AWP

$$(2.4) \quad y' = f(t, y), \quad y(t_0) = y_0$$

 (ii) Die Lösung ist eindeutig im folgenden Sinne: jede weitere Lösung $\tilde{y} \in C^1(\tilde{J}, \mathbb{R}^d)$ des AWP erfüllt $y(t) = \tilde{y}(t) \quad \forall t \in J \cap \tilde{J}$

Der Beweis beruht auf

- (a) Umformulieren des AWP (2.4) in eine Integralgleichung in Fixpunktform
- (b) Banachscher Fixpunktsatz

Lemma 2.6. (*Banachscher Fixpunktsatz*):

 Vor.: Sei $(X, \|\cdot\|_X)$ ein Banachraum. Es gelte

- (a) $\emptyset \neq A \subset X$ abgeschlossene Teilmenge
- (b) $T : A \rightarrow A$ [T ist Selbstabbildung]
- (c) T ist Kontraktion, das heißt $\exists q \in (0, 1)$, so dass

$$\|T(x) - T(y)\|_X \leq q \|x - y\|_X \quad \forall x, y \in A$$

Beh.: Dann gilt

- (i) $\exists! \bar{x} \in A$ mit $\bar{x} = T(\bar{x})$
- (ii) $\forall x_0 \in A$ konvergiert die Folge $(x_n)_{n=0}^\infty$ gegeben durch $x_{n+1} = T(x_n)$ gegen \bar{x} .

Beweis: Siehe ENGL 6.68. und BLÜMLINGER 7.1.1

■

Lemma 2.7.

Vor.: Sei $G \subset \mathbb{R}^{d+1}$ Gebiet, $f \in C(G; \mathbb{R}^d)$, $(t_0, y_0) \in G$, $J \subset \mathbb{R}$ Intervall mit $t_0 \in J$.

Beh.: Dann sind die Aussagen (i) & (ii) äquivalent:

(i) $y \in C^1(J; \mathbb{R}^d)$ löst das AWP $y' = f(t, y)$, $y(t_0) = y_0$

(ii) $y \in C(J; \mathbb{R}^d)$ löst die Integralgleichung

$$y(t) = y_0 + \int_{t_0}^t f(s, y(s)) \, ds \quad \forall t \in J \quad (2.5)$$

Beweis:

(i) \Rightarrow (ii) : für alle $t \in J$ ist

$$y(t) = y(t_0) + \int_{t_0}^t y'(s) \, ds \stackrel{\substack{y \text{ löst} \\ \text{das AWP}}}{=} y_0 + \int_{t_0}^t f(s, y(s)) \, ds$$

(ii) \Rightarrow (i):

- (2.5) impliziert, dass $\{(t, y(t)) | t \in J\} \subset G$
 $\llbracket \text{sonst ist die rechte Seite in (2.5) nicht definiert} \rrbracket$
- $f \in C(G; \mathbb{R}^d)$ impliziert, dass $t \mapsto f(t, y(t))$ stetig auf J ist
- (2.5) impliziert damit $y \in C^1(J; \mathbb{R}^d)$
- (2.5) impliziert damit $y'(t) = f(t, y(t)) \, \forall t \in J$ und $y(t_0) = y_0$ ■

Beweis (von Satz 2.5.):

- Betrachte $\bar{J} := [t_0 - \alpha, t_0 + \alpha]$ und den Banachraum $X := C(\bar{J}; \mathbb{R}^d)$ versehen mit der Norm $\|z\|_X := \max_{t \in \bar{J}} (\|z(t)\|_{\mathbb{R}^d} e^{-2L|t-t_0|})$
- Definiere $A \subseteq X$ durch $A := \{z \in C(\bar{J}; \mathbb{R}^d) : \|z(t) - y_0\|_{\mathbb{R}^d} \leq b \, \forall t \in \bar{J}\}$.
- A ist abgeschlossen (bezüglich $\|\cdot\|_X$): Sei $(z_n)_{n=0}^\infty \subset A$ und $z_n \rightarrow z \in X$.
 Dann gilt:

$$\begin{aligned} & \lim_{n \rightarrow \infty} \max_{t \in \bar{J}} \|z_n(t) - z(t)\|_{\mathbb{R}^d} e^{-2L|t-t_0|} = 0 \\ \Rightarrow & \lim_{n \rightarrow \infty} \max_{t \in \bar{J}} \|z_n(t) - z(t)\|_{\mathbb{R}^d} = 0 \\ \Rightarrow & \|z(t) - y_0\|_{\mathbb{R}^d} \leq \underbrace{\|z(t) - z_n(t)\|_{\mathbb{R}^d}}_{\rightarrow 0 \text{ für } n \rightarrow \infty} + \underbrace{\|z_n(t) - y_0\|_{\mathbb{R}^d}}_{\leq b, \text{ weil } z_n \in A} \\ \Rightarrow & z \in A \end{aligned}$$

- Definiere die Abbildung $T : A \rightarrow X$ durch

$$(Tx)(t) := y_0 + \int_{t_0}^t f(s, x(s)) \, ds .$$

- T ist wohldefiniert: $x \in A$ impliziert für $t \in \bar{J} = [t_0 - \alpha, t_0 + \alpha]$, dass $\|x(t) - y_0\|_{\mathbb{R}^d} \leq b$. Das heißt:

$$\forall t \in \bar{J} \quad (t, x(t)) \in \mathfrak{R} = \{(s, z) : |s - t_0| \leq a, \|z - y_0\|_{\mathbb{R}^d} \leq b\}$$

- Die Abbildung T bildet nach A ab: Sei $x \in A$, $t \in \bar{J}$. Dann gilt:

$$\|(Tx)(t) - y_0\|_{\mathbb{R}^d} = \left\| \int_{t_0}^t f(s, x(s)) \, ds \right\|_{\mathbb{R}^d} \leq \left| \int_{t_0}^t \underbrace{\|f(s, x(s))\|_{\mathbb{R}^d}}_{\in \mathfrak{R}} \, ds \right| \leq \left| \int_{t_0}^t M \, ds \right| \leq \alpha \cdot M \leq b$$

damit ist $Tx \in A$.

- Die Abbildung $T : A \rightarrow A$ ist eine Kontraktion: Seien $x, z \in A$

$$(Tz)(t) - (Tx)(t) = \int_{t_0}^t f(s, z(s)) \, ds - \int_{t_0}^t f(s, x(s)) \, ds = \int_{t_0}^t f(s, z(s)) - f(s, x(s)) \, ds$$

$$\begin{aligned} \Rightarrow \| (Tz)(t) - (Tx)(t) \|_{\mathbb{R}^d} &= \left\| \int_{t_0}^t f(s, z(s)) - f(s, x(s)) \, ds \right\|_{\mathbb{R}^d} \\ &\leq \left| \int_{t_0}^t \|f(s, z(s)) - f(s, x(s))\|_{\mathbb{R}^d} \, ds \right| \quad [\text{Betrag, weil } t < t_0 \text{ möglich}] \\ &\leq \left| \int_{t_0}^t L \|z(s) - x(s)\|_{\mathbb{R}^d} \, ds \right| \\ &= \left| L \int_{t_0}^t \|z(s) - x(s)\|_{\mathbb{R}^d} e^{-2L|s-t_0|} e^{2L|s-t_0|} \, ds \right| \\ &\leq L \left(\max_{s \in \bar{J}} e^{-2L|s-t_0|} \|z(s) - x(s)\|_{\mathbb{R}^d} \right) \left| \int_{t_0}^t e^{2L|s-t_0|} \, ds \right| \\ &\leq L \|z - x\|_X \frac{1}{2L} e^{2L|t-t_0|} \end{aligned}$$

$$\Rightarrow \|Tx - Tz\|_X \leq \frac{1}{2} \|x - z\|_X \quad \text{Das heißt } T \text{ ist Kontraktion.}$$

- Der Banachsche Fixpunktsatz liefert damit eine Lösung $y \in A$ mit $y = Ty$.
- Nach Lemma 2.7 ist y damit Lösung des AWP.
- Die Eindeutigkeit folgt aus der Eindeutigkeitsaussage des Banachschen Fixpunktsatzes (Übung). *Hinweis:* zeigen Sie für beliebiges, abgeschlossenes $J' = \bar{J}'$ mit $J' \subset J \cap \bar{J}$ mittels Banachischem Fixpunktsatz angewandt auf T auf der Menge der Menge $\tilde{A} := \{z \in C(J'; \mathbb{R}) : \|z(t) - y_0\|_{\mathbb{R}^d} \leq b \quad \forall t \in \bar{J}'\}$, daß $y|_{J'} = \tilde{y}|_{J'}$. (Übung).

■

Übung: $(X, \|\cdot\|_X)$ ist ein Banachraum (Übungsbeispiel 2.6.)

■

2.2.2 globale Eindeutigkeit

Der Satz von Picard-Lindelöf liefert lokale Existenz und Eindeutigkeit. Wesentlich ist dabei die Lipschitzstetigkeit im 2. Argument. Wir definieren deshalb

Definition 2.8. Sei $G \subset \mathbb{R}^{d+1}$, $f \in C(G; \mathbb{R}^d)$.
 f heißt lokal lipschitzstetig im 2. Argument, falls es für jedes $(t, y) \in G$ eine Umgebung U von (t, y) gibt und ein $L_U > 0$ gibt, so dass

$$\|f(\tilde{t}, x) - f(\tilde{t}, z)\|_{\mathbb{R}^d} \leq L_U \|x - z\|_{\mathbb{R}^d} \quad \forall (\tilde{t}, x), (\tilde{t}, z) \in U$$

Übung: $f \in C^1(G; \mathbb{R}^d) \Rightarrow f$ lokal lipschitzstetig im 2. Argument (Übungsbeispiel 2.1.) ■

Übung: Zeigen Sie: f ist lokal lipschitzstetig im 2. Argument \iff für jedes kompakte $K \subset G$ existiert ein $L_K > 0$, so daß

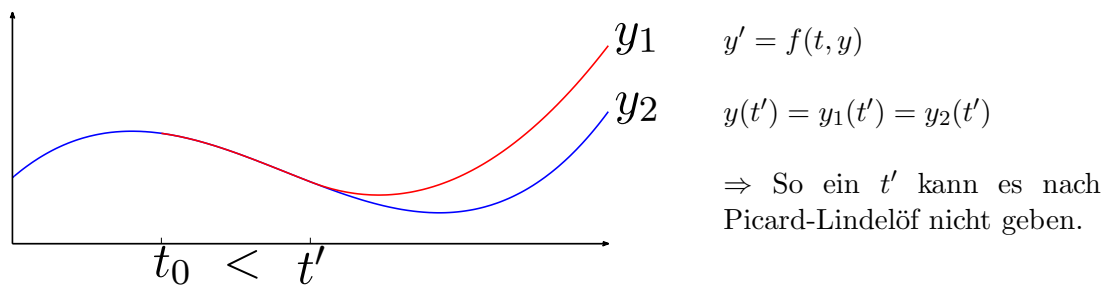
$$\|f(t, x) - f(t, y)\|_{\mathbb{R}^d} \leq L_K \|x - y\|_{\mathbb{R}^d} \quad \forall (t, x), (t, y) \in K.$$

■

Lemma 2.9. (lokale Eindeutigkeit impliziert globale Eindeutigkeit):

Vor.: Sei $G \subset \mathbb{R}^{d+1}$ Gebiet, f lokal lipschitzstetig im 2. Argument, $(t_0, y_0) \in G$. Seien J_1, J_2 offene Intervalle mit $t_0 \in J_1 \cap J_2$. Seien $y_1 \in C^1(J_1; \mathbb{R}^d)$, $y_2 \in C^1(J_2; \mathbb{R}^d)$ zwei Lösungen des AWP $y' = f(t, y(t))$, $y(t_0) = y_0$.

Beh.: Dann gilt: $y_1 = y_2$ auf $J_1 \cap J_2$.



Beweis: $J_1 \cap J_2 =: (t^-, t^+)$ ist offenes Intervall mit $t_0 \in (t^-, t^+)$

Behauptung: $y_1 = y_2$ auf (t^-, t^+)

1.Schritt: Nach Picard-Lindelöf existiert ein $\alpha > 0$, so dass $y_1 = y_2$ auf $(t_0 - \alpha, t_0 + \alpha)$

2.Schritt: Sei $t' \in (t_0, t^+)$ mit $y_1 = y_2$ auf (t_0, t') . Weil y_1, y_2 stetig bei t' sind, gilt $y_1(t') = y_2(t')$.

Nach Picard-Lindelöf existiert ein $\alpha' > 0$, so dass $y_1 = y_2$ auf $(t' - \alpha', t' + \alpha')$.

3.Schritt: Der 2.Schritt impliziert $\sup \{t' : y_1(t) = y_2(t) \quad \forall t \in (t_0, t')\} = t^+$.

4.Schritt: Analog gilt $\inf \{t' : y_1(t) = y_2(t) \quad \forall t \in (t', t_0)\} = t^-$.

Daraus ergibt sich sofort die Behauptung. ■

Korollar 2.10.

Vor.: Sei $G \subset \mathbb{R}^{d+1}$ Gebiet, f lokal lipschitzstetig im 2. Argument.

Beh.: Dann gilt: Für jedes $(t_0, y_0) \in G$ existiert genau eine Lösung des Anfangswertproblems

$$y' = f(t, y(t)), \quad y(t_0) = y_0$$

Insbesondere können sich Lösungen der ODE $y' = f(t, y(t))$ nicht schneiden.

Anschaulich: Die Graphen von 2 Lösungen sind disjunkt oder deckungsgleich.

Beweis: Klar. ■

Wegen der Eindeutigkeitsaussage kann von **der** Lösung des AWP

$y' = f(t, y(t)), \quad y(t_0) = y_0$ gesprochen werden. Wir bezeichnen sie mit $t \mapsto y_{t_0, y_0}(t)$. Implizit ist gemeint, dass $y_{t_0, y_0}(t)$ auf dem maximal möglichen Definitionsbereich erklärt ist. (siehe Satz 2.13.)

2.2.3 Maximale Existenzintervalle

Lemma 2.11. (‘‘Klebelemma’’):

Vor.: Sei $G \subset \mathbb{R}^{d+1}$ Gebiet, $f \in C(G; \mathbb{R}^d)$ lokal lipschitzstetig im 2. Argument.

Sei $y \in C^1((a, b); \mathbb{R}^d)$ Lösung von $y' = f(t, y(t))$.

Es gelte: $\lim_{t \rightarrow b^-} (t, y(t)) \in G$.

Beh.: Dann ist y über den Punkt $t = b$ hinaus (als Lösung der ODE) fortsetzbar,

d.h. $\exists b' > b$ und $\tilde{y} \in C^1((a, b'); \mathbb{R}^d)$ mit

- $y'(t) = f(t, \tilde{y}(t)) \quad \forall t \in (a, b')$
- $\tilde{y} = y$ auf (a, b)

Beweis: Nach (2.7) ist $(b, y_b) := \lim_{t \rightarrow b^-} (t, y(t)) \in G$. Nach Picard-Lindelöf $\exists \alpha > 0$ und ein $\hat{y} \in C^1((b - \alpha, b + \alpha); \mathbb{R}^d)$ mit $\hat{y}' = f(t, \hat{y}(t)) \quad \forall t \in (b - \alpha, b + \alpha)$ und $\hat{y}(b) = y_b$

Definiere $\tilde{y}(t) := \begin{cases} y(t), & t \in (a, b) \\ \hat{y}(t), & t \in [b, b + \alpha) \end{cases}$

Dann gilt:

- $\tilde{y} \in C^1$ auf (a, b) und auf $(b, b + \alpha)$
- $\tilde{y} \in C((a, b + \alpha); \mathbb{R}^d)$, denn $\lim_{t \rightarrow b^+} \tilde{y}(t) = \hat{y}(b) = y_b = \lim_{t \rightarrow b^-} y(t)$
- Wegen der Stetigkeit von f gilt: \tilde{y} ist C^1 bei $t = b$, denn $\lim_{t \rightarrow b^+} \tilde{y}'(t) = \lim_{t \rightarrow b^+} f(t, \hat{y}(t)) = f(b, y_b) = \lim_{t \rightarrow b^-} f(t, y(t))$ ■

Übung 2.12. (cf. Übungsbeispiel 2.7.) Zeigen Sie, dass die Bedingung (2.7) folgendermaßen abgeschwächt werden kann: Es existiert eine Folge $(t_n)_{n=0}^\infty$ mit $t_n \rightarrow b^-$ so dass

(2.8) $\lim_{n \rightarrow \infty} (t_n, y(t_n)) \in G$. ■

Bemerkung: Lemma 2.11. suggeriert, dass man Lösungen von ODEs so lange fortsetzen kann, bis man „an den Rand des Definitionsbereiches G anstößt“. ■

Satz 2.13.

Vor.: Sei $G \subset \mathbb{R}^{d+1}$ Gebiet, $f \in C(G; \mathbb{R}^d)$ lokal lipschitzstetig im 2. Argument

Beh.: Dann gilt: Für jedes $(t_0, y_0) \in G$ existieren T^-, T^+ ($T^- = -\infty, T^+ = \infty$ zugelassen) mit folgenden Eigenschaften:

- (i) es existiert eine eindeutige Lösung $y_{t_0, y_0} \in C^1((T^-, T^+); \mathbb{R}^d)$ des AWP
 $y' = f(t, y), y(t_0) = y_0$
- (ii) Das Existenzintervall (T^-, T^+) ist maximal: Es gibt kein Intervall J mit $(T^-, T^+) \subsetneq J$, so dass (2.9) eine Lösung $y \in C^1(J; \mathbb{R}^d)$ hat.
- (iii) Bei T^+ (analog bei T^-) können nur die folgenden drei Fälle auftreten:
 - (a) $T^+ = \infty$ [die Lösung existiert für alle Zeiten $t > t_0$]
 - (b) $T^+ < \infty$ und $\limsup_{t \rightarrow T^+} \|y_{t_0, y_0}\|_{\mathbb{R}^d} = \infty$ [blow-up]
 - (c) $T^+ < \infty$ und $\liminf_{t \rightarrow T^+} \text{dist}((t, y_{t_0, y_0}(t)), \partial G) = 0$ [Kollaps der Lösung]

Beispiel:

1. $G = \mathbb{R}^2, y' = \alpha y, (t_0, y_0) = (0, y_0)$ hat die Lösung
 $y_{t_0, y_0}(t) = y_0 e^{\alpha t}$ und $(T^-, T^+) = (-\infty, \infty)$
2. $y' = y^2, (t_0, y_0) = (0, 1), G = \mathbb{R}^2$. Die Lösung ist
 $y_{t_0, y_0}(t) = \frac{1}{1-t}$. Hier ist $(T^-, T^+) = (-\infty, 1)$ (blow up)
3. $y' = -2 + \sin \frac{1}{y}, (t_0, y_0) = (0, 1), G = \mathbb{R} \times \mathbb{R}^+$ (Kollaps) [siehe Übungsbeispiel 3.5.]

■

Beweis (von Satz 2.13.):

Nach Picard-Lindelöf existiert eine Lösung in der Nähe $t = t_0$. Nach Übung 2.12. können wir uns die Lösung y auf ein Intervall (T^-, T^+) fortgesetzt denken, so dass bei T^+ (analog bei T^-) folgende Bedingung erfüllt ist: für jede Folge $(t_n)_{n=0}^\infty$ mit $t_n \rightarrow T^+$ ist (2.8) nicht erfüllt, das heißt $\lim_{n \rightarrow \infty} (t_n, y(t_n))$ existiert nicht, oder $\lim_{n \rightarrow \infty} (t_n, y(t_n)) \notin G$. Wir zeigen nun, dass dann einer der 3 Fälle (a)-(c) aus Satz 2.13. erfüllt ist. Insbesondere zeigt dies, dass die Lösung nicht über T^+ hinweg fortsetzbar ist. (2.10)

Wir nehmen an, dass weder (a) noch (b) erfüllt sind und müssen zeigen, dass (c) gilt:
Sei also

- $T^+ < \infty$
- $\limsup_{t \nearrow T^+} \|y_{t_0, y_0}(t)\|_{\mathbb{R}^d} < \infty$

Sei $(t_n)_{n=0}^\infty \subset \mathbb{R}$ mit $\lim_{n \rightarrow \infty} t_n = T^+$. Nach Bolzano-Weierstraß existiert eine Teilfolge $(t_{n'})_{n'}$ und ein $y_b \in \mathbb{R}^d$, so dass

$$\lim_{n' \rightarrow \infty} (t_{n'}, y_{t_0, y_0}(t_{n'})) = (T^+, y_b)$$

Nach (2.10) ist $(T^+, y_b) \notin G$. Weil $(t_{n'}, y_{t_0, y_0}(t_{n'})) \in G \forall n'$ folgt $(T^+, y_b) \in \partial G$ ■

2.3 Grönwall-Lemma und seine Anwendung

Ein zentrales Werkzeug bei der Analyse von ODEs ist das Grönwall-Lemma.

Lemma 2.14. (*Grönwall*):

(2.11) Vor.: Sei $\alpha, \beta, v \in C([t_0, T]; \mathbb{R})$ mit $\beta \geq 0$ und

$$0 \leq v(t) \leq \alpha(t) + \int_{t_0}^t \beta(s)v(s)ds \quad \forall t \in [t_0, T].$$

(2.12) Beh.: $v(t) \leq \alpha(t) + \int_{t_0}^t \alpha(s)\beta(s)e^{\int_s^t \beta(\tau)d\tau} ds \quad \forall t \in [t_0, T]$

Speziell für $\alpha \equiv M \in \mathbb{R}$ gilt:

(2.13)
$$v(t) \leq Me^{\int_{t_0}^t \beta(\tau)d\tau}$$

Beweis: Definiere $V(t) := \int_{t_0}^t \beta(s)v(s)ds$. Dann ist $V \in C^1$ und

$$V'(t) = \beta(t)v(t) \stackrel{(2.11)}{\leq} \beta(t) \left(\alpha(t) + \int_{t_0}^t \beta(s)v(s)ds \right) \leq \beta(t) (\alpha(t) + V(t))$$

$$\begin{aligned} & \Rightarrow \frac{\partial}{\partial t} \left(e^{-\int_{t_0}^t \beta(\tau)d\tau} V(t) \right) = -\beta(t)e^{-\int_{t_0}^t \beta(\tau)d\tau} V(t) + e^{-\int_{t_0}^t \beta(\tau)d\tau} V'(t) \\ & \leq -\beta(t)e^{-\int_{t_0}^t \beta(\tau)d\tau} V(t) + \alpha(t)\beta(t)e^{-\int_{t_0}^t \beta(\tau)d\tau} + \beta(t)e^{-\int_{t_0}^t \beta(\tau)d\tau} V(t) \\ & = \alpha(t)\beta(t)e^{-\int_{t_0}^t \beta(\tau)d\tau} \\ & \Rightarrow \int_{t_0}^t \frac{\partial}{\partial s} \left(e^{-\int_{t_0}^s \beta(\tau)d\tau} V(s) \right) ds \leq \int_{t_0}^t \alpha(s)\beta(s)e^{-\int_{t_0}^s \beta(\tau)d\tau} ds \\ & \Leftrightarrow e^{-\int_{t_0}^t \beta(\tau)d\tau} V(t) - \underbrace{V(t_0)}_{=0} \leq \int_{t_0}^t \alpha(s)\beta(s)e^{-\int_{t_0}^s \beta(\tau)d\tau} ds \\ & \Rightarrow V(t) \leq \int_{t_0}^t \alpha(s)\beta(s)e^{\int_s^t \beta(\tau)d\tau} ds \\ & \stackrel{(2.11)}{\Rightarrow} v(t) \leq \alpha(t) + V(t) \leq \alpha(t) + \int_{t_0}^t \alpha(s)\beta(s)e^{\int_s^t \beta(\tau)d\tau} ds \end{aligned}$$

Für (2.13) folgt wegen $\beta \geq 0$

$$\begin{aligned} v(t) &\leq M + M \int_{t_0}^t \underbrace{\beta(s) e^{\int_s^t \beta(\tau) d\tau}}_{= -\frac{\partial}{\partial s} \left(e^{\int_s^t \beta(\tau) d\tau} \right)} ds = M \left(1 - \int_{t_0}^t \frac{\partial}{\partial s} \left(e^{\int_s^t \beta(\tau) d\tau} \right) ds \right) \\ &= M \left(1 - \left[1 - e^{\int_{t_0}^t \beta(\tau) d\tau} \right] \right) = M e^{\int_{t_0}^t \beta(\tau) d\tau} \end{aligned}$$

■

Das Grönwall-Lemma ermöglicht es manchmal, explizit das maximale Existenzintervall für ein AWP anzugeben. Ein solches Beispiel sind ODEs mit „linear beschränkten rechten Seiten“ f :

Satz 2.15. (*maximale Existenz für linear beschränkte rechte Seiten*):

Vor.: Sei $J \subset \mathbb{R}$ Intervall ($J = (-\infty, a)$, $J = (a, \infty)$, $J = \mathbb{R}$ zugelassen) $f \in C(J \times \mathbb{R}^d; \mathbb{R}^d)$ lokal lipschitzstetig im 2. Argument. Es gebe $A, B \in C(J; \mathbb{R})$ mit $A, B \geq 0$ auf J und $\|f(t, x)\|_{\mathbb{R}^d} \leq A(t) + B(t) \|x\|_{\mathbb{R}^d} \forall (t, x) \in J \times \mathbb{R}^d$
 Beh.: $\forall (t_0, y_0) \in J \times \mathbb{R}^d$ hat das AWP $y' = f(t, y)$, $y(t_0) = y_0$ eine (eindeutige) Lösung $y \in C^1(J; \mathbb{R}^d)$

Beweis: Sei $(T^-, T^+) \subset \mathbb{R}$ mit $t_0 \in (T^-, T^+)$ das maximale Existenzintervall der Lösung y_{t_0, y_0} des AWP (vgl. Satz 2.13).

Wir zeigen, dass T^+ mit der rechten Intervallgrenze von J zusammenfällt (analog $T^- =$ linke Intervallgrenze von J).

Beweisidee: Falls $T^+ <$ rechte Intervallgrenze von J , dann kann keiner der Fälle (iii), (a)–(c) aus Satz 2.13 auftreten. Das steht im Widerspruch zur Annahme, daß T^+ der Endpunkt des maximalen Existenzintervalls von y_{t_0, y_0} ist.

Wir nehmen an, daß $T^+ <$ rechte Intervallgrenze von J . Dann $\exists b > T^+$ mit $[t_0, T^+] \subset [t_0, b) \subset J$.

1. Fall: Weil $T^+ < b < \infty$, kann Fall (iii), (a) von Satz 2.13 nicht auftreten.

2. Fall: Es gilt für die Lösung $y(t) = y_{t_0, y_0}(t)$

$$y(t) = y_0 + \int_{t_0}^t f(s, y(s)) \, ds$$

und damit für $t \in [t_0, T^+)$

$$\begin{aligned}
 v(t) &:= \|y(t)\|_{\mathbb{R}^d} \leq \|y_0\|_{\mathbb{R}^d} + \int_{t_0}^t \|f(s, y(s))\|_{\mathbb{R}^d} \, ds \\
 &\leq \|y_0\|_{\mathbb{R}^d} + \int_{t_0}^t A(s) + B(s) \cdot \|y(s)\|_{\mathbb{R}^d} \, ds \\
 &\leq \underbrace{\|y_0\|_{\mathbb{R}^d} + \int_{t_0}^t A(s) \, ds}_{:=\alpha(s)} + \int_{t_0}^t \underbrace{B(s)}_{:=\beta(s)} v(s) \, ds \\
 &\stackrel{\text{Grönwall Lemma}}{\Rightarrow} \|y(t)\|_{\mathbb{R}^d} = v(t) \leq \alpha(t) + \int_{t_0}^t \alpha(s) \beta(s) \cdot e^{\int_s^t \beta(\tau) \, d\tau} \, ds.
 \end{aligned}$$

Weil α, β stetig auf J und $[t_0, T^+] \subset J$ kompakt ist, folgt, dass $\sup_{t \in [t_0, T^+)} v(t) =: \eta < \infty$.

Definiere

$$K := \{x \in \mathbb{R}^d : \|x\|_{\mathbb{R}^d} \leq \eta\}.$$

Dann gilt für den Graphen von y :

$$\{(t, y(t)) : t \in [t_0, T^+)\} \subset [t_0, T^+) \times K \subset [t_0, T^+] \times K,$$

welches eine kompakte Teilmenge des Definitionsbereichs $J \times \mathbb{R}^d$ von f ist. Damit sind die Fälle (iii), (b) und (iii), (c) von Satz 2.13 nicht möglich.

Unsere Annahme, daß T^+ < rechte Intervallgrenze von J führt also auf einen Widerspruch zu ■

2.4 Existenzsatz von Peano

Die lokale Lipschitzstetigkeit von f liefert Existenz und Eindeutigkeit des AWP (Picard-Lindelöf). Der Satz von Peano liefert Existenz für stetige f (nota: Eindeutigkeit nicht unbedingt garantiert, vergleiche Bsp. 2.4.)

Zur Motivation des Beweises des Satzes von Peano betrachten wir:

Beispiel 2.17. (*Eulersches Polygonzugverfahren / explizites Eulerverfahren*):

Betrachte das AWP $y' = f(t, y)$, $y(t_0) = y_0$. Sei $h > 0$.

$t_1 := t_0 + h$, $t_2 := t_0 + 2h, \dots$, $t_i := t_0 + ih$ $i = 0, 1, \dots$

Idee: Approximiere $y(t_1)$ durch Taylor-Approximation bei t_0 :

$$y(t_1) \approx y(t_0) + (t_1 - t_0)y'(t_0) = y_0 + hf(t_0, y_0)$$

\Rightarrow verwende $y_1 := y_0 + hf(t_0, y_0)$ als Approximation von $y(t_1)$.

Analog erhält man $y(t_2) \approx y(t_1) + hf(t_1, y(t_1))$.

Dies motiviert, die Rekursion

$$y_{i+1} := y_i + hf(t_i, y_i) \quad i = 0, 1, \dots$$

zu betrachten und die Werte y_i als Approximationen der Funktionswerte $y(t_i)$ zu sehen. Eine Funktion y_h ergibt sich durch lineare Interpolation der Werte y_i .

Für Zeiten $t_i := t_0 + ih$, $i = -1, -2, \dots$ erhalten wir analog Approximationen nach der Rekursion

$$y_{i-1} := y_i - hf(t_i, y_i) \quad i = 0, -1, -2, \dots$$

Hoffnung: $y_h \rightarrow y_{t_0, y_0}$ für $h \rightarrow 0$

Fakten:

- falls f lokal lipschitzstetig im 2. Argument ist, dann gilt tatsächlich $y_h \rightarrow y_{t_0, y_0}(t_n)$ (siehe VO Numerik von Differentialgleichungen)
- falls f stetig ist, dann hat die Folge $(y_n)_n$ eine Teilfolge, die gegen eine Lösung des AWP $y' = f(t, y)$, $y(t_0) = y_0$ konvergiert (siehe Satz von Peano - 2.18.)

■

Beispiel: $y' = y$, $y(0) = 1$ Rekursion:

$$y_{i+1} = y_i + hf(t_i, y_i) = y_i + hy_i = (1 + h)y_i \quad \Rightarrow \quad y_i = (1 + h)^i y_0$$

mit $t_i = ih$ ergibt sich $y_i = (1 + h)^i y_0 = y_0(1 + h)^{\frac{t_i}{h}}$. Weil $\lim_{h \rightarrow 0+} (1 + h)^{\frac{1}{h}} = e$, schließen wir, dass für festes t_i gilt:

$$\lim_{h \rightarrow 0} y_i = \lim_{h \rightarrow 0} y_0(1 + h)^{\frac{t_i}{h}} = y_0 e^{t_i}$$

■

Lemma 2.16. (*Arzelà-Ascoli*):

Vor.: Sei $I \subset \mathbb{R}$ kompakt. $(x_n)_{n=0}^\infty \subset C(I; \mathbb{R}^d)$ eine Folge mit

1. $(x_n)_{n=0}^\infty$ beschränkt, d.h. $\exists M > 0$, so dass $\|x_n\|_{C(I; \mathbb{R}^d)} \leq M \quad \forall n \in \mathbb{N}$
2. $(x_n)_{n=0}^\infty$ ist gleichgradig stetig, das heißt

$$\forall \varepsilon > 0 \quad \exists \delta > 0 \quad \forall n \quad \forall s, t \in I: \quad |s - t| \leq \delta \quad \Rightarrow \quad \|x_n(t) - x_n(s)\|_{\mathbb{R}^d} \leq \varepsilon$$

Beh.: Dann gilt: \exists Teilfolge $(x_{n'})_{n'}$ und ein $x \in C(I; \mathbb{R}^d)$ mit

$$\lim_{n' \rightarrow \infty} \|x - x_{n'}\|_{C(I; \mathbb{R}^d)} = 0$$

Beweis: Siehe BLÜMLINGER 1.5.1

■

Satz 2.18. (*Peano*):

 Vor.: Sei $G \subset \mathbb{R}^{d+1}$ Gebiet, $f \in C(G; \mathbb{R}^d)$

 Beh.: Dann gilt: Für jedes $(t_0, y_0) \in G$ existiert ein $\varepsilon > 0$ und eine Lösung

$$y \in C^1((t_0 - \varepsilon, t_0 + \varepsilon); \mathbb{R}^d) \text{ von } y' = f(t, y), \quad y(t_0) = y_0$$

Beweis: Beweisidee: Zeige, dass die Funktionen y_h , die in Beispiel 2.17. konstruiert werden, gleichgradig stetig sind, wähle konvergente Teilfolge aus mit Grenzfunktion y ; rechne nach, dass die Integralgleichung $y(t) = y_0 + \int_{t_0}^t f(s, y(s)) ds$ gilt.

 Seien $a, b > 0$ mit $\mathfrak{R} := [t_0 - a, t_0 + a] \times \{y \in \mathbb{R}^d : \|y - y_0\|_{\mathbb{R}^d} \leq b\} \subset G$.

 Sei $M := \|f\|_{C(\mathfrak{R}; \mathbb{R}^d)}$

1. Schritt: Wähle $\varepsilon \in (0, a]$, so dass $\varepsilon M \leq b$.

 Dann gilt für $N \in \mathbb{N}$ und $h_N := \frac{\varepsilon}{N}$, dass die Rekursion

$$y_{i+1} := y_i + h_N \cdot f(t_i, y_i), \quad i = 0, \dots, N$$

 wohldefiniert ist, d.h. $(t_i, y_i) \in \mathfrak{R} \subset G$ für $i = 0, \dots, N$.

 Hier ist $t_i = t_0 + ih_N$. Analog ist die Rekursion $y_{i-1} := y_i - h_N f(t_i, y_i)$ mit $i = 0, -1, \dots, -(N-1)$ wohldefiniert. $y_{h_N} \in C([t_0 - \varepsilon, t_0 + \varepsilon]; \mathbb{R}^d)$ ist definiert als der stückweise lineare Interpolant.

2. Schritt: Die Folge $(y_{h_N})_{N=1}^\infty$ ist gleichgradig stetig. In der Tat gilt

$$\|y_{h_N}(t) - y_{h_N}(s)\|_{\mathbb{R}^d} \leq |s - t| M$$

3. Schritt: Arzelà-Ascoli liefert Teilfolge $(y_{h_{N'}})_{N'}$ und $y \in C([t_0 - \varepsilon, t_0 + \varepsilon]; \mathbb{R}^d)$ mit

$$\lim_{N' \rightarrow \infty} \max_{t \in [t_0 - \varepsilon, t_0 + \varepsilon]} \|y(t) - y_{h_{N'}}(t)\|_{\mathbb{R}^d} = 0$$

4. Schritt: Wir behaupten:

$$y(t) = y_0 + \int_{t_0}^t f(s, y(s)) ds \quad \forall t \in [t_0 - \varepsilon, t_0 + \varepsilon]$$

 Betrachte nur den Fall $t > t_0$.

 Sei $g : s \mapsto (s, y(s))$ Betrachte die stückweise konstante Funktion $g_{N'}$ gegeben durch die Bedingung

$$g_{N'}(s) = (t_i, y_{h_{N'}}(t_i)) \quad \text{für } s \in [t_i, t_{i+1}), \quad i = 0, \dots, N' - 1$$

Dann gilt:

- $g_{N'} \rightarrow g$ punktweise auf $[t_0, t_0 + \varepsilon]$
- $y_{h_{N'}}(t) = y_0 + \int_{t_0}^t f(g_{N'}(s)) ds, \quad t_0 \leq t \leq t_0 + \varepsilon$
- $\|f(g(s))\|_{\mathbb{R}^d} \leq M \quad \forall s \in [t_0, t_0 + \varepsilon]$

$$\xrightarrow{\text{Lebesgue}} \lim_{N' \rightarrow \infty} y_0 + \int_{t_0}^t f(g_{N'}(s)) ds = y_0 + \int_{t_0}^t f(g(s)) ds$$

 also folgt aus $y_{h_{N'}}(t) = y_0 + \int_{t_0}^t f(g_{N'}(s)) ds$, dass:

$$y(t) = \lim_{N' \rightarrow \infty} y_{h_{N'}}(t) = \lim_{N' \rightarrow \infty} y_0 + \int_{t_0}^t f(g_{N'}(s)) ds = y_0 + \int_{t_0}^t f(g(s)) ds = y_0 + \int_{t_0}^t f(s, y(s)) ds$$

■

Bemerkung: Der Beweis folgt einem typischen Muster für Existenzbeweise in der Analysis:

1. Konstruiere Folge von Approximationen
2. Verwende Kompaktheit, um konvergente Teilfolge auszuwählen
3. Nachrechnen, dass der Limes eine Lösung ist

■

2.5 2 Beispiele für die Bestimmung des maximalen Existenzintervalls

wesentliche Hilfsmittel:

- Eindeutigkeitsaussage für AWP
- Grönwall-Lemma

Beispiel 2.19. betrachte

$$x' = x - \alpha x^2, \quad x(0) = x_0 \geq 0, \quad \alpha \geq 0.$$

Beh.: die Lösung existiert auf $[0, \infty)$ und $x \geq 0$ auf \mathbb{R} .

Bew.: Sei (T^-, T^+) das maximale Existenzintervall der Lösung.

1. *Schritt:* Beh.: $x(t) \geq 0$ für alle $t \in (T^-, T^+)$.

Wir zeigen folgende, stärkere Aussage: Falls $x(t^*) = 0$ für ein $t^* \in (T^-, T^+)$, dann ist $x \equiv 0$. Dies folgt aus der Eindeutigkeit von Lösungen von AWP und der Tatsache, daß $\tilde{x} \equiv 0$ das AWP $\tilde{x}' = \tilde{x} - \alpha \tilde{x}^2$, $\tilde{x}(t^*) = 0$ löst.

2. *Schritt:* Auf $(0, T^+)$ gilt $x(t) = x(t) - \alpha |x(t)|^2 \leq x(t)$. Damit

$$0 \stackrel{1. \text{ Schritt}}{\leq} x(t) \leq x(0) + \int_0^t x(s) ds \stackrel{\text{Grönwall}}{\implies} 0 \leq x(t) \leq x(0)e^t \quad \forall t \in (0, T^+).$$

Falls $T^+ < \infty$ wäre, dann kann also kein blow-up bei T^+ passieren, was der Maximalität des Existenzintervalls widerspricht. ■

Beispiel 2.20. Betrachte folgende Modifikation von Lotka-Volterra:

$$\begin{aligned} x' &= x - \alpha x^2 - xy, & \alpha &\geq 0, \\ y' &= -\beta y + xy, & \beta &\geq 0, \\ x(0) &\geq 0, & y(0) &\geq 0. \end{aligned}$$

Sei (T^-, T^+) das maximale Existenzintervall.

1. *Schritt:* Beh.: $x, y \geq 0$ auf $(0, T^+)$.

Wir zeigen: Falls die Lösung einen Punkt auf der positiven x -Achse oder der positiven y -Achse hat, dann liegt sie bereits vollständig auf der x -Achse bzw. y -Achse.

1. Falls $x(t^*) = 0$ für ein t^* gilt, dann ist wegen Eindeutigkeit von AWP

$$\begin{pmatrix} x(t) \\ y(t) \end{pmatrix} = \begin{pmatrix} 0 \\ y(t^*)e^{-\beta(t-t^*)} \end{pmatrix} \quad \forall t$$

die Lösung.

2. Falls $y(t^*) = 0$ für ein t^* gilt, dann ist

$$\begin{pmatrix} x(t) \\ y(t) \end{pmatrix} = \begin{pmatrix} \tilde{x}(t) \\ 0 \end{pmatrix} \quad \forall t$$

die Lösung, wobei \tilde{x} die Lösung von

$$\tilde{x}' = \tilde{x} - \alpha\tilde{x}^2, \quad \tilde{x}(t^*) = x(t^*)$$

ist. Nach dem vorangegangenen Beispiel ist $\tilde{x} \geq 0$ auf $[0, \infty)$ sobald es ≥ 0 in einem Punkt ist.

2. Schritt: auf $(0, T^+)$ ist wegen $x, y \geq 0$

$$\begin{aligned} x' &= x - \alpha x^2 - xy \leq x && \xRightarrow{\text{Grönwall}} 0 \leq x(t) \leq x(0)e^t, \\ y' &= -\beta y + xy \leq xy \leq x(0)e^t y && \xRightarrow{\text{Grönwall}} 0 \leq y(t) \leq y(0)e^{\int_0^t x(0)e^s ds} \end{aligned}$$

Das zeigt, daß für $T^+ < \infty$ kein blow-up möglich ist. Also ist $T^+ < \infty$ nicht möglich. ■

Lineare Systeme

Wir betrachten Systeme der Form

$$\underline{y}' = \underline{A}(t)\underline{y} + \underline{b}(t) \quad (3.1)$$

für ein $A \in C(J; \mathbb{R}^{d \times d})$ und ein $b \in C(J; \mathbb{R}^d)$.

Bemerkung: Nach Satz 2.15 existieren die Lösungen auf ganz J . Zudem haben wir Eindeutigkeit von AWP's. ■

3.1 Homogene Systeme

Bei homogenen Systemen ist $b \equiv 0$, das heißt wir betrachten

$$\underline{y}' = \underline{A}(t)\underline{y}. \quad (3.2)$$

Lemma 3.1. (*Superpositionsprinzip*):

Vor.: Betrachte die Menge aller $C^1(J; \mathbb{R}^d)$ -Funktionen, die (3.2) lösen.

Beh.: Diese Menge bildet einen Vektorraum.

Beweis: Übung (Übungsbeispiel 1.4.) ■

Satz 3.2.

Vor.: Sei \mathfrak{L} der Vektorraum der Lösungen von (3.2).

Beh.: Für (beliebiges, festes) $t_0 \in J$ ist die Abbildung

$$\begin{aligned} \varphi : \mathbb{R}^d &\rightarrow \mathfrak{L} \\ y_0 &\mapsto y_{t_0, y_0}(\cdot) \end{aligned}$$

ein Vektorraum-Isomorphismus. Insbesondere ist die Dimension von \mathfrak{L} gerade d .

Beweis: Wir nutzen die Eindeutigkeitsaussage für AWP's. Zu zeigen:

- (i) φ linear
- (ii) φ injektiv
- (iii) φ surjektiv

Beweis zu:

- (i) Seien $y_1, y_2 \in \mathbb{R}^d, \lambda \in \mathbb{R}$. Dann gilt:

$$\begin{aligned} \text{Die Funktionen } z_1 &:= \varphi(y_1 + \lambda y_2) = y_{t_0, y_1 + \lambda y_2} \\ \text{und } z_2 &:= y_{t_0, y_1} + \lambda y_{t_0, y_2} = \varphi(y_1) + \lambda \varphi(y_2) \end{aligned}$$

lösen beide (3.2) und dieselbe Anfangsbedingung bei $t = t_0$, nämlich $y_1 + \lambda y_2$. Damit muss $z_1 = z_2$ auf J gelten.

Das heißt: $\varphi(y_1 + \lambda y_2) = \varphi(y_1) + \lambda \varphi(y_2)$

- (ii) Sei $0 = \varphi(y_0)$. Also ist $0 \equiv y_{t_0, y_0} = \varphi(y_0)$. Damit $0 = y_{t_0, y_0}(t_0) = y_0$. Also ist φ injektiv.
- (iii) Sei $z \in \mathfrak{L}$ eine Lösung von (3.2). Sei $y_0 := z(t_0) \in \mathbb{R}^d$.

Dann gilt: z und $\tilde{z} := \varphi(y_0)$ lösen dasselbe AWP,

das heißt: $z = \tilde{z}$. Also ist φ surjektiv. ■

d Funktionen $y^1, \dots, y^d \in \mathfrak{L}$ bilden eine Basis von \mathfrak{L} , wenn sie linear unabhängig sind, das heißt falls gilt

$$a_1, \dots, a_d \in \mathbb{R} \text{ und } \sum_{i=1}^d a_i y^i \equiv 0 \quad \text{impliziert} \quad a_1 = \dots = a_d = 0.$$

Lemma 3.3.

Vor.: Sei $y^1, \dots, y^d \in \mathfrak{L}$ eine Basis von \mathfrak{L} .

Beh.: Dann gilt: für jedes $t \in J$ sind die Vektoren $\{y^1(t), \dots, y^d(t)\}$ eine Basis des \mathbb{R}^d .

Beweis: Sei $\bar{t} \in J$ und $a_1, \dots, a_d \in \mathbb{R}$ mit $\sum_{i=1}^d a_i y^i(\bar{t}) = 0$

Dann lösen die Funktionen $y \equiv 0$ und $y = \sum_{i=1}^d a_i y^i$ dasselbe AWP $y' = A(t)y$, $y(\bar{t}) = 0$.

Aus der Eindeutigkeit von AWP's folgt $\sum_{i=1}^d a_i y^i \equiv 0$. Weil $\{y^1, \dots, y^d\}$ eine Basis von \mathfrak{L} ist, ist $a_1 = \dots = a_d = 0$. ■

Definition 3.4. Seien $y^1, \dots, y^d \in \mathfrak{L}$ Lösungen von (3.2). Wir fassen diese Funktionen in der Lösungsmatrix $Y(t) := (y^1(t), \dots, y^d(t))$ zusammen. Falls y^1, \dots, y^d eine Basis bilden, dann heißt Y eine *Fundamentalmatrix*. Falls eine Fundamentalmatrix Y die Bedingung $Y(\bar{t}) = I \in \mathbb{R}^{d \times d}$ für ein $\bar{t} \in J$ erfüllt, dann heißt Y eine *Hauptfundamentalmatrix* bezüglich \bar{t} . Entsprechend heißen die Funktionen $\{y^1, \dots, y^d\}$ Fundamentalsystem bzw. Hauptfundamentalsystem (bezüglich \bar{t}).

Bemerkung 3.5. Sei $Y \in C^1(J; \mathbb{R}^{d \times d})$ eine Fundamentalmatrix. Dann gilt:

- (i) Nach Lemma 3.3. ist $Y(t)$ für jedes $t \in J$ invertierbar.
- (ii) Für jedes $c \in \mathbb{R}^d$ ist $Y(t) \cdot c$ eine Lösung von (3.2).
- (iii) Jede Lösung $y \in (J; \mathbb{R}^d)$ von (3.2) hat die Form $y(t) = Y(t) \cdot c$ für ein $c \in \mathbb{R}^d$. Insbesondere ist die Lösung des AWP $y' = A(t)y$, $y(t_0) = y_0$ gegeben durch $y_{t_0, y_0}(t) = Y(t)(Y(t_0))^{-1}y_0$.

■

3.1.1 Wronskideterminante

Definition 3.6. Sei $Y \in C^1(J; \mathbb{R}^{d \times d})$ eine Lösungsmatrix. Dann heißt die Funktion $W \in C^1(J; \mathbb{R})$ gegeben durch

$W(t) := \det(Y(t))$ die *Wronskideterminante* von Y .

Satz 3.7. (Liouville):

Vor.: keine

Beh.: Die Wronskideterminante erfüllt die ODE

$$W'(t) = \operatorname{tr} A(t) \cdot W(t) \quad \forall t \in J,$$

wobei die Spur einer Matrix definiert ist als $\operatorname{tr} A(t) = \sum_{i=1}^d A_{ii}(t)$. Insbesondere ist damit für jedes feste $t_0 \in J$:

$$W(t) = W(t_0) \cdot e^{\int_{t_0}^t \operatorname{tr} A(s) ds}$$

Für den Beweis von Satz 3.7 benötigen wir:

Lemma 3.8.

Vor.: Seien $B, C \in \mathbb{R}^{d \times d}$

Beh.: Dann gilt $\lim_{\varepsilon \rightarrow 0} \frac{1}{\varepsilon} [\det(B + \varepsilon \cdot CB) - \det B] = \operatorname{tr} C \cdot \det B$

Beweis: Wir schreiben:

$$\begin{aligned} \det(B + \varepsilon \cdot CB) - \det B &= \\ \det((I + \varepsilon \cdot C)B) - \det B &= [\det(I + \varepsilon \cdot C) - 1] \det B \end{aligned}$$

Wir behaupten nun:

$$\det(I + \varepsilon \cdot C) = 1 + \varepsilon \cdot \operatorname{tr} C + \mathcal{O}(\varepsilon^2), \quad \varepsilon \rightarrow 0 \quad (*)$$

Das folgt aus Entwicklung nach der 1. Spalte und Induktion nach der Dimension d . Sei:

$$C := \begin{pmatrix} c_{11} & c_{12} & \dots & c_{1d} \\ c_{21} & & & \\ \vdots & & C' & \\ c_{d1} & & & \end{pmatrix}, \quad \text{d.h. } C' = C(2:d, 2:d) \quad \llbracket \text{Matlab-Schreibweise} \rrbracket$$

$$\det(I + \varepsilon \cdot C) = \det \begin{pmatrix} 1 + \varepsilon \cdot c_{11} & \varepsilon \cdot c_{12} & \dots & \varepsilon \cdot c_{1d} \\ \varepsilon \cdot c_{21} & & & \\ \vdots & & I + \varepsilon \cdot C' & \\ \varepsilon \cdot c_{d1} & & & \end{pmatrix}$$

Da in der 1. Zeile der Matrix in allen Termen ein Faktor ε vorkommt, folgt:

$$= (1 + \varepsilon \cdot c_{11}) \det(I + \varepsilon \cdot C') - \varepsilon \cdot c_{21} \cdot \mathcal{O}(\varepsilon) + \varepsilon \cdot c_{31} \cdot \mathcal{O}(\varepsilon) - \dots$$

Einsetzen der Induktionsvoraussetzung liefert weiters:

$$\begin{aligned} &= (1 + \varepsilon \cdot c_{11})(1 + \varepsilon \cdot \operatorname{tr} C' + \mathcal{O}(\varepsilon^2)) + \mathcal{O}(\varepsilon^2) \\ &= 1 + \varepsilon \cdot \operatorname{tr} C + \mathcal{O}(\varepsilon^2) \end{aligned}$$

Damit folgt aus (*) $\lim_{\varepsilon \rightarrow 0} \frac{1}{\varepsilon} (\det(I + \varepsilon \cdot C) - 1) = \operatorname{tr} C$. ■

Beweis (von Satz 3.7.):

1. Fall: Sei $W(\bar{t}) = 0$ für ein $\bar{t} \in J$. Dann gilt:
 $\det Y(\bar{t}) = W(\bar{t}) = 0$, das heißt die Spalten von $Y(\bar{t})$ sind l.a., also $\exists a \in \mathbb{R}^d \setminus \{0\}$ mit $Y(\bar{t}) \cdot a = 0$. Damit folgt aus der Eindeutigkeit von AWP, dass $Y(t) \cdot a = 0 \quad \forall t \in J$. Das heißt die Spalten von $Y(t)$ sind l.a. $\forall t \in J$ und $W(t) = \det Y(t) = 0 \quad \forall t \in J$. Also ist $W \equiv 0$ und löst damit $W' = \operatorname{tr} A(t) \cdot W$.
2. Fall: $W(t) \neq 0 \quad \forall t \in J$. Das heißt $Y(t)$ ist invertierbar für jedes $t \in J$. Wir berechnen $W'(t)$: Sei $t \in J$ fest, h hinreichend klein. Dann gilt:

$$\begin{aligned} W(t+h) - W(t) &= \det(Y(t+h)) - \det Y(t) \\ &= \det(Y(t) + h \cdot Y'(t) + o(h)) - \det Y(t) \\ &= \det(Y(t) + h \cdot Y'(t)) + o(h) - \det Y(t) \quad [\text{Stetigkeit von det}] \\ &= \det(\underbrace{Y(t)}_{=:B} + h \cdot \underbrace{Y'(t)(Y(t))^{-1} Y(t)}_{=:C}) + o(h) - \det Y(t) \end{aligned}$$

$$\begin{aligned} &\stackrel{\text{Lemma 3.8.}}{\implies} \lim_{h \rightarrow 0} \frac{1}{h} (W(t+h) - W(t)) = \operatorname{tr} (Y'(t)(Y(t))^{-1}) \cdot \det Y(t) \\ &\implies W'(t) = \operatorname{tr} [Y'(t)(Y(t))^{-1}] \cdot W(t) \end{aligned}$$

Weil $Y'(t) = A(t)Y(t)$, folgt $W'(t) = \operatorname{tr} [A(t)Y(t)(Y(t))^{-1}] \cdot W(t) = \operatorname{tr} A(t) \cdot W(t)$ ■

Korollar 3.9.

Vor.: Sei $Y \in C^1(J; \mathbb{R}^{d \times d})$ Lösungsmatrix für $y' = A(t) \cdot y$

Beh.: Dann gilt: Y ist Fundamentalmatrix $\Leftrightarrow \exists \bar{t} \in J$ mit $W(\bar{t}) \neq 0 \Leftrightarrow \forall t \in J \quad W(t) \neq 0$

Beweis: Übung. ■

Bemerkung 3.10. Für jedes $t \in J$ ist $W(t) = \det Y(t)$ das Volumen des Parallelepipeds, das von den Spalten von $Y(t)$ aufgespannt wird. Für eine Fundamentalmatrix ist dieses Volumen immer $\neq 0$. Insbesondere bleibt das Volumen erhalten, wenn $\operatorname{tr} A(t) \equiv 0$. ■

3.1.2 Bestimmung von Fundamentalsystemen

1. Möglichkeit: Durch Lösen von AWP:

Sei $\{e_1, \dots, e_d\} \subset \mathbb{R}^d$ eine Basis von \mathbb{R}^d und $t_0 \in J$. Dann gilt:

$y_{t_0, e_1}(\cdot), \dots, y_{t_0, e_d}(\cdot)$ bilden ein Fundamentalsystem

2. Möglichkeit: Falls eine nichttriviale Lösung von (3.2) bekannt ist, dann kann die Bestimmung des Fundamentalsystems auf die Bestimmung eines $(d-1) \times (d-1)$ Systems zurückgeführt werden (d'Alembertsches Reduktionsprinzip). Dieser Ansatz ist besonders geeignet für den Fall $d = 2$.

Beispiel 3.11. Betrachte

$$y' = \begin{pmatrix} 1/t & -1 \\ 1/t^2 & 2/t \end{pmatrix} y, \quad J = (0, \infty)$$

Eine Lösung ist $u = \begin{pmatrix} t^2 \\ -t \end{pmatrix}$. Gesucht ist eine 2. Lösung, die linear unabhängig ist. Wir machen den Ansatz

$$y = \Phi(t)u(t) + \begin{pmatrix} 0 \\ z_2(t) \end{pmatrix}, \text{ wobei } \Phi, z_2 \in C^1(J; \mathbb{R}).$$

Einsetzen liefert:

$$\Phi'(t)u(t) + \Phi(t)u'(t) + \begin{pmatrix} 0 \\ z_2'(t) \end{pmatrix} \stackrel{!}{=} \begin{pmatrix} 1/t & -1 \\ 1/t^2 & 2/t \end{pmatrix} \left[\Phi(t)u(t) + \begin{pmatrix} 0 \\ z_2(t) \end{pmatrix} \right]$$

Das heißt:

$$\Phi'(t)u(t) + \begin{pmatrix} 0 \\ z_2'(t) \end{pmatrix} \stackrel{!}{=} \begin{pmatrix} 1/t & -1 \\ 1/t^2 & 2/t \end{pmatrix} \begin{pmatrix} 0 \\ z_2(t) \end{pmatrix}$$

$$\text{also: } \begin{array}{lll} \Phi'(t) \cdot t^2 & +0 & \stackrel{!}{=} -z_2(t) \\ \Phi'(t) \cdot (-t) & +z_2'(t) & \stackrel{!}{=} \frac{2}{t}z_2(t) \end{array} \Rightarrow \Phi'(t) = -\frac{z_2(t)}{t^2}$$

$$\Rightarrow \frac{z_2(t)}{t^2} \cdot t + z_2'(t) \stackrel{!}{=} \frac{2}{t}z_2(t) \Rightarrow z_2'(t) = \frac{1}{t}z_2(t)$$

Eine Lösung ist $z_2(t) = t$, damit ist $\Phi'(t) = -\frac{1}{t}$, das heißt $\Phi(t) = -\ln(t)$.
Damit ist die 2. Lösung des Systems:

$$\Phi(t)u(t) + \begin{pmatrix} 0 \\ z_2(t) \end{pmatrix} = \begin{pmatrix} -t^2 \ln(t) \\ t + t \ln(t) \end{pmatrix}$$

Fundamentalmatrix:

$$Y(t) = \begin{pmatrix} t^2 & -t^2 \ln(t) \\ -t & t(1 + \ln(t)) \end{pmatrix}$$

$$W(t) = t^3 \ln(t) + t^3 - t^3 \ln(t) = t^3 \neq 0 \text{ auf } J$$

■

Allgemeines Vorgehen beim d'Alembertschen Reduktionsprinzip ist wie folgt:

Wir betrachten $y' = A(t)y$, $A \in C^1(J; \mathbb{R}^{d \times d})$

Sei $u \in C^1(J; \mathbb{R}^d)$ eine Lösung. Wir nehmen an:

$u_1(t) \neq 0 \forall t \in J$. Für weitere Lösungen machen wir den Ansatz

$$y = \Phi(t)u(t) + \begin{pmatrix} 0 \\ z_2(t) \\ \vdots \\ z_d(t) \end{pmatrix}, \text{ wobei } \Phi \in C^1(J; \mathbb{R})$$

Als Bedingungsgleichung ergibt sich

$$\begin{aligned} y' = A(t)y &\Leftrightarrow \Phi' u + \Phi u' + \begin{pmatrix} 0 \\ z_2' \\ \vdots \\ z_d' \end{pmatrix} \stackrel{!}{=} A(t) \left[\Phi u + \begin{pmatrix} 0 \\ z_2 \\ \vdots \\ z_d \end{pmatrix} \right] \\ &\Leftrightarrow \begin{pmatrix} 0 \\ z_2 \\ \vdots \\ z_d \end{pmatrix}' = A(t) \begin{pmatrix} 0 \\ z_2 \\ \vdots \\ z_d \end{pmatrix} - \Phi' \begin{pmatrix} u_1 \\ u_2 \\ \vdots \\ u_d \end{pmatrix} \end{aligned}$$

Betrachten der 1. Komponente liefert:

$$\begin{aligned} 0 &= \sum_{j=2}^d A_{1j}(t) z_j(t) - \Phi'(t) u_1(t) \\ \Rightarrow \Phi'(t) &= \sum_{j=2}^d \frac{A_{1j}(t) z_j(t)}{u_1(t)} = \frac{1}{u_1(t)} (A_{12}(t) \cdots A_{1d}(t)) \begin{pmatrix} z_2 \\ \vdots \\ z_d \end{pmatrix} \end{aligned} \quad (3.3a)$$

Einsetzen in die weiteren Gleichungen liefert

$$\begin{pmatrix} z_2 \\ \vdots \\ z_d \end{pmatrix}' = \begin{pmatrix} A_{22} & \cdots & A_{2d} \\ \vdots & \ddots & \vdots \\ A_{d2} & \cdots & A_{dd} \end{pmatrix} \begin{pmatrix} z_2 \\ \vdots \\ z_d \end{pmatrix} - \begin{pmatrix} u_2 \\ \vdots \\ u_d \end{pmatrix} \Phi'(t) =: B(t) \begin{pmatrix} z_2 \\ \vdots \\ z_d \end{pmatrix} \quad (3.3)$$

mit der $(d-1) \times (d-1)$ -Matrix

$$B(t) = \begin{pmatrix} A_{22} & \cdots & A_{2d} \\ \vdots & \ddots & \vdots \\ A_{d2} & \cdots & A_{dd} \end{pmatrix} - \frac{1}{u_1(t)} \begin{pmatrix} u_2 \\ \vdots \\ u_d \end{pmatrix} (A_{12}(t) \cdots A_{1d}(t))$$

Wir haben also erhalten: Wenn \tilde{z} die Gleichung (3.3) löst und Φ die Beziehung (3.3a) erfüllt mit $\tilde{z} = (z_2 \cdots z_d)^\top$, dann ist

$$y = \Phi u + \begin{pmatrix} 0 \\ \tilde{z} \end{pmatrix} \quad (3.3b)$$

eine Lösung von $y' = A(t)y$.

Wir bestimmen nun $(d-1)$ l.u. Lösungen von $y' = Ay$ von der Bauart (3.3b). Sei $[\tilde{z}^2, \dots, \tilde{z}^d]$ ein Fundamentalsystem für (3.3). Definiere $z^2, \dots, z^d \in C^1(J; \mathbb{R}^d)$ durch

$$z^2(t) = \begin{pmatrix} 0 \\ \tilde{z}^2(t) \end{pmatrix}, \quad z^3(t) = \begin{pmatrix} 0 \\ \tilde{z}^3(t) \end{pmatrix}, \quad \dots, \quad z^d(t) = \begin{pmatrix} 0 \\ \tilde{z}^d(t) \end{pmatrix}$$

Für $i = 2, \dots, d$, definiere Φ_i durch die Bedingung (3.3a), d.h.

$$\Phi_i'(t) = (A_{12}(t) \cdots A_{1d}(t)) \tilde{z}^i = \sum_{j=2}^d \frac{A_{1j}(t) z_j^i(t)}{u_1(t)} \quad \text{also} \quad \Phi_i(t) = \int_{t_0}^t \sum_{j=2}^d \frac{A_{1j}(s) z_j^i(s)}{u_1(s)} ds$$

und setze:

$$\begin{aligned} y^i &:= \Phi_i \cdot u + z^i, \quad i = 2, \dots, d, \\ y^1 &:= u. \end{aligned}$$

Behauptung: Die Funktionen $y^1 := u$, $y^i = \Phi_i u + z^i$, $i = 2, \dots, d$, bilden ein Fundamentalsystem für $y' = Ay$.

Beweis:

- (i) Die Funktionen y^i , $i = 1, \dots, d$ sind Lösungen von $y' = Ay$ nach Konstruktion (vgl. (3.3b)).
- (ii) Die Funktionen y^i , $i = 1, \dots, d$ sind linear unabhängig:

Seien $a_1, \dots, a_d \in \mathbb{R}$ mit

$$\sum_{i=1}^d a_i y^i \equiv 0.$$

Zu zeigen: $a_1 = \dots = a_d = 0$

$$(3.5) \quad 0 \equiv \sum_{i=1}^d a_i y^i = a_1 u + \sum_{i=2}^d a_i \Phi_i u + \sum_{i=2}^d a_i z^i = a_1 u + \sum_{i=2}^d a_i \Phi_i u + \sum_{i=2}^d a_i \begin{pmatrix} 0 \\ \tilde{z}^i \end{pmatrix}$$

Die erste Komponente dieser Vektorgleichung liefert

$$u_1(t) \left(a_1 + \sum_{i=2}^d a_i \Phi_i(t) \right) \equiv 0,$$

das heißt

$$(3.6) \quad a_1 + \sum_{i=2}^d a_i \Phi_i \equiv 0.$$

Einsetzen von (3.6) in (3.5) liefert

$$(3.6a) \quad 0 \equiv \sum_{i=2}^d a_i z^i = \sum_{i=2}^d a_i \begin{pmatrix} 0 \\ \tilde{z}^i \end{pmatrix} = \begin{pmatrix} 0 \\ \sum_{i=2}^d a_i \tilde{z}^i \end{pmatrix}.$$

Weil die Funktionen \tilde{z}^i , $i = 2, \dots, d$ ein Fundamentalsystem für eine lineare ODE sind (genauer: für (3.3)), sind sie linear unabhängig, das heißt (3.6a) liefert $a_2 = \dots = a_d = 0$. (3.6) liefert dann $a_1 = 0$. ■

3.2 Homogene Systeme mit konstanten Koeffizienten

Sei $A \in \mathbb{R}^{d \times d}$. Betrachte

$$y' = Ay \tag{3.7}$$

Zur Motivation der Bestimmung der Fundamentalmatrix betrachten wir die Picard-Lindelöf-Iteration für (3.7) mit Anfangsbedingung $y(0) = y_0$

$$\begin{aligned} y^0 &= y_0 \\ y^1 &= y_0 + \int_0^t f(s, y^0(s)) ds = y_0 + tAy_0 = (I + tA)y_0 \\ y^2 &= y_0 + \int_0^t f(s, y^1(s)) ds = y_0 + \int_0^t A(I + sA)y_0 ds = (I + tA + \frac{1}{2}t^2A^2)y_0 \\ &\vdots \\ y^n &= \left[I + tA + \frac{1}{2}(tA)^2 + \cdots + \frac{1}{n!}(tA)^n \right] y_0 \end{aligned}$$

Das motiviert:

Definition 3.12. Sei $A \in \mathbb{R}^{d \times d}$ (oder $A \in \mathbb{C}^{d \times d}$). Die matrixwertige Funktion

$$t \mapsto e^{tA} := \sum_{n=0}^{\infty} \frac{(tA)^n}{n!} \text{ heißt Matrixexponentialfunktion}$$

Übung: Für jedes feste $t \in \mathbb{R}$ konvergiert die Reihe $\sum_{n=0}^{\infty} \frac{(tA)^n}{n!}$ absolut. Sie konvergiert gleichmäßig in $t \in [-r, r]$ für jedes feste $r > 0$.

Hinweis: $\sum_{n=0}^{\infty} \left\| \frac{1}{n!} (tA)^n \right\| \leq \sum_{n=0}^{\infty} \frac{1}{n!} t^n \|A\|^n \leq e^{t\|A\|}$, $t \in [-r, r]$ für festes $r > 0$.

Damit

Lemma 3.13.

Vor.: Seien $A, B \in \mathbb{R}^{d \times d}$ (oder $\mathbb{C}^{d \times d}$) mit $AB = BA$.

Beh.: Dann gilt: $e^{A+B} = e^A e^B = e^B e^A$

Beweis: Übung (Übungsbeispiel 4.6.) ■

Satz 3.14.Vor.: Sei $A \in \mathbb{R}^{d \times d}$ (oder $\mathbb{C}^{d \times d}$)

Beh.: Dann gilt:

- (i) $t \mapsto e^{tA}$ ist stetig auf \mathbb{R}
- (ii) $e^{(s+t)A} = e^{sA}e^{tA}$, $t, s \in \mathbb{R}$
- (iii) e^{tA} ist invertierbar für $t \in \mathbb{R}$ mit $(e^{tA})^{-1} = e^{-tA}$
- (iv) $t \mapsto e^{tA}$ ist stetig differenzierbar mit

$$\frac{\partial}{\partial t} e^{tA} = e^{tA} A = A e^{tA}$$

Beweis: (i) folgt direkt aus der absoluten Konvergenz.

(iii) folgt aus (ii).

(ii): siehe Übungsbeispiel 4.6.

(iv): Wir verwenden (ii): Seien $t, h \in \mathbb{R}$

$$e^{(t+h)A} - e^{tA} \stackrel{(ii)}{=} e^{hA} e^{tA} - e^{tA} = (e^{hA} - I) e^{tA}$$

$$\begin{aligned} e^{hA} - I &= \sum_{n=0}^{\infty} \frac{1}{n!} (hA)^n - I = \sum_{n=1}^{\infty} \frac{1}{n!} (hA)^n \\ &= \sum_{n=0}^{\infty} \frac{1}{(n+1)!} (hA)^{n+1} = hA \sum_{n=0}^{\infty} \frac{1}{(n+1)!} (hA)^n \end{aligned}$$

$$\text{Damit: } \lim_{h \rightarrow 0} \frac{1}{h} (e^{(t+h)A} - e^{tA}) = \lim_{h \rightarrow 0} A \left(\underbrace{\sum_{n=0}^{\infty} \frac{1}{(n+1)!} (hA)^n}_{\rightarrow I \text{ für } h \rightarrow 0} \right) e^{tA} = A e^{tA}$$

■

Satz 3.15.Vor.: Sei $A \in \mathbb{R}^{d \times d}$

Beh.: Dann gilt:

- (i) $Y(t) = e^{tA}$ ist eine Fundamentalmatrix für $y' = Ay$
- (ii) Das AWP $y' = Ay$, $y(0) = y_0$ wird gelöst von $y(t) = e^{tA} y_0$
- (iii) e^{tA} ist Hauptfundamentalmatrix bezüglich $t_0 = 0$
- (iv) $e^{(t-t_0)A}$ ist Hauptfundamentalmatrix bezüglich t_0

Beweis:

- (ii) folgt aus $Y' = AY$ und $e^{0A} = I$
- (i) folgt aus (ii). [[Spalten von Y sind die l.u. Lösungen der AWP's $y' = Ay$, $y(0) = e^i = i$ -ter Einheitsvektor]]
- (iii) folgt aus (i) und $e^{0A} = I$
- (iv) $e^{(t-t_0)A} = e^{tA}e^{-t_0A}$ ist offensichtlich Fundamentalmatrix und $e^{(t_0-t)A}|_{t=t_0} = e^{0A} = I$ ■

3.2.1 Bemerkungen zur Berechnung von e^{tA}

Praktisch berechnet man e^{tA} durch Transformation in eine geeignete Basis. Der relevante Fall ist, dass A diagonalisierbar ist, d.h. $\exists V, D$ mit V regulär und D Diagonalmatrix, sodass $A = VDV^{-1}$. Dann gilt:

$$e^{tA} = \sum_{n=0}^{\infty} \frac{t^n}{n!} A^n = \sum_{n=0}^{\infty} \frac{t^n}{n!} (VDV^{-1})^n = \sum_{n=0}^{\infty} \frac{t^n}{n!} V D^n V^{-1} = V \left(\sum_{n=0}^{\infty} \frac{t^n}{n!} D^n \right) V^{-1} = V e^{tD} V^{-1}$$

Bis jetzt wurde nicht ausgenutzt, dass D diagonal ist. Für $D = \text{diag}(d_1, \dots, d_d)$ zeigt eine einfache Rechnung:

$$e^{tD} = \begin{pmatrix} e^{td_1} & & \\ & \ddots & \\ & & e^{td_d} \end{pmatrix} = \text{diag}(e^{td_1}, \dots, e^{td_d}), \quad \text{also: } e^{tA} = V \begin{pmatrix} e^{td_1} & & \\ & \ddots & \\ & & e^{td_d} \end{pmatrix} V^{-1}$$

Bemerkung: Dies ist konsistent mit der folgenden Beobachtung:

Die Lösung des AWP $y' = Ay$, $y(0) = y_0$ ist $y = e^{tA}y_0$. Ein Basiswechsel in \mathbb{R}^d gegeben durch $y = V\tilde{y}$ liefert folgendes äquivalentes AWP für \tilde{y} :

$$\begin{aligned} y' &= Ay, & y(0) &= y_0 \\ \Leftrightarrow y' &= VD \underbrace{V^{-1}y}_{=\tilde{y}}, & y(0) &= y_0 \\ \Leftrightarrow (V^{-1}y)' &= V^{-1}VD\tilde{y}, & \underbrace{V^{-1}y(0)}_{=\tilde{y}(0)} &= V^{-1}y_0 =: \tilde{y}_0, \\ \Leftrightarrow \tilde{y}' &= D\tilde{y}, & \tilde{y}(0) &= \tilde{y}_0 \\ \Leftrightarrow \begin{pmatrix} \tilde{y}'_1 \\ \vdots \\ \tilde{y}'_d \end{pmatrix} &= \begin{pmatrix} d_1 & & \\ & \ddots & \\ & & d_d \end{pmatrix} \begin{pmatrix} \tilde{y}_1 \\ \vdots \\ \tilde{y}_d \end{pmatrix} \\ \Leftrightarrow \tilde{y}_i(t) &= e^{d_i t} \cdot (\tilde{y}_0)_i, & i &= 1, \dots, d \\ \Leftrightarrow \tilde{y}(t) &= \begin{pmatrix} e^{d_1 t} & & \\ & \ddots & \\ & & e^{d_d t} \end{pmatrix} \tilde{y}_0 \\ \Leftrightarrow \underbrace{V\tilde{y}}_{=y} &= V e^{tD} V^{-1} y_0 \end{aligned}$$

■

Übung: Sei B blockdiagonal, d.h.:

$$B := \begin{pmatrix} B_1 & & \\ & \ddots & \\ & & B_n \end{pmatrix}, \text{ wobei } B_1, \dots, B_n \text{ quadratische Matrizen sind. Dann gilt:}$$

$$e^{tB} = \begin{pmatrix} e^{tB_1} & & \\ & \ddots & \\ & & e^{tB_n} \end{pmatrix} \text{ ist wieder Blockdiagonalmatrix.} \quad \blacksquare$$

Nicht jede Matrix ist diagonalisierbar, aber jedes A hat eine Jordanform:

$$A = VJV^{-1}, \quad \text{wobei } J \text{ blockdiagonal mit } \llbracket \text{Vgl. HAVLICEK 8.7.10 und 8.9.7} \rrbracket$$

$$J = \begin{pmatrix} J_1 & & \\ & \ddots & \\ & & J_n \end{pmatrix} \quad \text{und jeder Jordanblock } J_i \text{ hat die Form}$$

$$J_i = \begin{pmatrix} \lambda_i & 1 & & \\ & \ddots & \ddots & \\ & & \ddots & 1 \\ & & & \lambda_i \end{pmatrix}, \quad \lambda_i \in \sigma(A).$$

Nach Obigem ist

$$e^{tA} = Ve^{tJ}V^{-1} = V \begin{pmatrix} e^{tJ_1} & & \\ & \ddots & \\ & & e^{tJ_n} \end{pmatrix} V^{-1},$$

also müssen wir nur noch e^{tJ_i} berechnen.

Lemma 3.16.

Vor.: Sei $J = \begin{pmatrix} \lambda & 1 & & \\ & \ddots & \ddots & \\ & & \ddots & 1 \\ & & & \lambda \end{pmatrix} \in \mathbb{C}^{r \times r}, \quad \lambda \in \mathbb{C}$

Beh.: Dann gilt:

$$e^{tJ} = \sum_{n=0}^{\infty} \frac{1}{n!} (tJ)^n = e^{\lambda t} \sum_{n=0}^{\infty} \frac{1}{n!} (tN)^n = e^{\lambda t} \begin{pmatrix} 1 & t & \frac{1}{2!}t^2 & \cdots & \cdots & \frac{t^{r-1}}{(r-1)!} \\ & 1 & t & \frac{1}{2!}t^2 & \cdots & \frac{t^{r-2}}{(r-2)!} \\ & & \ddots & & & \vdots \\ & & & \ddots & & \vdots \\ & & & & \ddots & t \\ & & & & & 1 \end{pmatrix}$$

$$\text{wobei } N := \begin{pmatrix} 0 & 1 & & \\ & \ddots & \ddots & \\ & & \ddots & 1 \\ & & & 0 \end{pmatrix}$$

Beweis: Schreibe $J = \lambda I + N$, $I = \begin{pmatrix} 1 & & \\ & \ddots & \\ & & 1 \end{pmatrix} \in \mathbb{C}^{r \times r}$

Beobachtung: $\forall k \geq r$

$$N = \begin{pmatrix} 0 & 1 & & \\ & \ddots & \ddots & \\ & & \ddots & 1 \\ & & & 0 \end{pmatrix}, N^2 = \begin{pmatrix} 0 & 0 & 1 & \\ & \ddots & \ddots & \ddots \\ & & \ddots & \ddots & 1 \\ & & & \ddots & 0 \\ & & & & 0 \end{pmatrix}, N^{r-1} = \begin{pmatrix} 0 & \cdots & 0 & 1 \\ & \ddots & & 0 \\ & & \ddots & \vdots \\ & & & 0 \end{pmatrix}, N^k = 0$$

also

$$\begin{aligned} e^{tJ} &= e^{t\lambda I + tN} = e^{t\lambda I} \cdot e^{tN} = e^{t\lambda} \cdot e^{tN} && \llbracket I, N \text{ kommutieren} \Rightarrow e^{I+N} = e^I e^N \rrbracket \\ &= e^{t\lambda} \sum_{n=0}^{\infty} \frac{t^n}{n!} N^n = e^{t\lambda} \sum_{n=0}^{r-1} \frac{t^n}{n!} N^n = \text{angegebene Form} \end{aligned}$$

■

3.3 Inhomogene Systeme

Wir betrachten Gleichung (3.1)

$$y' = A(t)y + b(t)$$

Beobachtung: Der Lösungsraum von (3.1) ist affin: Falls $y_p \in C^1(J; \mathbb{R}^d)$ eine Partikulärlösung von (3.1) ist (d.h. $y_p' = Ay_p + b$), dann hat jede Lösung von (3.1) die Form $y = y_p + \tilde{y}$, wobei $\tilde{y} \in \mathfrak{L}$ eine Lösung des homogenen Systems ist, d.h. $\tilde{y}' = A(t)\tilde{y}$.

Ziel: Bestimme eine Partikulärlösung von (3.1). Das geschieht mit einer Methode, die *Variation der Konstanten/Variation der Parameter* genannt wird.

Sei $Y \in C(J; \mathbb{R}^{d \times d})$ eine Fundamentalmatrix für das homogene System $y' = A(t)y$.
Ansatz für die Partikulärlösung:

$$y_p(t) = Y(t) \cdot c(t), \quad \text{wobei } c \in C(J; \mathbb{R}^d)$$

Einsetzen in (3.1) liefert

$$y_p' \stackrel{!}{=} Ay_p + b \Leftrightarrow \underbrace{Y'(t)}_{A(t)Y(t)} c(t) + Y(t)c'(t) \stackrel{!}{=} A(t)Y(t)c(t) + b(t) \Leftrightarrow Y(t)c'(t) \stackrel{!}{=} b(t).$$

Weil $Y(t)$ eine Fundamentalmatrix ist, ist $\det Y(t) = W(t) \neq 0 \quad \forall t \in J$.

D.h. $(Y(t))^{-1}$ existiert $\forall t \in J$ wodurch wir nach $c'(t)$ auflösen können. Konkret heißt das $c'(t) = (Y(t))^{-1}b(t)$

Betrachtet man für beliebige $t_0 \in J$ die Funktion $c(t) := \int_{t_0}^t (Y(s))^{-1}b(s) \, ds$, so ergibt die obige Betrachtung, dass $y_p(t) := Y(t)c(t) = Y(t) \int_{t_0}^t (Y(s))^{-1}b(s) \, ds$ (3.1) für $y(t_0) = 0$ löst.

Damit ergibt sich:

Satz 3.17.

Vor.: Keine

Beh.: (i) Für jedes $t_0 \in J$ ist $y_p(t) := Y(t) \int_{t_0}^t (Y(s))^{-1} b(s) \, ds$ eine Partikulärlösung von

$$y' = A(t)y + b(t) .$$

(ii) $y(t) = Y(t)(Y(t_0))^{-1}y_0 + Y(t) \int_{t_0}^t (Y(s))^{-1} b(s) \, ds$ ist die Lösung des AWP

$$y' = A(t)y + b(t), \quad y(t_0) = y_0 .$$

Beweis: Ohne Beweis. ■

Relevanter Spezialfall:

$$A(t) \equiv A \in \mathbb{R}^{d \times d}, \quad Y(t) = e^{tA}$$

$$y(t) = e^{tA} e^{-t_0 A} y_0 + e^{tA} \int_{t_0}^t e^{-sA} b(s) \, ds$$

$$(*) \quad y(t) = e^{(t-t_0)A} y_0 + \int_{t_0}^t e^{(t-s)A} b(s) \, ds$$

Übung: Rechnen Sie (*) für den Fall $d = 1$ nach. ■

3.4 Lineare, skalare ODEs der Ordnung n

Wir betrachten die homogene ODE n -ter Ordnung

$$(3.8) \quad y^{(n)} + \sum_{j=0}^{n-1} a_j(t) y^{(j)}(t) = 0, \quad t \in J$$

oder allgemeiner, die inhomogene ODE n -ter Ordnung

$$(3.9) \quad y^{(n)} + \sum_{j=0}^{n-1} a_j(t) y^{(j)}(t) = b(t), \quad t \in J$$

Wir suchen $y \in C^n(J; \mathbb{R})$. Mittels der Substitution

$$y_1 = y$$

$$y_2 = y'$$

$$y_3 = y''$$

$$\vdots$$

$$y_n = y^{(n-1)}$$

geht (3.9) über in

$$(3.10) \quad y' = A(t)y + \begin{pmatrix} 0 \\ \vdots \\ 0 \\ b(t) \end{pmatrix} \text{ mit}$$

$$A(t) = \begin{pmatrix} 0 & 1 & 0 & \cdots & 0 \\ 0 & 0 & 1 & \cdots & 0 \\ \vdots & & & \ddots & \vdots \\ \vdots & & & & \ddots & 1 \\ -a_0 & -a_1 & \cdots & \cdots & -a_{n-1} \end{pmatrix} \quad (3.11)$$

Damit transformieren sich die Aussagen über Systeme 1. Ordnung auf (3.8), (3.9). Es gilt

- (i) Superpositionsprinzip: Die Lösungen von (3.8) bilden einen Vektorraum mit Dimension n . Die Lösungen von (3.9) bilden einen affinen Raum. Durch Vorgabe der Werte $y(t_0), y'(t_0), \dots, y^{(n-1)}(t_0)$ ist die Lösung von (3.9) eindeutig festgelegt.
- (ii) Jede Lösung von (3.9) hat die Form $y = y_p + \tilde{y}$, wobei y_p Partikulärlösung heißt und \tilde{y} Lösung von (3.8) ist.
- (iii) Die Wronskideterminante von n Lösungen $y^1, \dots, y^n \in C^n(J; \mathbb{R})$ von (3.8) ist definiert als

$$W(t) = \det \begin{pmatrix} y^1 & y^2 & \cdots & y^n \\ (y^1)' & (y^2)' & \cdots & (y^n)' \\ (y^1)'' & (y^2)'' & \cdots & (y^n)'' \\ \vdots & \vdots & \ddots & \vdots \\ (y^1)^{(n-1)} & (y^2)^{(n-1)} & \cdots & (y^n)^{(n-1)} \end{pmatrix}$$

Es gilt:

- Satz von Liouville: $W(t) = W(t_0) e^{\int_{t_0}^t -a_{n-1}(s) ds}$
- Für n Lösungen y^1, \dots, y^n von (3.8) gilt:

$$\begin{aligned} \{y^1, \dots, y^n\} \text{ sind linear unabhängig auf } J &\Leftrightarrow \exists \bar{t} \in J : W(\bar{t}) \neq 0 \\ &\Leftrightarrow \forall t \in J : W(t) \neq 0 \end{aligned}$$

- (iv) n Lösungen y^1, \dots, y^n von (3.8) heißen ein Fundamentalsystem.
- (v) d'Alembertsches Reduktionsprinzip: Falls $y \in C^n(J; \mathbb{R})$ eine Lösung von (3.8) ist, dann liefert der Ansatz $\tilde{y} = \varphi y$ eine ODE der Ordnung $n-1$ für die Funktion φ' , um eine weitere Lösung \tilde{y} von (3.8) zu erhalten.
- (vi) Variation der Konstanten zur Bestimmung von Partikulärlösungen. Wir illustrieren das Vorgehen für $n=2$: Seien $y^1, y^2 \in C^2(J; \mathbb{R})$ ein Fundamentalsystem für (3.8). Ansatz für die Partikulärlösung:

$$y_p(t) = y^1(t)c_1(t) + y^2(t)c_2(t)$$

Notationell etwas geschickter: Betrachte den Ansatz

$$Y(t) \cdot c(t) \text{ in (3.10) mit } Y(t) = \begin{pmatrix} y^1 & y^2 \\ (y^1)' & (y^2)' \end{pmatrix}$$

Dies liefert

$$Y'(t)c(t) + Y(t)c'(t) \stackrel{!}{=} A(t)Y(t)c(t) + \begin{pmatrix} 0 \\ b(t) \end{pmatrix}$$

das heißt

$$(3.12) \quad Y(t)c'(t) \stackrel{!}{=} \begin{pmatrix} 0 \\ b(t) \end{pmatrix}$$

weil y^1, y^2 ein Fundamentalsystem sind, ist $W(t) = \det Y(t) \neq 0$, dh. $c(t) = (Y(t))^{-1} \begin{pmatrix} 0 \\ b(t) \end{pmatrix}$

\Rightarrow Wähle $c(t) = \begin{pmatrix} c_1(t) \\ c_2(t) \end{pmatrix}$ als Stammfunktion $\begin{pmatrix} y^1 & y^2 \\ (y^1)' & (y^2)' \end{pmatrix}^{-1} \cdot \begin{pmatrix} 0 \\ b(t) \end{pmatrix}$

Beispiel: $y'' + \frac{y'}{1+t} = 1$, gesucht: Partikulärlösung

(i) Finde 2 linear unabhängige Lösungen der homogenen ODE

$$y'' + \frac{y'}{1+t} = 0$$

1. Lösung: $y^1 \equiv 1$

2. Lösung: Setze $z = (y^2)'$. Dann erfüllt z die Gleichung

$$\begin{aligned} z' + \frac{z}{1+t} = 0 &\Rightarrow \frac{z'}{z} = -\frac{1}{1+t} \\ \Rightarrow \ln z = -\ln(1+t) + c &\Rightarrow z = \frac{c'}{1+t} \end{aligned}$$

Damit ist eine 2. Lösung: $y^2(t) = \ln(1+t)$

Behauptung: y^1, y^2 sind linear unabhängig

$$W(t) = \det \begin{pmatrix} y^1 & y^2 \\ (y^1)' & (y^2)' \end{pmatrix} = \det \begin{pmatrix} 1 & \ln(1+t) \\ 0 & \frac{1}{1+t} \end{pmatrix} = \frac{1}{1+t} \neq 0$$

(ii) Partikulärlösung: Ansatz

$y(t) = Y(t)c(t)$ in (3.10) liefert mit (3.12)

$$\begin{pmatrix} 1 & \ln(1+t) \\ 0 & \frac{1}{1+t} \end{pmatrix} \begin{pmatrix} c_1(t) \\ c_2(t) \end{pmatrix}' \stackrel{!}{=} \begin{pmatrix} 0 \\ 1 \end{pmatrix}$$

$$\begin{aligned} c_1' + c_2' \ln(1+t) &\stackrel{!}{=} 0 & \Rightarrow c_1' &= -(1+t) \ln(1+t) \\ c_2' \frac{1}{1+t} &\stackrel{!}{=} 1 & \Rightarrow c_2' &= 1+t \end{aligned}$$

also spezielle Lösung $c_2(t) = t + \frac{t^2}{2}$, $c_1(t) = -\frac{1}{2}(1+t)^2(\frac{1}{2} - \ln(1+t))$

$$\begin{aligned} \text{also } y_p(t) &= c_1(t) + \ln(1+t)c_2(t) = \\ &= -\frac{1}{2}(1+t)^2\left(\frac{1}{2} - \ln(1+t)\right) + t\left(1 + \frac{1}{2}t\right)\ln(1+t) \end{aligned}$$

eine Partikulärlösung.

Die allgemeine Lösung ist

$$y(t) = y_p(t) + d_1 + d_2 \ln(1+t) \text{ für } d_1, d_2 \in \mathbb{R}.$$

■ **Bemerkung:** Für beliebige Funktionen $y^1, \dots, y^n \in C^n(J; \mathbb{R})$ kann aus dem Verschwinden der Wronskischen **NICHT** geschlossen werden, dass sie linear abhängig sind.

Beispiel: Betrachte $y^1(t) = t^2$, $y^2(t) = |t|t$ auf $J = \mathbb{R}$.

Dann gilt:

- y^1, y^2 sind linear unabhängig auf J
- Weiters gilt:

$$\begin{aligned} W(t) &= \det \begin{pmatrix} y^1 & y^2 \\ (y^1)' & (y^2)' \end{pmatrix} = \det \begin{pmatrix} t^2 & |t|t \\ 2t & 2t \operatorname{sgn}(t) \end{pmatrix} \\ &= 2t^3 \operatorname{sgn} t - 2t^2 |t| \\ &= 2t^2 (t \operatorname{sgn} t - |t|) = 2t^2 (|t| - |t|) = 0 \end{aligned}$$

■

3.5 Gleichungen der Ordnung n mit konstanten Koeffizienten

Wir betrachten

$$y^{(n)} + \sum_{j=0}^{n-1} a_j y^{(j)} = 0, \quad t \in J \quad (3.13)$$

oder allgemeiner

$$y^{(n)} + \sum_{j=0}^{n-1} a_j y^{(j)} = b(t), \quad t \in J \quad (3.14)$$

wobei $a_0, \dots, a_{n-1} \in \mathbb{R}$ (oder \mathbb{C}).

Im Prinzip sind die Ergebnisse aus Abschnitt 3.4 anwendbar. Die Lösungen sind aber oft mit speziellen Ansätzen einfacher konstruierbar.

Beobachtung: Macht man für (3.13) den Ansatz $y(t) = e^{\lambda t}$, so ergibt sich

$$\lambda^n e^{\lambda t} + \sum_{j=0}^{n-1} a_j \lambda^j e^{\lambda t} \stackrel{!}{=} 0,$$

das heißt $y(t) = e^{\lambda t}$ ist eine Lösung von (3.13), falls λ eine Nullstelle des charakteristischen Polynoms $\chi : \lambda \mapsto \lambda^n + \sum_{j=0}^{n-1} a_j \lambda^j$ ist.

Beispiel: $y'' - 4y = 0$ hat die beiden l.u. Lösungen $y^1(t) = e^{2t}$, $y^2(t) = e^{-2t}$. ■

Beispiel: $y'' + 4y = 0$. Charakteristisches Polynom $\chi(\lambda) = \lambda^2 + 4$ mit Nullstellen $\lambda_{1,2} = \pm 2i$. Die beiden (komplexen) l.u. Lösungen sind $y^1(t) = e^{2it}$, $y^2(t) = e^{-2it}$. Reelle Lösungen ergeben sich durch die Wahl $\operatorname{Re} y^1(t)$, $\operatorname{Im} y^1(t)$, das heißt $\tilde{y}^1(t) = \cos 2t$, $\tilde{y}^2(t) = \sin 2t$. ■

Beispiel: $y'' = 0$. Charakteristisches Polynom $\chi(\lambda) = \lambda^2$, $\lambda_1 = \lambda_2 = 0$.

1. Lösung: $y^1(t) = e^{\lambda_1 t} = 1$

2. Lösung: $y^2(t) = t = t \cdot 1 = t \cdot e^{\lambda_i t}$

■

Satz 3.18.

Vor.: Sei $\chi(\lambda) = \lambda^n + \sum_{j=0}^{n-1} a_j \lambda^j$ das charakteristische Polynom für (3.13). Es seien $a_0, \dots, a_{n-1} \in \mathbb{C}$. Seien weiters $\lambda_1, \dots, \lambda_m \in \mathbb{C}$ paarweise verschiedene Nullstellen von χ mit Vielfachheiten k_1, \dots, k_m .

Beh.: Dann gilt: Die Funktionen

$$y^{i,j}(t) = t^j e^{\lambda_i t}, \quad 0 \leq j \leq k_i - 1, \quad 1 \leq i \leq m$$

sind n l.u. Lösungen von (3.13):

Beweis:

- Die Funktionen sind l.u. [[Übung]]
- Die Funktionen $y^{i,j}$ sind Lösungen von (3.13).
Betrachte die Funktion

$$\begin{aligned} \tilde{y}_l : \mathbb{R} \times \mathbb{C} &\rightarrow \mathbb{C} \\ (t, \lambda) &\mapsto t^l e^{\lambda t}. \end{aligned}$$

Dann gilt:

$$\partial_t^j (t^l e^{\lambda t}) = \partial_t^j (\partial_\lambda^l e^{\lambda t}) = \partial_\lambda^l (\partial_t^j e^{\lambda t}).$$

Mit $a_n = 1$ folgt

$$\sum_{j=0}^n a_j \partial_t^j (t^l e^{\lambda t}) = \sum_{j=0}^n a_j \partial_\lambda^l \partial_t^j e^{\lambda t} = \partial_\lambda^l \sum_{j=0}^n a_j \partial_t^j e^{\lambda t} = \partial_\lambda^l \left(\sum_{j=0}^n a_j \lambda^j e^{\lambda t} \right) = \partial_\lambda^l (e^{\lambda t} \chi(\lambda)).$$

Bei $\lambda = \lambda_i$ hat χ eine k_i -fache Nullstelle und $\tilde{y}_l(t, \lambda_i) = y^{i,l}$ für $0 \leq l \leq k_i - 1$ und damit $\sum_{j=0}^n a_j \partial_t^j (t^l e^{\lambda t}) \Big|_{\lambda=\lambda_i} = 0$ für $l = 0, \dots, k_i - 1$, das heißt $y^{i,j}$ ist Lösung von (3.13).

■

Korollar 3.19.

Vor.: Seien $a_0, \dots, a_{n-1} \in \mathbb{R}$. Seien $\lambda_1, \dots, \lambda_{m'}$ die paarweise verschiedenen reellen Nullstellen von χ und $\lambda_{m'+1}, \overline{\lambda_{m'+1}}, \dots, \lambda_{m'+m}, \overline{\lambda_{m'+m}}$ die echt komplexen Nullstellen von χ .

Seien $k_1, \dots, k_{m'}, k_{m'+1}, \dots, k_{m'+m}$ die Vielfachheiten der Nullstellen.

Beh.: Dann gilt: Die Funktionen

$$y^{i,j}(t) := t^j e^{\lambda_i t}, \quad 0 \leq j \leq k_i - 1, \quad 1 \leq i \leq m'$$

und

$$t^j \operatorname{Re} e^{\lambda_i t}, \quad 0 \leq j \leq k_i - 1, \quad m' + 1 \leq i \leq m' + m,$$

$$t^j \operatorname{Im} e^{\lambda_i t}, \quad 0 \leq j \leq k_i - 1, \quad m' + 1 \leq i \leq m' + m$$

bilden ein (reelles) Fundamentalsystem von (3.13).

Beweis: Klar. ■

Beispiel: $y^{(4)} + 2y'' + y = 0$. Charakteristisches Polynom: $\lambda^4 + 2\lambda^2 + 1 = 0$

$\Rightarrow (\lambda^2 + 1)^2 = 0$, $\lambda_1 = i$, $\lambda_2 = -i$ sind doppelte Nullstellen.

Komplexes Fundamentalsystem: e^{it} , te^{it} , e^{-it} , te^{-it}

Reelles Fundamentalsystem: $\cos t$, $\sin t$, $t \cos t$, $t \sin t$ ■

Wir betrachten die inhomogene Gleichung (3.14). Eine Partikulärlösung kann mittels Variation der Konstanten bestimmt werden. Im Fall, dass $b(t) = p(t)e^{\beta t}$ für ein Polynom p und $\beta \in \mathbb{C}$, ist es oft einfacher, einen Ansatz für eine Partikulärlösung zu machen.

Satz 3.20. (*Ansatzmethode*):

Vor.: Sei q ein Polynom vom Grad l und $\beta \in \mathbb{C}$.

Beh.: Dann hat die ODE (3.14) mit $b(t) = q(t)e^{\beta t}$ eine Partikulärlösung der folgenden Form:

1. Fall: $\chi(\beta) \neq 0 \quad \Rightarrow \quad y_p(t) = p(t)e^{\beta t}.$

2. Fall: β ist eine k -fache Nullstelle von $\chi \quad \Rightarrow \quad y_p(t) = t^k p(t)e^{\beta t}.$

Dabei ist p jeweils ein Polynom vom Grad l .

Beweis: Ohne Beweis. ■

Wir betrachten nur einige ausgewählte Spezialfälle:

Sei $l = 0$, das heißt $q \equiv \text{konst.}$

1. Fall: $\chi(\beta) \neq 0$. Ansatz $y_p(t) = ce^{\beta t}$ für eine Konstante c bringt

$$\sum_{j=0}^n a_j y_p^{(j)}(t) = c \sum_{j=0}^n a_j \beta^j e^{\beta t} = ce^{\beta t} \chi(\beta).$$

Das heißt $c = \frac{q}{\chi(\beta)}$ liefert tatsächlich eine Partikulärlösung von (3.14) mit $b(t) = qe^{\beta t}$.

2. Fall: $\chi(\beta) = 0$, $\chi'(\beta) \neq 0$. Der Ansatz $y_p(t) = tce^{\beta t}$ für eine Konstante c bringt

$$\begin{aligned}\sum_{j=0}^n a_j y_p^{(j)}(t) &= c \left[a_0 t e^{\beta t} + \sum_{j=1}^n a_j \sum_{\nu=0}^{\min(j,1)} \binom{j}{\nu} t^{1-\nu} \beta^{j-\nu} e^{\beta t} \right] \\ &= c \left[a_0 t e^{\beta t} + \sum_{j=1}^n a_j \left(t \beta^j e^{\beta t} + j \beta^{j-1} e^{\beta t} \right) \right] \\ &= c e^{\beta t} \left(t \underbrace{\chi(\beta)}_{=0} + \chi'(\beta) \right) = c e^{\beta t} \underbrace{\chi'(\beta)}_{\neq 0} \\ &\stackrel{!}{=} q e^{\beta t}\end{aligned}$$

Das heißt $c = \frac{q}{\chi'(\beta)}$ liefert eine Partikulärlösung.

Der Fall $\chi(\beta) = 0$ in Satz 3.20. heißt Resonanzfall. Die Namensgebung ist motiviert aus Anwendungen wie z.B. der Pendelgleichung.

Beispiel: Betrachte

$$(*) \quad \varphi'' + \omega_0^2 \varphi = \cos \omega t, \quad \omega, \omega_0 > 0$$

- Komplexes Fundamentalsystem für die homogene Gleichung ist $e^{\pm i\omega_0 t}$
- Reelles Fundamentalsystem: $\Re e^{+i\omega_0 t} = \cos(\omega_0 t)$, $\Im e^{+i\omega_0 t} = \sin(\omega_0 t)$

Partikulärlösung für (*): Schreibe $\cos(\omega t) = \frac{1}{2}(e^{i\omega t} + e^{-i\omega t})$. Damit müssen wir Partikulärlösungen für $b(t) = \frac{1}{2}e^{\pm i\omega t}$ suchen. Aus Satz 3.20. ergibt sich für $\omega_0 \neq \omega$, dass man den Ansatz

$$\varphi_p(t) = ce^{i\omega t} \text{ (bzw. } ce^{-i\omega t})$$

machen sollte. Das liefert für c :

$$c((i\omega)^2 + \omega_0^2)e^{i\omega t} \stackrel{!}{=} \frac{1}{2}e^{i\omega t} \quad \Rightarrow \quad c = \frac{1}{2(\omega_0^2 - \omega^2)}$$

Analog ist die Partikulärlösung $\frac{1}{2(\omega_0^2 - \omega^2)}e^{-i\omega t}$ für $b(t) = \frac{1}{2}e^{-i\omega t}$.

Damit Partikulärlösung

$$\varphi_p(t) = \frac{1}{2\omega_0^2 - \omega^2} (e^{i\omega t} + e^{-i\omega t}) = \frac{\cos \omega t}{\omega_0^2 - \omega^2} \text{ für } (*).$$

[[Man hätte dies auch erhalten können mit dem Ansatz $\varphi_p(t) = c_1 \cos \omega t + c_2 \sin \omega t$.]]

Im Resonanzfall ist $\omega = \omega_0$. Satz 3.20. suggeriert dann, dass man die Partikulärlösung der Form

$$\varphi_p(t) = c_1 t e^{i\omega t} + c_2 t e^{-i\omega t}$$

suchen soll.

Äquivalent macht man den Ansatz

$$\varphi_p(t) = c_1 t \cos(\omega t) + c_2 t \sin(\omega t).$$

Einsetzen in $(*)$ mit $\omega_0 = \omega$ liefert

$$\begin{aligned} & c_1 (-2\omega \sin(\omega t) - \omega^2 t \cos(\omega t)) + c_2 (2\omega \cos(\omega t) - \omega^2 t \sin(\omega t) + \omega^2 c_1 t \cos(\omega t) + \omega^2 c_2 t \sin(\omega t)) \stackrel{!}{=} \cos(\omega t) \\ \Leftrightarrow & -2\omega c_1 \sin(\omega t) + 2\omega c_2 \cos(\omega t) \stackrel{!}{=} \cos(\omega t) \\ \Rightarrow & c_1 = 0, c_2 = \frac{1}{2\omega} \end{aligned}$$

und damit ist $\varphi_p(t) = \frac{1}{2\omega} t \sin(\omega t)$ Partikulärlösung von $(*)$. ■

Beobachtung:

- nicht Resonanzfall: Lösungen bleiben beschränkt für $t \rightarrow \infty$.
- Resonanzfall: Lösungen bleiben nicht beschränkt für $t \rightarrow \infty$.

Stetige Abhängigkeit von den Daten

Wir betrachten

$$y' = f(t, y), \quad y(t_0) = y_0 \quad t \mapsto y_{t_0, y_0}(t) \quad (4.1)$$

Beobachtung: Die Lösungsformeln aus Kapitel 3 zeigen, dass die Lösung von (4.1) stetig (oder sogar stetig differenzierbar) von y_0 abhängt. Es gilt wegen des Grönwall-Lemmas:

Satz 4.1.

Vor.: Sei $G \subset \mathbb{R}^{d+1}$ Gebiet, $f \in C(G; \mathbb{R}^d)$ und lipschitzstetig im 2. Argument, d.h.

$$\|f(t, y) - f(t, z)\| \leq L \|y - z\| \quad \forall (t, y), (t, z) \in G$$

Seien $y, z \in C^1(J; \mathbb{R}^d)$ mit

$$\begin{aligned} y'(t) &= f(t, y(t)) \quad \forall t \in J \\ \|z'(t) - f(t, z(t))\| &\leq \delta \quad \forall t \in J \end{aligned}$$

Beh.: Dann gilt für alle $t \in J$:

$$\|y(t) - z(t)\| \leq \|y(t_0) - z(t_0)\| e^{L|t-t_0|} + \frac{\delta}{L}(e^{L|t-t_0|} - 1)$$

Beweis:

$$\begin{aligned} \|y(t) - z(t)\| &\leq \|y(t_0) - z(t_0)\| + \left\| \int_{t_0}^t y'(s) - z'(s) ds \right\| \leq \\ &\|y(t_0) - z(t_0)\| + \left\| \int_{t_0}^t f(s, y(s)) - f(s, z(s)) ds \right\| + \left\| \int_{t_0}^t z'(s) - f(s, z(s)) ds \right\| \leq \\ &\|y(t_0) - z(t_0)\| + \left| \int_{t_0}^t L \|y(s) - z(s)\| ds \right| + \delta |t - t_0| \end{aligned}$$

Die Aussage des Satzes folgt nun (für $t > t_0$) aus dem Grönwall-Lemma 2.14 mit $v(t) = \|y(t) - z(t)\|$, $\alpha = \|y(t_0) - z(t_0)\|$, δ , $\beta = L$ ■

Korollar 4.2.

Vor.: Sei $f \in C(J \times \mathbb{R}^d; \mathbb{R}^d)$ lipschitzstetig im 2. Argument:

$$\|f(t, y) - f(t, z)\| \leq L \|y - z\| \quad \forall (t, y), (t, z) \in J \times \mathbb{R}^d.$$

Sei $t_0 \in J$, y^1, y^2 zwei Lösungen von $y' = f(t, y)$.

Beh.: Dann gilt

$$\|y^1(t) - y^2(t)\| \leq \|y^1(t_0) - y^2(t_0)\| e^{L|t-t_0|} \quad \forall t \in J,$$

das heißt, die Lösung des AWP

$$y' = f(t, y)$$

$$y(t_0) = y_0$$

hängt lipschitzstetig vom Startwert y_0 ab.

Beweis:

- Satz 2.15 zeigt, dass $y^1, y^2 \in C^1(J; \mathbb{R}^d)$
- Die Abschätzung folgt aus Satz 4.1. ■

Beispiel: 4.4

$$y' = 10 \left(y - \frac{t^2}{1+t^2} \right) + \frac{2t}{(1+t^2)^2}, \quad y(0) = y_0$$

hat Lösung

$$y_{0,y_0}(t) = y_0 e^{10t} + \frac{t^2}{1+t^2}$$
■

Beobachtung:

- $y_0 \mapsto y_{0,y_0}(t)$ ist lipschitzstetig für jedes feste t
- die Abhängigkeit von der Lipschitzstetigkeit in Korollar 4.2. ist scharf! (hier $L = 10$)
- für $t \rightarrow \infty$ entfernen sich zwei Lösungen voneinander, auch wenn sie für $t = 0$ sehr nahe beieinander sind.

■ **Übung 4.5.** Verwenden Sie Satz 4.1, um die stetige Abhängigkeit von Parametern zu zeigen: Für $f \in C^1(\mathbb{R}^3; \mathbb{R})$ mit $\|D^\alpha f\|_{L^\infty(\mathbb{R}^3; \mathbb{R})} < \infty$ für $|\alpha| = 1$ hängt die Lösung y von $y' = f(t, y, \mu)$, $y(t_0) = y_0$ stetig von $\mu \in \mathbb{R}$ ab. ■

Korollar 4.2. drückt aus, dass die Lösung eines AWP lipschitzstetig von den Anfangswerten abhängt. In Korollar 4.2 ist f „global“ definiert und lipschitzstetig (im 2. Argument). Tatsächlich reicht lokale Lipschitzstetigkeit im 2. Argument.

Korollar 4.3.

Vor.: Sei $G \subset \mathbb{R}^{d+1}$ Gebiet, $f \in C(G; \mathbb{R}^d)$ lokal lipschitzstetig im 2. Argument.

Beh.: Dann hängt die Lösung des AWP (2.2) $y' = f(t, y)$, $y(t_0) = y_0$ lokal lipschitzstetig von y_0 ab. Genauer: Zu $(t_0, y_0) \in G$ und $t^* \in J_{t_0, y_0}$ (= Maximales Existenzintervall für (2.2)) existieren $\varepsilon, L > 0$, so dass für jedes \tilde{y}_0 mit $\|y_0 - \tilde{y}_0\| < \varepsilon$ die Lösung y_{t_0, \tilde{y}_0} des AWP $y' = f(t, y)$, $y(t_0) = \tilde{y}_0$ auf $[t_0, t^*]$ existiert und die Abschätzung

$$\|y_{t_0, y_0}(t) - y_{t_0, \tilde{y}_0}(t)\| \leq \|y_0 - \tilde{y}_0\| e^{L|t-t_0|} \quad \forall t \in [t_0, t^*]$$

gilt.

Beweis: Es gibt viele Beweistechniken. Wir skizzieren eine „Lokalisierungstechnik“, die Korollar 4.2 verwendet.

Sei $t^* \in J_{t_0, y_0}$. Sei o.B.d.A. $t^* > t_0$.

Dann ist

$$g := \{(t, y_{t_0, y_0}(t)) : t \in [t_0, t^*]\} \subset G$$

kompakt. Also $\exists \delta > 0$, so dass der „Schlauch“ $S_\delta := \bigcup_{t \in [t_0 - \delta, t^* + \delta]} \{t\} \times B_\delta(y_{t_0, y_0}(t))$ die Bedingung

$\bar{S}_\delta \subset G$ erfüllt. Sei $\chi \in C^1(\mathbb{R}^{d+1}; \mathbb{R})$ mit

- $\text{supp } \chi \subset S_\delta$
- $\chi \equiv 1$ auf $S_{\delta/2}$

Definiere die Funktion $f^* \in C(\mathbb{R}^{d+1}; \mathbb{R}^d)$ durch $f^* := f \cdot \chi$, genauer

$$f^*(t, y) := \begin{cases} \chi(t, y)f(t, y) & (t, y) \in G \\ 0 & \text{sonst} \end{cases}$$

Dann gilt: f^* ist lipschitzstetig im 2. Argument, d.h. es existiert ein $L > 0$, so dass

$$\|f^*(t, y) - f^*(t, z)\| \leq L \|y - z\| \quad \forall (t, y), (t, z) \in \mathbb{R}^{d+1}$$

[[f lokal lipschitzstetig, $\chi \in C^1(\mathbb{R}^{d+1}; \mathbb{R})$, $\text{supp } \chi \subset \subset G$ kompakt. Details: Übung!]]

Seien y_{t_0, y_0}^* und y_{t_0, \tilde{y}_0}^* die Lösungen der AWP

$$\begin{aligned} y' &= f^*(t, y), \quad y(t_0) = y_0, \\ y' &= f^*(t, y), \quad y(t_0) = \tilde{y}_0. \end{aligned}$$

Nach Korollar 4.2. gilt

$$\|y_{t_0, y_0}^*(t) - y_{t_0, \tilde{y}_0}^*(t)\| \leq \|y_0 - \tilde{y}_0\| e^{L|t-t_0|}. \quad (4.2)$$

Weil $f = f^*$ auf $S_{\delta/2}$, muss gelten [[Eindeutigkeit von AWP: y_{t_0, y_0} und y_{t_0, y_0}^* lösen beide $y' = f^*(t, y)$]]

$$y_{t_0, y_0}^*(t) = y_{t_0, y_0}(t) \quad \forall t \in [t_0, t^*]$$

und, falls $\|\tilde{y}_0 - y_0\|$ hinreichend klein ist, dann muss auch ¹

$$y_{t_0, \tilde{y}_0}^*(t) = y_{t_0, \tilde{y}_0}(t) \quad \forall t \in [t_0, t^*]$$

¹[[Kor. 4.2 $\implies (t, y_{t_0, \tilde{y}_0}^*(t)) \in S_{\delta/2}$ für $t \in [t_0, t^*]$ falls $\|y_0 - \tilde{y}_0\|$ hinreichend klein. Dann, wieder wg. Eindeutigkeit von AWP, $y_{t_0, \tilde{y}_0} = y_{t_0, \tilde{y}_0}^*$ auf $[t_0, t^*]$]]

gelten. Damit folgt aus (4.2)

$$\|y_{t_0,y_0}(t) - y_{t_0,\tilde{y}_0}(t)\| \leq \|y_0 - \tilde{y}_0\| e^{L|t-t_0|}. \quad \blacksquare$$

Korollar 4.3 zeigt, dass die Lösung eines AWP lipschitzstetig von y_0 abhängt. Das suggeriert, dass $y_0 \mapsto y_{t_0,y_0}(t)$ stetig differenzierbar ist. Tatsächlich gilt:

Satz 4.6.

Vor.: Sei $G \subset \mathbb{R}^{d+1}$ Gebiet, $f \in C^1(G; \mathbb{R}^d)$, $(t_0, y_0) \in G$ und $y_{t_0,y_0} \in C^1((a, b); \mathbb{R}^d)$ Lösung von $y' = f(t, y)$, $y(t_0) = y_0$. Sei $t^* \in (t_0, b)$.

Beh.: Dann gilt

- (i) $\exists \varepsilon > 0$, so dass die Funktion $(t, y_0) \mapsto y_{t_0,y_0}(t)$ auf $(t_0, t^*) \times B_\varepsilon(y_0)$ stetig differenzierbar ist.
- (ii) Die Ableitung nach y_0 , d.h. $v(t) := \partial_{y_0} y_{t_0,y_0}(t)$ erfüllt das AWP

$$(4.3) \quad \begin{aligned} v'(t) &= \partial_y f(t, y_{t_0,y_0}(t)) v(t) \\ v(t_0) &= I \in \mathbb{R}^{d \times d} \end{aligned}$$

Beispiel 4.4. $y' = 10(y - \frac{t^2}{1+t^2}) + \frac{2t}{(1+t^2)^2} = f(t, y)$ mit Lösung $y_{0,y_0}(t) = y_0 e^{10t} + \frac{t^2}{1+t^2}$, $\partial_y f(t, y) = 10$ und $\partial_{y_0} y_{0,y_0}(t) = e^{10t} =: v(t)$

Beobachtung: $v'(t) = (e^{10t})' = 10v(t) = \partial_y f(t, y_{0,y_0}(t))v(t)$ und $v(0) = 1$.

Beweis (von Satz 4.6.): Wir zeigen nur (ii). Um die Struktur des AWP (4.3) zu motivieren, gehen wir formal vor und nehmen an, dass $d = 1$ und $f \in C^2(G; \mathbb{R})$ [Übung: modifizieren Sie den Beweis, so daß $f \in C^1(G; \mathbb{R})$ reicht]. Dann gilt:

1. $\partial_{y_0} (\partial_t y_{t_0,y_0}(t)) = \partial_{y_0} (f(t, y_{t_0,y_0}(t)))$
2. $\partial_{y_0} (y_{t_0,y_0}(t_0)) = \partial_{y_0} (y_0)$

aus 2. folgt $v(t_0) = 1$. Gleichung 1. impliziert (falls der Satz von Schwarz anwendbar ist):

$$\partial_t \partial_{y_0} y_{t_0,y_0}(t) = \partial_y f(t, y_{t_0,y_0}(t)) \partial_{y_0} y_{t_0,y_0}(t) \implies v'(t) = \partial_t v(t) = \partial_y f(t, y_{t_0,y_0}(t)) v(t)$$

Wir hoffen also, dass die Lösung des AWP (4.3) tatsächlich $\partial_{y_0} y_{t_0,y_0}(t)$ liefert. Um das zu bestätigen, betrachten wir auf (t_0, t^*) die Funktion

$$\delta_h(t) = \frac{1}{h} (y_{t_0,y_0+h}(t) - y_{t_0,y_0}(t)) - v(t).$$

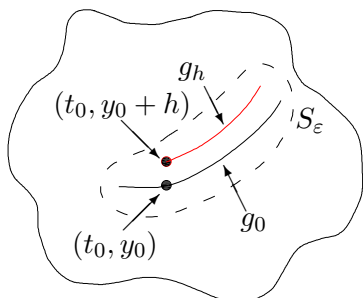
Zu zeigen: $\lim_{h \rightarrow 0} \delta_h(t) = 0$ [für hinreichend kleine h ist δ_h tatsächlich nach Korollar 4.3 wohldefiniert d.h. $\delta_h \in C^1((t_0, t^*); \mathbb{R}^d)$]. Im weiteren Vorgehen wollen wir Satz 4.1. anwenden. Hierzu identifizieren wir eine ODE, die von δ_h erfüllt wird. δ_h erfüllt folgendes AWP:

- $\delta_h(t_0) = \frac{1}{h} (y_0 + h - y_0) - v(t_0) = 1 - 1 = 0$
- $\delta_h'(t) = \frac{1}{h} [f(t, y_{t_0,y_0+h}(t)) - f(t, y_{t_0,y_0}(t))] - v'(t) =$
 $\frac{1}{h} [f(t, y_{t_0,y_0+h}(t)) - f(t, y_{t_0,y_0}(t))] - \partial_y f(t, y_{t_0,y_0}(t)) v(t) = \partial_y f(t, y_{t_0,y_0}(t)) \delta_h(t) + \lambda_h(t)$ mit

$$\begin{aligned} \lambda_h(t) &= \frac{1}{h} [f(t, y_{t_0,y_0+h}(t)) - f(t, y_{t_0,y_0}(t))] - \partial_y f(t, y_{t_0,y_0}(t)) (\delta_h(t) + v(t)) \\ &= \frac{1}{h} [f(t, y_{t_0,y_0+h}(t)) - f(t, y_{t_0,y_0}(t)) - \partial_y f(t, y_{t_0,y_0}(t)) (y_{t_0,y_0+h}(t) - y_{t_0,y_0}(t))] \end{aligned}$$

Nach Korollar 4.3 ist

$$\lim_{h \rightarrow 0} \sup_{t \in [t_0, t^*]} |y_{t_0, y_0+h}(t) - y_{t_0, y_0}(t)| = 0$$



Damit ist für h hinreichend klein der Graph
 $g_h := \{(t, y_{t_0, y_0+h}(t)) : t \in [t_0, t^*]\}$ in dem
 Schlauch $\overline{S_\varepsilon} \subset G$, wobei
 $S_\varepsilon := \bigcup_{t \in [t_0-\varepsilon, t^*+\varepsilon]} \{t\} \times B_\varepsilon(y_{t_0, y_0}(t))$

Wegen der lokalen Lipschitzstetigkeit von f im 2. Argument (und weil $\overline{S_\varepsilon} \subset G$ kompakt) und wegen $f \in C^2(\overline{S_\varepsilon})$ folgt wegen Taylor:

$$f(t, y_{t_0, y_0+h}(t)) - f(t, y_{t_0, y_0}(t)) = \underbrace{\partial_y f(t, y_{t_0, y_0}(t))(y_{t_0, y_0+h}(t) - y_{t_0, y_0}(t))}_{\text{1. Taylor Glied}} + \underbrace{\tilde{\lambda}_h(t)}_{\text{Rest}} \quad (4.4)$$

mit $|\tilde{\lambda}_h(t)| \leq C |y_{t_0, y_0+h}(t) - y_{t_0, y_0}(t)|^2$ für ein $C > 0$, welches nicht von h und $t \in [t_0, t^*]$ abhängt. Damit gilt:

$$|\lambda_h(t)| = \left| \frac{1}{h} \tilde{\lambda}_h(t) \right| \leq \frac{C}{h} |y_{t_0, y_0+h}(t) - y_{t_0, y_0}(t)|^2 \stackrel{\text{Kor. 4.3}}{\leq} \frac{C}{h} \left(h e^{L|t-t_0|} \right)^2 \leq C' h$$

für ein $C' > 0$, welches nicht von h, t abhängt. Damit wissen wir für δ_h :

- $\delta_h(t_0) = 0$
- $\delta'_h(t) = \partial_y f(t, y_{t_0, y_0}(t)) \delta_h(t) + \lambda_h(t), \quad |\lambda_h(t)| \leq C' h$

Anwenden von Satz 4.1. mit $y \equiv 0$ und $z(t) = \delta_h(t)$ liefert mit $L := \sup_{t \in [t_0, t^*]} \|\partial_y f(t, y_{t_0, y_0}(t))\|$

$$|0 - \delta_h(t)| \leq |0 - \delta_h(t_0)| e^{L|t-t_0|} + \max_{s \in [t_0, t^*]} \frac{|\lambda_h(s)|}{L} \left(e^{L|t-t_0|} - 1 \right) \leq C'' h$$

mit C'' unabhängig von t und h . Damit gilt nun $\lim_{h \rightarrow 0} |\delta_h(t)| = 0$. ■

Als einfache Anwendung der Prinzipien, auf denen Satz 4.6 basiert, gilt, dass die Lösung von parameterabhängigen ODEs stetig differenzierbar von den Parametern abhängt.

Übung 4.7. Sei $G \subset \mathbb{R}^3$, $f \in C^1(G; \mathbb{R})$. Sei $y_{t_0, y_0, \mu} \in C^1$ die Lösung von

$$y' = f(t, y, \mu), \quad y(t_0) = y_0.$$

Dann gilt: die Funktion

$$t \mapsto v(t) := \partial_\mu y_{t_0, y_0, \mu}(t) \quad \text{löst}$$

$$v' = \partial_y f(t, y_{t_0, y_0, \mu}(t)) v(t) + \partial_\mu f(t, y_{t_0, y_0, \mu}(t)), \quad v(t_0) = 0$$

$$\begin{aligned} \underbrace{\partial_\mu \partial_t y_{t_0, y_0, \mu}(t)} &= \underbrace{\partial_\mu f(t, y_{t_0, y_0, \mu}(t), \mu)} \\ &= \partial_t \partial_\mu y_{t_0, y_0, \mu}(t) &= \partial_y f(t, y_{t_0, y_0, \mu}(t), \mu) \cdot \partial_\mu y_{t_0, y_0, \mu}(t) + \partial_\mu f(t, y_{t_0, y_0, \mu}(t), \mu) \\ &= \partial_t v(t) &= \partial_y f(t, y_{t_0, y_0, \mu}(t), \mu) v(t) + \partial_\mu f(t, y_{t_0, y_0, \mu}(t), \mu) \end{aligned}$$

Anfangswert: $\underbrace{\partial_\mu y_{t_0, y_0, \mu}(t_0)}_{=v(t_0)} = \underbrace{\partial_\mu y_0}_{=0}$ ■

Beispiel 4.8. Freier Fall mit wenig Reibung. Die Geschwindigkeit des Körpers zum Zeitpunkt t erfüllt das AWP:

$$y'(t) = -g - \varepsilon y(t), \quad y(0) = 0 \quad \text{mit } \varepsilon > 0$$

Die exakte Lösung ist: $y(t, \varepsilon) = g \frac{e^{-\varepsilon t} - 1}{\varepsilon}$.

Wir versuchen nun, $y(t, \varepsilon)$ mittels „Störungstheorie“ für kleine ε zu approximieren

$$y(t, \varepsilon) = y(t, 0) + \partial_\varepsilon y(t, 0) \cdot \varepsilon + \mathcal{O}(\varepsilon^2)$$

- Berechne $v_0(t) = y(t, 0)$
 v_0 löst $v'_0 = -g, \quad v_0(0) = 0 \quad \Rightarrow \quad v_0(t) = -gt$
- Berechne $v_1(t) = \partial_\varepsilon y(t, \varepsilon)|_{\varepsilon=0}$
 Die ODE, die v_1 erfüllt, ergibt sich aus Übung 4.7 oder direkt:

$$\partial_t y(t, \varepsilon) = -g - \varepsilon y(t, \varepsilon), \quad y(0, \varepsilon) = 0$$

$$\partial_t \partial_\varepsilon y(t, \varepsilon)|_{\varepsilon=0} = -y(t, \varepsilon)|_{\varepsilon=0} - \varepsilon \cdot \partial_\varepsilon y(t, \varepsilon)|_{\varepsilon=0}$$

$$v'_1(t) = -(t, 0) - 0 = -v_0(t)$$

$$v'_1 = -v_0(t) = gt, \quad v_1(0) = 0$$

$$\Rightarrow v_1(t) = \frac{1}{2}gt^2$$

und damit

$$y(t, \varepsilon) = y(t, 0) + \varepsilon \partial_\varepsilon y(t, 0) + \mathcal{O}(\varepsilon^2)$$

$$= v_0(t) + \varepsilon v_1(t) + \mathcal{O}(\varepsilon^2)$$

$$= -gt + \frac{1}{2}gt^2\varepsilon + \mathcal{O}(\varepsilon^2)$$

„Probe“ durch Taylorentwicklung der Lösungsformel

$$y(t, \varepsilon) = g \frac{e^{-\varepsilon t} - 1}{\varepsilon} = \frac{g}{\varepsilon} (1 - \varepsilon t + \frac{1}{2}(\varepsilon t)^2 + \mathcal{O}(\varepsilon^3) - 1)$$

$$= -gt + \frac{1}{2}\varepsilon t^2 g + \mathcal{O}(\varepsilon^2).$$

Bemerkung: Approximation OK für festes t und kleine ε . Nicht OK für große t . ■

Stabilität und Langzeitverhalten

Erinnerung: stetige Abhängigkeit von Anfangswerten heißt:

$$\|y_0 - \tilde{y}_0\| \text{ klein} \Rightarrow \|y_{t_0, y_0}(t) - y_{t_0, \tilde{y}_0}(t)\| \text{ klein für festes } t$$

Fragen:

1. Bleibt für alle $t > t_0$ die Differenz

$$\|y_{t_0, y_0}(t) - y_{t_0, \tilde{y}_0}(t)\| \text{ klein, falls } \|y_0 - \tilde{y}_0\| \text{ klein ist?}$$

2. Gilt $\lim_{t \rightarrow \infty} \|y_{t_0, y_0}(t) - y_{t_0, \tilde{y}_0}(t)\| = 0$, falls nur $\|y_0 - \tilde{y}_0\|$ hinreichend klein ist?

Definition 5.1. Sei $G \subset \mathbb{R}^d$ Gebiet, $f \in C(\mathbb{R} \times G; \mathbb{R}^d)$ lokal lipschitzstetig im 2. Argument. Sei $t_0 \in \mathbb{R}$.

- (i) Eine Lösung y_{t_0, y_0} heißt (Ljapunov) *stabil*, falls $\forall \varepsilon > 0 \exists \delta > 0$, s.d. $\forall \tilde{y}_0 \in B_\delta(y_0)$ gilt:
 $J_{t_0, \tilde{y}_0} \supset [t_0, \infty)$ [d.h. die Lösung existiert für alle Zeiten] und
 $\|y_{t_0, y_0}(t) - y_{t_0, \tilde{y}_0}(t)\| < \varepsilon \quad \forall t \geq t_0$
- (ii) y_{t_0, y_0} heißt *instabil*, falls es nicht stabil ist.
- (iii) y_{t_0, y_0} heißt *attraktiv* (anziehend), falls $\exists \delta > 0$, so dass

$$\forall \tilde{y}_0 \in B_\delta(y_0) \text{ gilt: } J_{t_0, \tilde{y}_0} \supset [t_0, \infty) \quad \text{und} \quad \lim_{t \rightarrow \infty} \|y_{t_0, y_0}(t) - y_{t_0, \tilde{y}_0}(t)\| = 0$$

- (iv) y_{t_0, y_0} heißt *asymptotisch stabil*, falls sie stabil und attraktiv ist.

Besonders wichtig ist der Fall autonomer Systeme (d.h. $y' = f(y)$).

Definition 5.2. Ein Wert $y_0 \in \mathbb{R}^d$ heißt Ruhelage der autonomen ODE $y' = f(y)$, falls

$$f(y_0) = 0 \quad \text{[offensichtlich ist dann } y_{t_0, y_0}(t) = y_0]$$

(5.1)

Eine typische Frage bei autonomen ODEs ist dann, ob die Ruhelagen stabil/attraktiv sind.

Beispiel 5.3. (mathematisches Pendel)

$$y'' + \omega^2 \sin y = 0$$

als autonomes System geschrieben:

$$\begin{pmatrix} y \\ v \end{pmatrix}' = \begin{pmatrix} v \\ -\omega^2 \sin y \end{pmatrix}$$

mit Ruhelagen $(v, y) = (0, 0)$
 $(v, y) = (0, \pi)$

Physikalisch ist klar, dass

- (i) $(v_0, y_0) = (0, 0)$ ist stabil
- (ii) $(v_0, y_0) = (0, 0)$ ist nicht attraktiv [[da keine Reibung]]
- (iii) $(v_0, y_0) = (0, \pi)$ ist instabil [[bei kleiner Auslenkung/Änderung kippt das Pendel]] ■

Beispiel 5.4.

$$y' = \alpha y, \quad \alpha \in \mathbb{R}$$

Ruhelage $y^* = 0$, allgemeine Lösung $y_{t_0, y_0}(t) = y_0 e^{\alpha(t-t_0)}$

- (i) für $\alpha \leq 0$ ist $y^* = 0$ stabil, denn

$$|y_{t_0, y_0}(t) - y^*| \leq |y_0 - y^*| \quad \forall t \geq t_0$$

- (ii) für $\alpha < 0$ ist $y^* = 0$ asymptotisch stabil, denn

$$|y_{t_0, y_0}(t) - y^*| \leq \underbrace{e^{\alpha(t-t_0)}}_{\rightarrow 0 \text{ für } t \rightarrow \infty, \text{ d.h. attraktiv}} |y_0 - y^*|$$

- (iii) für $\alpha > 0$ ist y^* instabil:

$$|y_{t_0, y_0}(t) - y^*| = e^{\alpha(t-t_0)} |y_0| \rightarrow \infty, \quad \text{für } t \rightarrow \infty \text{ und } y_0 \neq 0. \quad \blacksquare$$

5.1 Ebene autonome Systeme

Wir betrachten für $d = 2$ die ODE

$$(5.2) \quad y' = Ay, \quad A \in \mathbb{R}^{2 \times 2}$$

mit der Ruhelage $y^* = \begin{pmatrix} 0 \\ 0 \end{pmatrix}$.

Ziel: Klassifikation der Stabilitätseigenschaften der Ruhelage y^* in Abhängigkeit von A .

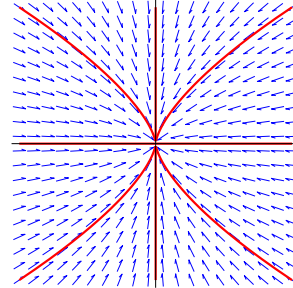
Aus Kapitel 3 wissen wir, dass die allgemeine Lösung des AWP $y' = Ay$, $y(0) = y_0$ [[wir setzen $t_0 = 0$]] durch die Eigenwerte und zugehörige Eigenvektoren/Hauptvektoren von A beschrieben werden.

Seien im Folgenden λ_1, λ_2 die Eigenwerte von A .

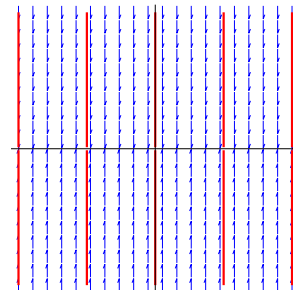
1. Fall: $\lambda_1, \lambda_2 \in \mathbb{R}, \lambda_1 \neq \lambda_2$. Seien $(\lambda_1, v^1), (\lambda_2, v^2)$ die Eigenpaare von A .
Die allgemeine Lösung von (5.2) hat die Form

$$y(t) = c_1 e^{\lambda_1 t} v^1 + c_2 e^{\lambda_2 t} v^2, \quad c_1, c_2 \in \mathbb{R}$$

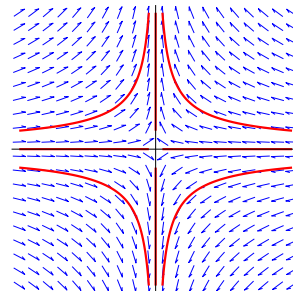
- (i) $\lambda_1 < \lambda_2 < 0$
 y^* ist eine asymptotisch stabile Ruhelage
 y^* heißt *stabiler Knoten*.



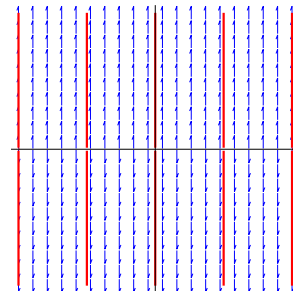
- (ii) $\lambda_1 < \lambda_2 = 0$
 y^* ist stabile Ruhelage
 Es gibt eine Linie von Ruhelagen:
 Die Punktmenge $\{sv^2 : s \in \mathbb{R}\}$



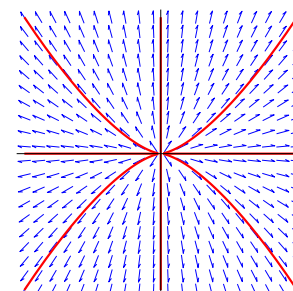
- (iii) $\lambda_1 < 0 < \lambda_2$
 y^* ist instabil
 y^* heißt *Sattelpunkt*



- (iv) $0 = \lambda_1 < \lambda_2$
 y^* ist instabile Ruhelage
 Es gibt eine Linie von Ruhelagen:
 Die Punktmenge $\{sv^2 : s \in \mathbb{R}\}$



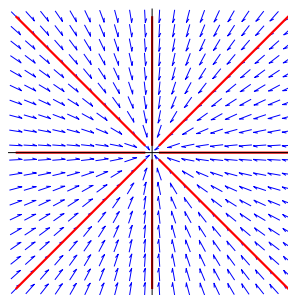
- (v) $0 < \lambda_1 < \lambda_2$
 y^* ist instabil
 y^* heißt *instabiler Knoten*



2. Fall: $\lambda_1 = \lambda_2 = \lambda$

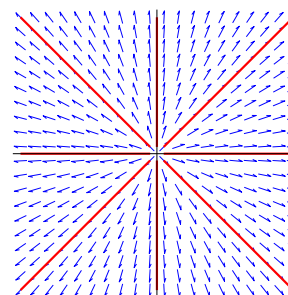
(i) A hat zwei l.u. Eigenvektoren zum Eigenwert λ
 \Rightarrow allgemeine Lösung ist $y(t) = e^{\lambda t}(c_1 v^1 + c_2 v^2)$

- (a) $\lambda_1 = \lambda_2 < 0$
 y^* ist asymptotisch stabile Ruhelage
 y^* heißt *stabiler Stern*



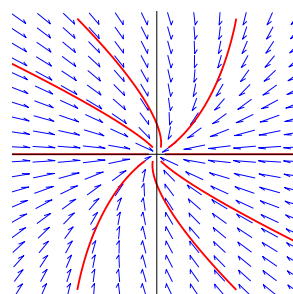
- (b) $\lambda_1 = \lambda_2 = 0$
 y^* ist stabil, degenerierter Fall, denn $A = 0$.

- (c) $\lambda_1 = \lambda_2 > 0$
 y^* ist instabile Ruhelage
 y^* heißt *instabiler Stern*

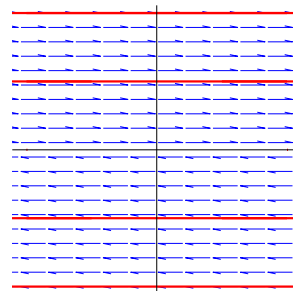


(ii) $\lambda_1 = \lambda_2 = \lambda$, A hat EV v^1 und Hauptvektor v^2 $\left[\begin{array}{l} \text{d.h. } A = T \begin{pmatrix} \lambda & 1 \\ & \lambda \end{pmatrix} T^{-1}; Av^1 = \lambda v^1; \\ Av^2 = \lambda v^2 + v^1 \end{array} \right] \Rightarrow$ allgemeine Lösung $y(t) = e^{\lambda t}(c_1 v^1 + c_2(v^2 + tv^1))$

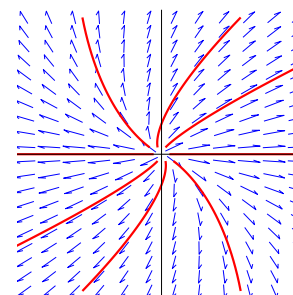
- (a) $\lambda_1 = \lambda_2 < 0$
 y^* ist stabile Ruhelage
 y^* heißt *stabiler uneigentlicher Knoten*



- (b) $\lambda_1 = \lambda_2 = 0$
 y^* ist instabil
 y^* ist Linie von Ruhelagen



- (c) $\lambda_1 = \lambda_2 > 0$
 y^* ist instabil
 y^* heißt *instabiler uneigentlicher Knoten*



3. Fall: $\lambda_1 = \bar{\lambda}_2$, $\Im \lambda_1 \neq 0$

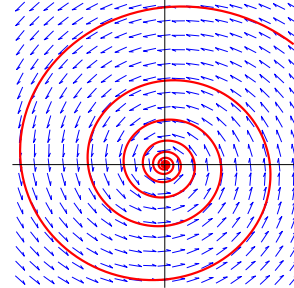
v^1, v^2 sind komplexe Eigenvektoren von A

\Rightarrow allgemeine Lösung $y(t) = \Re(c_1 v^1 e^{\lambda_1 t} + c_2 v^2 e^{\lambda_2 t})$, $c_1, c_2 \in \mathbb{C}$

(i) $\Re \lambda_1 = \Re \lambda_2 < 0$

y^* ist stabil

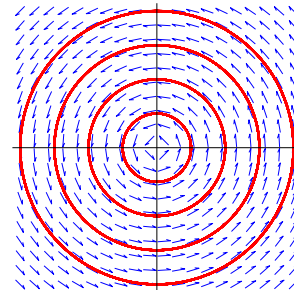
y^* heißt *stabiler Spiralpunkt*



(ii) $\Re \lambda_1 = \Re \lambda_2 = 0$

y^* ist stabil

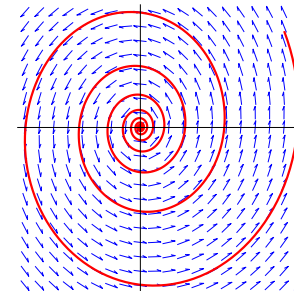
y^* heißt *Zentrumspunkt*



(iii) $\Re \lambda_1 = \Re \lambda_2 > 0$

y^* ist instabil

y^* heißt *instabiler Spiralpunkt*



Zusammenfassung: Ruhelage $y^* = \begin{pmatrix} 0 \\ 0 \end{pmatrix}$ ist

(i) asymptotisch stabil, falls $\Re \lambda_1, \Re \lambda_2 < 0$.

(ii) stabil, falls $\Re \lambda_1 < 0, \Re \lambda_2 \leq 0$, oder $\Re \lambda_1 = \Re \lambda_2 = 0$ und die Matrix A zwei Eigenvektoren hat.

(iii) instabil sonst.

Bemerkung: die wichtigsten Fälle sind

(i) (echte) Knoten

(ii) Sattelpunkte

(iii) Spiralpunkte

weil sie *strukturell stabil* sind, d.h. unter kleinen Störungen der Matrix erhalten bleiben. [[VZ-Eigenschaften der EW einer Matrix sind robust gegen (kleine) Störungen]] ■

Bemerkung: im Allgemeinen (d.h. für nichtlineare ODEs) gilt:

stabil \nRightarrow attraktiv	attraktiv \nRightarrow stabil
Betrachte $y' = 0$	Betrachte das System $\begin{aligned} x' &= x + xy - (x + y)\sqrt{x^2 + y^2} \\ y' &= y - x^2 + (x - y)\sqrt{x^2 + y^2} \end{aligned}$ bzw. in Polarkoordinaten $\begin{aligned} r' &= r(1 - r) \\ \varphi' &= (1 - \cos \varphi)r \end{aligned}$ Es gilt: <ul style="list-style-type: none"> • $(1,0)$ ist Ruhelage • $(1,0)$ ist attraktiv • $(1,0)$ ist nicht stabil [[Startwerte $(\cos \varphi_0, \sin \varphi_0)$ mit $\varphi_0 > 0$ liefern Orbits, die im Uhrzeigersinn um den Ursprung laufen, bevor sie (für $t \rightarrow \infty$) gegen $(1,0)$ konvergieren. Übung: Lösen Sie $r' = r(1 - r)$, $\varphi' = (1 - \cos \varphi)r$ explizit]]

■

5.2 Stabilität linearer Systeme

Betrachte:

$$(5.3) \quad y' = A(t)y + b(t) \quad y(t_0) = y_0$$

$$(5.4) \quad \text{mit } A \in C(\mathbb{R}; \mathbb{R}^{d \times d}), \quad b \in C(\mathbb{R}; \mathbb{R}^{d \times d}) \text{ und die homogene Variante}$$

$$y' = A(t)y \quad y(t_0) = y_0$$

Übung 5.5. Eine Lösung y_{t_0, y_0} von (5.3) ist stabil/attraktiv genau dann wenn $y^* \equiv 0$ stabile/attraktive Lösung von (5.4) ist. ■

Es reicht also Stabilität/Attraktivität von (5.4) zu untersuchen.

Satz 5.6.

Vor.: Sei Y Fundamentalmatrix von (5.4).

Beh.: Dann gilt

- (i) $y^* \equiv 0$ ist stabil für (5.4) $\Leftrightarrow \sup_{t \geq t_0} \|Y(t)\| < \infty$
- (ii) $y^* \equiv 0$ ist attraktiv für (5.4) $\Leftrightarrow \lim_{t \rightarrow \infty} \|Y(t)\| = 0$

Insbesondere fallen für lineare Systeme (5.3)/(5.4) die Begriffe attraktiv und asymptotisch stabil zusammen.

Beweis: Die Lösung des AWP (5.4) ist

$$y_{t_0, y_0}(t) = Y(t)Y(t_0)^{-1}y_0$$

ad (i): " \Leftarrow "

$$\sup_{t \geq t_0} \|y_{t_0, y_0}(t)\| \leq \underbrace{\sup_{t \geq t_0} \|Y(t)\|}_{< \infty} \cdot \underbrace{\|Y(t_0)^{-1}y_0\|}_{\leq \|Y(t_0)^{-1}\| \cdot \|y_0\|}$$

" \Rightarrow "

- Sei e_i der i -te Einheitsvektor.
- Weil (5.4) stabil, existiert zu $\varepsilon = 1$ ein $\delta > 0$, so dass

$$\sup_{t \geq t_0} \|y_{t_0, y_0}(t)\| \leq \varepsilon = 1 \quad \forall y_0 \text{ mit } \|y_0\| < \delta$$

- Sei $y_0 := \delta' Y(t_0)e_i$, $\delta' = \frac{\delta}{\|Y(t_0)\| \|e_i\|}$

Dann gilt:

- $\|y_0\| \leq \delta$
- $y_{t_0, y_0}(t) = Y(t)e_i\delta' = \delta' \cdot i\text{-te Spalte von } Y$
- $\|i\text{-te Spalte von } Y\| \leq \varepsilon = 1 \quad \forall t \geq t_0$

$$\Rightarrow \sup_{t \geq t_0} \|Y(t)\| < \infty$$

ad (ii): Übung ■

Korollar 5.7.

Vor.: Sei $A(t) \equiv A \in \mathbb{R}^{d \times d}$.

Beh.: Dann gilt:

- (i) $y^* = 0$ ist stabile Ruhelage von (5.4) \Leftrightarrow alle Eigenwerte λ_i von A erfüllen $\Re \lambda_i \leq 0$ und Eigenwerte λ_i mit $\Re \lambda_i = 0$ sind halbeinfach, das heißt ihre algebraische Vielfachheit stimmt mit der geometrischen Vielfachheit überein.
- (ii) y^* ist asymptotisch stabil \Leftrightarrow alle Eigenwerte λ_i von A erfüllen $\Re \lambda_i < 0$.

Beweis: Übung $\llbracket Y(t) = e^{tA} \rrbracket$ ■

Korollar 5.7 motiviert, den Begriff der *Spektralschranke* $S(A) := \max\{\Re \lambda_i \mid \lambda_i \in \sigma(A)\}$. Es gilt:

$S(A) < 0 \implies (5.4)$ ist asymptotisch stabil

$S(A) > 0 \implies (5.4)$ ist instabil

$S(A) = 0$: Information ist unzureichend, um zwischen stabil und instabil zu entscheiden

5.3 Das Prinzip der linearisierten Stabilität (Satz von Hartman-Grobman)

Wir betrachten das autonome System

$$(5.5) \quad y' = f(y)$$

mit $f \in C^1(\mathbb{R}^d, \mathbb{R}^d)$ und Ruhelage y^* .

Frage: Ist y^* stabil, asymptotisch stabil oder instabil?

Also: Vergleiche die Lösungen

- $y \equiv y^*$
- y_{t_0, y_0} mit y_0 nahe bei y^*

Idee: Untersuche die Funktion $z(t) = y_{t_0, y_0}(t) - y^*$ durch *Linearisieren* von f bei y^* .

$$\begin{aligned} z'(t) &= y'_{t_0, y_0}(t) - \underbrace{(y^*)'}_{=0} = f(y_{t_0, y_0}(t)) - \underbrace{f(y^*)}_{=0} = \\ &= f(y^* + z(t)) - f(y^*) = Df(y^*)z(t) + r(z(t)) \end{aligned}$$

mit $r(x) = f(y^* + x) - f(y^*) - Df(y^*)x$.

Beobachtung:

- $r(x) = o(x)$ für $x \rightarrow 0$ \llbracket das heißt $\lim_{x \rightarrow 0} \frac{\|r(x)\|}{\|x\|} = 0 \rrbracket$
- Die Frage nach Stabilität von y^* ist äquivalent zur Frage nach Stabilität der Ruhelage $z^* = 0$ von

$$(5.6) \quad z' = Az + r(z), \quad A = Df(y^*).$$

Zur Vereinfachung von (5.6) betrachtet man das lineare System

$$(5.7) \quad z' = Az.$$

Die Stabilität von (5.7) liefert tatsächlich Information über die Stabilität von (5.6).

Satz 5.8.

Vor.: Sei $f \in C^1(\mathbb{R}^d; \mathbb{R}^d)$, y^* Ruhelage von f , $A := Df(y^*) \in \mathbb{R}^{d \times d}$, $\sigma(A) \subset \mathbb{C}$ das Spektrum von A .

Beh.: (i) Falls $\Re \lambda < 0 \quad \forall \lambda \in \sigma(A)$, so ist y^* eine asymptotisch stabile Ruhelage.

(ii) Falls es ein $\lambda \in \sigma(A)$ gibt mit $\Re \lambda > 0$, so ist die Ruhelage y^* instabil.

5.3. DAS PRINZIP DER LINEARISIERTEN STABILITÄT (SATZ VON HARTMAN-GROBMAN)

Beweis: Wir beweisen nur (i) und verweisen für (ii) auf die Literatur. [z.B. das Buch von Prüss & Wilke].

ad (i): Wir betrachten (5.6) und zeigen

a) $\exists \delta > 0$, so dass $\forall z_0 \in B_\delta(0)$ die Lösung z_{t_0, z_0} von

$$z' = Az + r(z), \quad z(t_0) = z_0 \quad (5.8)$$

für alle $t > t_0$ existiert, und es existiert $\eta > 0$ (hinreichend klein) mit $\|z(t)\| \leq \eta \quad \forall t \geq t_0$.

b) $\lim_{t \rightarrow \infty} \|z(t)\| = 0$

1. Schritt: Sei $\omega > 0$ mit $\Re \lambda < -\omega < 0 \quad \forall \lambda \in \sigma(A)$. Dann gilt: $\exists M \geq 1$, so dass $\|e^{tA}\| \leq M e^{-\omega t} \quad \forall t \geq 0$. [Übung; $e^{tA} = T e^{tJ} T^{-1}$ und für jeden Jordanblock J_i ist $e^{tJ_i} = e^{\lambda_i t} Z(t)$, wobei die Einträge von $Z(t)$ *algebraisch* in t wachsen; vgl. Lemma 3.16]

2. Schritt: Es gilt

$$\forall \rho > 0 \exists \eta > 0 : \|r(x)\| \leq \rho \|x\| \quad \forall x \in \bar{B}_\eta(0) \quad (5.9)$$

3. Schritt: Wir verwenden die Formel der “Variation der Konstanten” für das AWP (5.8), d.h.

$$z(t) = e^{(t-t_0)A} z_0 + e^{(t-t_0)A} \int_{t_0}^t e^{(t_0-s)A} r(z(s)) ds \quad \forall t \in (t_0, T^+) \quad (5.10)$$

wobei $T^+ > t_0$ der rechte Rand des Existenzintervalls der Lösung z des AWP (5.8) ist. Wir zeigen nun $T^+ = \infty$, falls $\|z_0\|$ hinreichend klein ist. Aus (5.10) folgt

$$\begin{aligned} \|z(t)\| &\leq \left\| e^{(t-t_0)A} \right\| \|z_0\| + \int_{t_0}^t \left\| e^{(t-s)A} \right\| \|r(z(s))\| ds \\ &\stackrel{1. \text{ Schritt}}{\leq} M e^{-\omega(t-t_0)} \|z_0\| + M \int_{t_0}^t e^{-\omega(t-s)} \|r(z(s))\| ds \end{aligned}$$

Seien $\rho, \delta > 0$, so dass

- $M\rho - \omega < 0$
- η gegeben durch (5.9) für dieses ρ
- $0 < \delta < \eta/2$ und $M\delta < \eta/2$

Sei $\|z(t_0)\| < \delta$. Sei $t^+ > t_0$, so dass $\|z(s)\| < \eta \quad \forall s \in [t_0, t^+)$.

Auf $[t_0, t^+)$ folgt

$$\begin{aligned} \|z(t)\| &\leq M e^{-(t-t_0)\omega} \|z_0\| + M \int_{t_0}^t e^{-\omega(t-s)} \rho \|z(s)\| ds \\ &\Leftrightarrow \underbrace{e^{\omega(t-t_0)} \|z(t)\|}_{v(t)} \leq \underbrace{M \|z_0\|}_{\alpha(t)} + \int_{t_0}^t \underbrace{M\rho}_{\beta(t)} \underbrace{e^{\omega(s-t_0)} \|z(s)\|}_{v(s)} ds \end{aligned}$$

Somit folgt mit dem Grönwall Lemma 2.14.

$$\begin{aligned}
 e^{\omega(t-t_0)} \|z(t)\| &\leq M \|z_0\| e^{M\rho(t-t_0)} \\
 \Leftrightarrow \|z(t)\| &\leq \underbrace{M \|z_0\|}_{M\delta < \eta/2} e^{\overbrace{(M\rho - \omega)}^{<0} (t-t_0)} e^{\overbrace{}^{\geq 0} (t-t_0)} \quad \forall t \in [t_0, t^+) \\
 \Rightarrow \|z(t)\| &\leq \eta/2 \quad \forall t \in [t_0, t^+)
 \end{aligned}$$

Das zeigt insbesondere, dass es kein $t^+ > t_0$ geben kann mit $\|z(t)\| < \eta$ auf $[t_0, t^+)$ und $\|z(t^+)\| = \eta$. Daraus kann man schließen, dass $T^+ = \infty$ und $\|z(t)\| < \eta \quad \forall t \geq t_0$.

4. Schritt: Aus dem 3. Schritt folgt

$$\|z(t)\| \leq M \|z_0\| e^{(M\rho - \omega)(t-t_0)} \longrightarrow 0 \text{ für } t \rightarrow +\infty, \text{ weil } M\rho - \omega < 0$$

Damit ist die Ruhelage $z^* = 0$ asymptotisch stabil. ■

Beispiel 5.9. (*mathematisches Pendel*):

$$\begin{aligned}
 y' &= v \\
 v' &= -\omega^2 \sin y
 \end{aligned}$$

Ruhelagen: $\begin{cases} R_0 = (0, 0) \\ R_n = (n \cdot \pi, 0), \quad \forall n \in \mathbb{Z} \end{cases}$

Mit $f\left(\begin{pmatrix} y \\ v \end{pmatrix}\right) = \begin{pmatrix} v \\ -\omega^2 \sin y \end{pmatrix}$, $Df\left(\begin{pmatrix} y \\ v \end{pmatrix}\right) = \begin{pmatrix} 0 & 1 \\ -\omega^2 \cos y & 0 \end{pmatrix}$ folgt:

Bei R_1 : $Df(R_1) = \begin{pmatrix} 0 & 1 \\ \omega^2 & 0 \end{pmatrix}$, mit den Eigenwerten: $\lambda^2 - \omega^2 = 0 \Leftrightarrow \lambda_{1,2} = \pm\omega$.

Damit gilt $\lambda_1 < 0 < \lambda_2$, also ist R_1 ein instabiler Sattelpunkt.

Bei R_0 : $Df(R_0) = \begin{pmatrix} 0 & 1 \\ -\omega^2 & 0 \end{pmatrix}$

Eigenwerte: $\lambda^2 + \omega^2 = 0 \Leftrightarrow \lambda_{1,2} = \pm\omega \cdot i$

Leider liefert der Satz in diesem Fall keine Aussage. ■

Beispiel 5.10. (*Lotka-Volterra mit Sättigung*):

$$\begin{aligned}
 x' &= \alpha x - \beta xy - \varepsilon x^2 \\
 y' &= -\gamma y + \delta xy
 \end{aligned} \quad \alpha, \beta, \gamma, \delta, \varepsilon > 0$$

Ruhelagen: $\begin{cases} R_1 = (0, 0) \\ R_2 = \left(\frac{\alpha}{\varepsilon}, 0\right) \\ R_3 = \left(\frac{\gamma}{\delta}, \frac{\alpha - \varepsilon\gamma/\delta}{\beta}\right) \text{ „Koexistenzruhelage“} \end{cases}$

Mit $f\left(\begin{pmatrix} x \\ y \end{pmatrix}\right) = \begin{pmatrix} \alpha x - \beta xy - \varepsilon x^2 \\ -\gamma y + \delta xy \end{pmatrix}$, $Df\left(\begin{pmatrix} x \\ y \end{pmatrix}\right) = \begin{pmatrix} \alpha - \beta y - 2\varepsilon x & -\beta x \\ \delta y & -\gamma + \delta x \end{pmatrix}$

Bei R_1 : $Df(R_1) = \begin{pmatrix} \alpha & 0 \\ 0 & -\gamma \end{pmatrix} \Rightarrow$ instabiler Sattelpunkt

Bei R_2 : $Df(R_2) = \begin{pmatrix} -\alpha & -\frac{\alpha\beta}{\varepsilon} \\ 0 & -\gamma + \frac{\delta\alpha}{\varepsilon} \end{pmatrix}$

- stabiler Knoten, falls $-\gamma\varepsilon + \alpha\delta < 0$
- instabiler Sattelpunkt, falls $-\gamma\varepsilon + \alpha\delta > 0$
- keine Aussage mittels Satz 5.8, falls $-\gamma\varepsilon + \alpha\delta = 0$

Bei R_3 : $Df(R_3) = \begin{pmatrix} -\frac{\varepsilon\gamma}{\delta} & -\frac{\gamma\beta}{\varepsilon} \\ \frac{\alpha\delta - \varepsilon\gamma}{\beta} & 0 \end{pmatrix}$

R_3 ist asymptotisch stabil, falls $\Re\lambda_1 < 0 \wedge \Re\lambda_2 < 0$. Das ist nur möglich, falls

$$\operatorname{tr} Df(R_3) < 0 \wedge \det Df(R_3) > 0 \Leftrightarrow -\frac{\varepsilon\gamma}{\delta} < 0 \wedge \frac{\gamma\beta}{\varepsilon} \left(\frac{\alpha\delta - \varepsilon\gamma}{\beta} \right) > 0 \Leftrightarrow \alpha\delta - \varepsilon\gamma > 0.$$

Falls also z.B. $\alpha = \beta = \delta = 2 \wedge \varepsilon = \gamma = 1$, ist R_3 ein asymptotisch stabiler Koexistenzfall. ■

Bemerkung: Für allgemeine Matrizen $A \in \mathbb{R}^{d \times d}$ gibt es Kriterien, die garantieren, dass $\Re\lambda < 0 \forall \lambda \in \sigma(A)$, z.B. das Routh-Hurwitz-Kriterium. ■

5.4 Ljapunovfunktionen

Ljapunovfunktionen sind ein wichtiges Werkzeug, um globale Existenz von Lösungen nachzuweisen und Stabilität von Ruhelagen zu untersuchen. Wir betrachten hier *autonome* Systeme

$$y' = f(y), \quad f \in C(G; \mathbb{R}^d), \text{ lipschitzstetig} \quad (5.12)$$

Definition 5.11. Eine Funktion $V \in C(G; \mathbb{R})$ heißt *Ljapunovfunktion* für (5.12), falls sie entlang von Lösungen von (5.12) monoton fallend ist. V heißt eine *strikte Ljapunovfunktion*, falls sie streng monoton fallend entlang von nichtkonstanten Lösungen von (5.12) ist.

Definition 5.12. $\mathcal{E} := \{y \in G : f(y) = 0\} = \text{Menge der Ruhelagen.}$

Satz 5.13.

Vor.: Sei $V \in C^1(G; \mathbb{R})$

Beh.: • V ist Ljapunovfunktion $\Leftrightarrow \nabla V(y) \cdot f(y) \leq 0 \quad \forall y \in G$

• hinreichendes Kriterium dafür, daß V ist strikte Ljapunovfunktion ist:

$$\nabla V(y) \cdot f(y) < 0 \quad \forall y \in G \setminus \mathcal{E}$$

Beweis: Sei $y_0 \in G$. Die Funktion $\varphi(t) := V(y_{t_0, y_0}(t))$ erfüllt $\varphi'(t) \leq 0$

$$\Leftrightarrow \nabla V(y_{t_0, y_0}(t)) \cdot y'_{t_0, y_0}(t) \leq 0$$

$$\Leftrightarrow \nabla V(y_{t_0, y_0}(t)) \cdot f(y_{t_0, y_0}(t)) \leq 0$$

$$\stackrel{t=t_0}{\Rightarrow} \nabla V(y_0) \cdot f(y_0) \leq 0.$$

Analog schließt man, dass V strikte Ljapunovfunktion ist, falls $\nabla V(y) \cdot f(y) < 0 \forall y \in G \setminus \mathcal{E}$. ■

Beispiel 5.14. (*gedämpftes Pendel*):

$$\begin{aligned} y' &= v \\ v' &= -\alpha v - \omega^2 \sin y \end{aligned} \quad \alpha \geq 0, \omega > 0 \quad (5.13)$$

$$\begin{aligned}
 V\left(\begin{pmatrix} y \\ v \end{pmatrix}\right) &:= \frac{v^2}{2} + \omega^2(1 - \cos y) \quad \llbracket \text{“Energie” des Pendels} \rrbracket \\
 \nabla V\left(\begin{pmatrix} y \\ v \end{pmatrix}\right) \cdot f\left(\begin{pmatrix} y \\ v \end{pmatrix}\right) &= \begin{pmatrix} \omega^2 \sin y \\ v \end{pmatrix} \cdot \begin{pmatrix} v \\ -\alpha v - \omega^2 \sin y \end{pmatrix} = -\alpha v^2 \leq 0
 \end{aligned} \tag{5.14}$$

Also ist V eine Ljapunovfunktion. Für $\alpha > 0$ ist es eine strikte Ljapunovfunktion, denn: Sei $t \mapsto (y(t), v(t))$ eine Lösung von (5.13) und $\varphi(t) := V(y(t), v(t))$. Dann gilt: $\varphi' \leq 0$

Annahme: φ ist nicht streng monoton fallend $\Rightarrow \exists(a, b)$ mit $\varphi(t) = c \in \mathbb{R} \forall t \in (a, b)$, also $\varphi' = 0$ auf (a, b) . Nach (5.14) ist dann $v(t) = 0 \forall t \in (a, b)$. Aus (5.13) folgt $y = \text{const}$ auf (a, b) . Das heißt aber, dass die Lösung $(y(t), v(t))$ auf (a, b) konstant ist. ■

Beispiel 5.15. (Lotka Volterra mit Sättigung):

$$\begin{aligned}
 (5.15) \quad x' &= \alpha x - \beta xy - \varepsilon x^2 \\
 y' &= -\gamma y + \delta xy
 \end{aligned}$$

$$(5.16) \quad \text{Koexistenzruhelage: } \begin{pmatrix} x^* = \frac{\gamma}{\delta} \\ y^* = \frac{\alpha - \varepsilon \gamma / \delta}{\beta} \end{pmatrix}$$

Mit $a, b \in \mathbb{R}$ mache Ansatz $V(x, y) := a(x - x^* \ln \frac{x}{x^*}) + b(y - y^* \ln \frac{y}{y^*})$. Dann gilt

$$\nabla V(x, y) \cdot f(x, y) \stackrel{(5.15), (5.16)}{=} -a\varepsilon(x - x^*)^2 - (x - x^*)(y - y^*)(-a\beta + b\delta)$$

Wähle $a = \delta$, $b = \beta$. Dann gilt $\nabla V(x, y) \cdot f(x, y) \leq 0$ auf $G = (0, \infty)^2$, d.h. V ist eine Ljapunovfunktion für (5.15). V ist sogar strikte Ljapunovfunktion, denn

- $\nabla V(x, y) \cdot f(x, y) < 0$ für $x \neq x^*$
- für t mit $x(t) = x^*$ ist $x'(t) = \alpha x^* - \beta x^* y(t) - \varepsilon (x^*)^2 = x^*(\alpha - \beta y(t) - \varepsilon x^*) \neq 0$ für $y(t) \neq y^*$. Das heißt, eine nichtkonstante Lösung verlässt „sofort“ die Menge $\{x = x^*\}$

Existenz von Ljapunovfunktionen liefert globale Existenz von Lösungen: ■

Satz 5.16.

Vor.: Sei $G \subseteq \mathbb{R}^d$ Gebiet, $f \in C(G; \mathbb{R}^d)$ lokal lipschitzstetig. Sei V Ljapunovfunktion für (5.12). Sei V zudem **koerziv**, d.h. für jede Folge $(y_n)_{n=0}^\infty \subset G$ mit $\|y_n\| \rightarrow \infty$ oder $\text{dist}(y_n, \partial G) \rightarrow 0$ gilt $\lim_{n \rightarrow \infty} V(y_n) = +\infty$.

Beh.: Dann gilt:

1. für jedes $y_0 \in G$ existiert die Lösung y_{t_0, y_0} global, d.h. für alle $t \geq t_0$.
2. $\sup_{t \geq t_0} \|y_{t_0, y_0}(t)\| < \infty \quad \wedge \quad \inf_{t \geq t_0} \text{dist}(y_{t_0, y_0}(t), \partial G) > 0$

Beweis: Sei T^+ der rechter Rand des maximalen Existenzintervalls von y_{t_0, y_0} . Wir schließen die Fälle „blow-up“ und „Kollaps“ von Satz 2.13. aus:

Falls $T^+ < \infty$, dann existiert $(t_n)_{n=0}^\infty$ mit $t_n \rightarrow T^+$ und $\|y_{t_0, y_0}(t_n)\| \rightarrow \infty$ („blow-up“) oder $\text{dist}(y_{t_0, y_0}(t_n), \partial G) \rightarrow 0$. Weil V koerziv ist, folgt $V(y_{t_0, y_0}(t_n)) \rightarrow +\infty$, im Widerspruch zum monotonen Fallen von $t \mapsto V(y_{t_0, y_0}(t))$. ■

Beispiel 5.17. Für $G = (0, \infty)^2$ und die Lotka-Volterra-Gleichung mit Sättigung folgt also aus der Existenz einer Ljapunovfunktion und ihrer Koerzivität (vgl. Bsp. 5.15), dass die Lösungen global existieren und für Startwerte $(x_0, y_0) \in G$ von den Achsen $x = 0$ und $y = 0$ fernbleiben. ■

Lemma 5.18.

Vor.: Sei $V \in C(G; \mathbb{R})$ strikte Ljapunovfunktion. Sei $y \in C^1((t_0, \infty); \mathbb{R})$ Lösung von (5.12).

Sei $y_\infty \in G$ und $(t_n)_{n=0}^\infty$ mit $t_n \rightarrow \infty$ und $y(t_n) \rightarrow y_\infty$.

Beh.: Dann gilt: y_∞ ist Ruhelage.

Beweis: Wegen der Stetigkeit von V ist $\lim_{n \rightarrow \infty} V(y(t_n)) = V(y_\infty)$. Weil $t \mapsto V(y(t))$ monoton fallend ist und $t_n \rightarrow \infty$, muß sogar

$$\lim_{t \rightarrow \infty} V(y(t)) = \lim_{n \rightarrow \infty} V(y(t_n)) = V(y_\infty). \quad (5.17)$$

Sei J_∞ das maximale Existenzintervall der Funktion y_{t_0, y_∞} . Wegen der stetigen Abhängigkeit der Lösungen des AWP von den Startwerten gilt für jedes $t \in J_\infty$

$$y(t + t_n) \xrightarrow[\text{Eindeutigkeit von AWP}]{\text{stetige Abh. von Daten, } n \rightarrow \infty} y_{0, y(t_n)}(t) \xrightarrow{n \rightarrow \infty, (5.18)} y_{0, y_\infty}(t). \quad (5.18)$$

Weil V stetig ist, liefert dies

$$V(y_\infty) \xrightarrow{n \rightarrow \infty, (5.17)} V(y(t + t_n)) = V(y_{0, y(t_n)}(t)) \xrightarrow{n \rightarrow \infty, (5.18)} V(y_{0, y_\infty}(t)).$$

Also gilt für alle $t \in J_\infty$, dass

$$V(y_{0, y_\infty}(t)) = V(y_\infty).$$

Weil V eine strikte Ljapunovfunktion ist, muss also $t \mapsto y_{0, y_\infty}(t)$ konstant sein. Es gilt also $0 = y'_{0, y_\infty}(0) = f(y_{0, y_\infty}(0)) = f(y_\infty)$. ■

Satz 5.19. („direkte Methode von Ljapunov“):

Vor.: Sei $V \in C(G; \mathbb{R})$ Ljapunovfunktion für (5.12), y^* eine Ruhelage

Beh.: Dann gilt:

- (i) y^* ist striktes Minimum von $V \Rightarrow y^*$ ist stabil
- (ii) y^* ist striktes Minimum von V , V eine strikte Ljapunovfunktion und y^* isoliert in $\mathcal{E} = \{y \in G : f(y) = 0\} \Rightarrow y^*$ ist asymptotisch stabil

Beweis: Sei $\varepsilon > 0$ beliebig. Sei o.B.d.A. ε so klein, dass $V(y) > V(y^*) \forall y \in \bar{B}_\varepsilon(y^*) \setminus \{y^*\}$. Setze $\eta := \min_{y \in \partial \bar{B}_\varepsilon(y^*)} V(y) > V(y^*)$. Sei $\delta \in (0, \varepsilon)$, so dass $V(y) < \eta \forall y \in B_\delta(y^*)$.

Sei $y_0 \in B_\delta(y^*)$ und betrachte y_{t_0, y_0} mit maximalem Existenzintervall (T^-, T^+) . Dann gilt:

$$t \mapsto V(y_{t_0, y_0}(t)) \text{ ist monoton fallend} \quad \wedge \quad V(y_{t_0, y_0}(t_0)) = V(y_0) < \eta$$

1. Schritt: Behauptung: $y_{t_0, y_0}(t) \in B_\varepsilon(y^*) \quad \forall t \in [t_0, T^+)$

Beweis: Annahme: Die Behauptung gilt nicht. Sei $t^+ \in (t_0, T^+)$ mit

- $y_{t_0, y_0}(t) \in B_\varepsilon(y^*) \quad \forall t \in (t_0, t^+)$
- $y_{t_0, y_0}(t^+) \in \partial B_\varepsilon(y^*)$

Dann gilt: $V(\underbrace{y_{t_0, y_0}(t^+)}_{\in \partial B_\varepsilon(y^*)}) \geq \min_{y \in \partial B_\varepsilon(y^*)} V(y) = \eta$

Widerspruch dazu, dass $V(y_{t_0, y_0}(t_0)) < \eta$ und $t \mapsto V(y_{t_0, y_0}(t))$ monoton fallend ist!

2. Schritt: Behauptung: $T^+ = \infty$

Beweis: Der 1. Schritt zeigt, dass weder blow-up, noch Kollaps möglich sind.

3. Schritt: Aus den Schritten 1. und 2. folgt, dass $\forall t \geq t_0$ gilt $y_{t_0, y_0}(t) \in B_\varepsilon(y^*) \subset \bar{B}_\varepsilon(y^*) \Rightarrow$ Stabilität. Damit haben wir (i) gezeigt.

Für (ii) sei $\varepsilon > 0$ wie oben gewählt und zusätzlich so, dass $\mathcal{E} \cap \bar{B}_\varepsilon(y^*) = \{y^*\}$. So ein $\varepsilon > 0$ existiert, da y^* laut Voraussetzung isoliert in \mathcal{E} ist. Sei $y_0 \in B_\delta(y^*)$. Dann gilt:

$y_{t_0, y_0}(t) \in B_\varepsilon(y^*) \subset \bar{B}_\varepsilon(y^*) \subset G \quad \forall t \geq t_0$. Sei $(t_n)_n$ eine Folge mit $t_n \rightarrow \infty$ und $\lim_{n \rightarrow \infty} y_{t_0, y_0}(t_n) = \tilde{y}^* \in \bar{B}_\varepsilon(y^*)$. Nach Lemma 5.18 ist $\tilde{y}^* \in \mathcal{E}$. Wegen $\mathcal{E} \cap \bar{B}_\varepsilon(y^*) = \{y^*\}$, folgt $\tilde{y}^* = y^*$. Wir schließen $\lim_{t \rightarrow \infty} y_{t_0, y_0}(t) = y^*$, d.h. asymptotische Stabilität von y^* . ■

Beispiel: (*mathematisches Pendel*):

$$\begin{pmatrix} y \\ v \end{pmatrix}' = \begin{pmatrix} v \\ -\omega^2 \sin(y) \end{pmatrix}, \quad \omega > 0$$

hat die Ljapunovfunktion

$$V\left(\begin{pmatrix} y \\ v \end{pmatrix}\right) = \frac{1}{2}v^2 + \omega^2(1 - \cos(y)) \quad \llbracket \text{„Energie“} \rrbracket$$

Bei der Ruhelage $R_1 = (y^*, v^*) = (0, 0)$ ist

$$\begin{aligned} \nabla V(R_1) &= \begin{pmatrix} \omega^2 \sin y \\ v \end{pmatrix} \Big|_{(y,v)=(0,0)} = \begin{pmatrix} 0 \\ 0 \end{pmatrix} \\ D^2V(R_1) &= \begin{pmatrix} \omega^2 \cos y & 0 \\ 0 & 1 \end{pmatrix} \Big|_{(y,v)=(0,0)} = \begin{pmatrix} \omega^2 & 0 \\ 0 & 1 \end{pmatrix} \end{aligned}$$

ist positiv definit, das heißt $\begin{pmatrix} 0 \\ 0 \end{pmatrix}$ ist striktes Minimum von V . Nach Satz 5.19 ist $\begin{pmatrix} 0 \\ 0 \end{pmatrix}$ ist stabile Ruhelage. Diese Ruhelage ist nicht asymptotisch stabil wegen der Energieerhaltung. ■

Beispiel 5.20. Überlegen Sie sich, dass die strikte Ljapunovfunktion aus Beispiel 5.15. für die Lotka–Volterra Gleichung ein Minimum am Koexistenzäquilibrium hat. Schließen Sie auf die asymptotische Stabilität dieser Ruhelage. ■

Satz 5.21.

Vor.: Sei V eine strikte Ljapunovfunktion für (5.12). Sei $K \subset G$ kompakt.

Sei $y \in C^1((t_0, \infty), \mathbb{R}^d)$ Lösung von (5.12) mit $y(t) \in K \quad \forall t \geq t_0$.

Beh.: Dann gilt

(i) $\lim_{t \rightarrow \infty} \text{dist}(y(t), \mathcal{E}) = 0$

(ii) Ist überdies $\mathcal{E} \cap V^{-1}(\{\alpha\})$ diskret für jedes $\alpha \in \mathbb{R}$, so existiert $\lim_{t \rightarrow \infty} y(t) =: y^* \in \mathcal{E}$.

Beweis: (i) folgt direkt aus Lemma 5.18.

ad (ii): Annahme: $\lim_{t \rightarrow \infty} y(t)$ existiert nicht. Dann existieren zwei Folgen $(t_n)_{n=0}^\infty$, $(s_n)_{n=0}^\infty$ mit $t_n \rightarrow \infty$, $s_n \rightarrow \infty$ und

$$y(t_n) \xrightarrow{n \rightarrow \infty} y^* \neq x^* \xleftarrow{n \rightarrow \infty} y(s_n)$$

Zudem können wir annehmen:

$$t_n \leq s_n \leq t_{n+1} \quad \forall n \in \mathbb{N}$$

Die Monotonie von V impliziert

$$\begin{aligned} V(y(t_{n+1})) &\leq V(y(s_n)) \leq V(y(t_n)) \quad \forall n \in \mathbb{N} \\ \xrightarrow[n \rightarrow \infty]{V \text{ stetig}} V(y^*) &\leq V(x^*) \leq V(y^*) \end{aligned} \quad (5.16)$$

d.h. $\alpha := V(y^*) = V(x^*)$.

Aus Lemma 5.18. folgt, dass $y^*, x^* \in \mathcal{E}$. Sei $\varepsilon > 0$ so klein, dass $\mathcal{E} \cap \bar{B}_\varepsilon(y^*) \cap V^{-1}(\{\alpha\}) = \{y^*\}$. Insbesondere ist $x^* \notin \bar{B}_\varepsilon(y^*)$. Für hinreichend große n gibt es deshalb r_n mit $t_n \leq r_n \leq s_n$, so dass $|y(r_n) - y^*| = \varepsilon$. Nach Wahl einer Teilfolge $(r_{n_k})_k$ von $(r_n)_n$ schließen wir

- $\lim_{k \rightarrow \infty} y(r_{n_k}) =: z^* \in \partial B_\varepsilon(y^*)$ $\llbracket y(r_{n_k}) \in \partial B_\varepsilon(y^*), \partial B_\varepsilon(y^*) \text{ kompakt} \rrbracket$
- $z^* \in \mathcal{E}$ $\llbracket \text{Lemma 5.18} \rrbracket$
- $V(z^*) = \alpha = V(y^*) = V(x^*)$ $\llbracket V \text{ stetig, (5.16), Monotonie von Ljapunovfunktion} \rrbracket$

$$\Rightarrow z^* \in \mathcal{E} \cap V^{-1}(\{\alpha\}) \cap \bar{B}_\varepsilon(y^*) = \{y^*\} \text{ im Widerspruch zu } z^* \neq y^*$$

Also existiert $\lim_{t \rightarrow \infty} y(t) =: y^*$. Nach Lemma 5.18 ist $y^* \in \mathcal{E}$. ■

Beispiel: (Lotka-Volterra-Gleichung mit Sättigung)

- $G = (0, \infty)^2$
- $\mathcal{E} \cap G$ ist diskret, da ein-elementig
- Aus Satz 5.16. folgt, dass für jedes $(x_0, y_0) \in G$ die Lösung global nach rechts existiert und in einer kompakten Menge bleibt.
- Satz 5.21. liefert, dass alle Lösungen mit Startwerten $(x_0, y_0) \in G$ gegen das Koexistenzäquilibrium (x^*, y^*) konvergieren.

■

Beispiel: (Pendel mit Reibung) Betrachte

$$\begin{pmatrix} y \\ v \end{pmatrix}' = \begin{pmatrix} v \\ -\alpha v - \omega^2 \sin y \end{pmatrix} \quad \text{für } \alpha, \omega > 0. \quad (5.17)$$

mit Ruhelagen

$$\mathcal{E} = \left\{ (y, v) : f \left(\begin{pmatrix} y \\ v \end{pmatrix} \right) = 0 \right\} = \{(m\pi, 0) : m \in \mathbb{Z}\}$$

Behauptung: Jede Lösung ist global (in der Zeit) existent und konvergiert gegen eine Ruhelage für $t \rightarrow \infty$. Um dies mittels Satz 5.21 zu zeigen, müssen wir die folgenden Voraussetzungen prüfen:

- (i) \mathcal{E} ist diskret.
- (ii) $V(y, v) := \frac{1}{2}v^2 + \omega^2(1 - \cos(y))$ ist strikte Ljapunovfunktion.
- (iii) Jede Lösung von (5.17) existiert global (nach rechts).
- (iv) Jede Lösung von (5.17) bleibt in einer kompakten Menge.

Beweis von:

- (i) offensichtlich
- (ii) siehe Beispiel 5.14.
- (iii) Sei $G := \mathbb{R}^2$. Dann ist f linear beschränkt auf G , d.h. $\|f((y, v)^T)\| \leq C \|(y, v)^T\| \forall (y, v)^T \in G$ für ein $C > 0$, welches nur von $\alpha, \omega, \|\cdot\|$ abhängt. Konkret:

$$\begin{aligned} \|f((y, v)^T)\|_2^2 &= |v|^2 + |\alpha v + \omega^2 \sin y|^2 & \ll (a+b)^2 &\leq 2(a^2 + b^2) \\ &\leq |v|^2 + 2(\alpha^2 v^2 + \omega^4 \sin^2 y) & \ll \sin^2 y &\leq y^2 \\ &\leq |v|^2 (1 + 2\alpha^2) + \omega^4 y^2 \end{aligned}$$

\Rightarrow Mit Satz 2.15. ist für jedes $(y_0, v_0) \in G$ die Lösung von (5.17) mit $y(0) = y_0, v(0) = v_0$ auf \mathbb{R} definiert.

- (iv) Da die Ljapunovfunktion V nicht koerziv ist, können wir Satz 5.16. nicht anwenden. Also muss die Beschränktheit der Lösungen direkt gezeigt werden.

1. Schritt:

Sei $t \rightarrow (y(t), v(t))$ Lösung von (5.17). Nach (iii) ist diese Lösung für alle Zeiten definiert. Weil V eine Ljapunovfunktion ist, ist $t \mapsto V(y(t), v(t))$ monoton fallend. Daraus folgt

$$\sup_{t \geq 0} |v(t)| =: M < \infty.$$

Aus $y' = v$, sowie (5.17) geschrieben als Gleichung zweiter Ordnung, also $y'' + \alpha y' + \omega^2 \sin y = 0$, folgt

$$\sup_{t \geq 0} |y''(t)| \leq \alpha M + \omega^2 \cdot 1 =: M'$$

2. Schritt:

Behauptung: $\int_0^\infty v^2(t) dt < \infty$

Beweis: $y'' + \alpha y' + \omega^2 \sin y = 0$

$$y'' y' + \alpha y' y' + (\omega^2 \sin y) y' = 0$$

$$\frac{1}{2} (y'^2)' + \alpha y'^2 - \omega^2 (\cos y)' = 0$$

$$\frac{1}{2} \int_0^t (y'^2)' ds + \alpha \int_0^t y'^2 ds - \omega^2 \int_0^t (\cos y)' ds = 0$$

$$\frac{1}{2} y'^2 \Big|_0^t + \alpha \int_0^t y'^2 ds - \omega^2 \cos y \Big|_0^t = 0 \quad \forall t \geq 0$$

$$\stackrel{1. \text{ Schritt}}{\implies} \alpha \int_0^t y'^2 ds \leq 2\omega^2 + M^2 \quad \forall t \geq 0$$

$$\implies \int_0^\infty y'^2 ds \leq \frac{2\omega^2 + M^2}{\alpha}$$

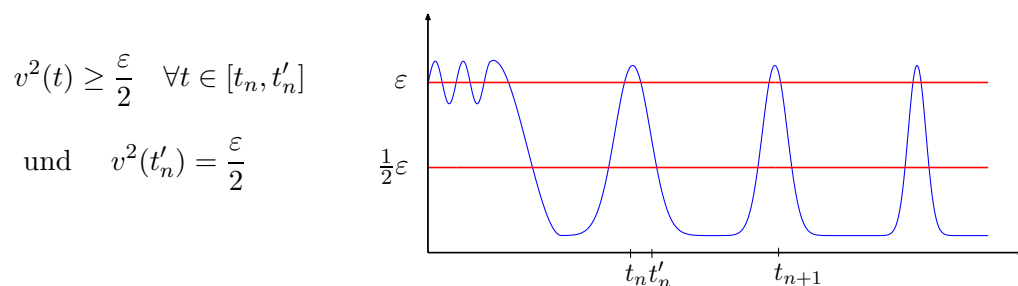
3. Schritt

Behauptung: $\lim_{t \rightarrow \infty} v(t) = 0$

Beweis: Annahme: $\exists \varepsilon > 0$ und $(t_n)_{n=0}^\infty$ mit

$$t_n \rightarrow \infty \text{ und } v^2(t_n) \geq \varepsilon \quad \forall n \in \mathbb{N}$$

O.B.d.A. ist $t_{n+1} - t_n \geq 1$ für alle n . Weil $\int_0^\infty v^2(t) dt < \infty$, muss es für jedes (hinreichend große) n ein $t'_n \in (t_n, t_{n+1})$ geben, mit



$$v^2(t) \geq \frac{\varepsilon}{2} \quad \forall t \in [t_n, t'_n]$$

$$\text{und } v^2(t'_n) = \frac{\varepsilon}{2}$$

Aus dem Mittelwertsatz folgt $\exists \tau_n \in (t_n, t'_n)$:

$$\begin{aligned} \frac{\varepsilon}{2} &\leq \underbrace{v^2(t_n)}_{\geq \varepsilon} - \underbrace{v^2(t'_n)}_{\leq \frac{\varepsilon}{2}} = |(t_n - t'_n) \cdot 2v(\tau_n)v'(\tau_n)| \leq (t'_n - t_n) \cdot 2MM' \\ \Rightarrow t'_n - t_n &\geq \frac{\varepsilon}{4MM'} \\ \Rightarrow \infty &> \int_0^\infty v^2(t) dt \geq \underbrace{\int_{t_n}^{t'_n} v^2(t) dt}_{\xrightarrow{n \rightarrow \infty} 0} \geq \int_{t_n}^{t'_n} v^2(t) dt \\ &\geq \int_{t_n}^{t'_n} \frac{\varepsilon}{2} dt = \frac{\varepsilon}{2}(t'_n - t_n) \geq \underbrace{\frac{\varepsilon}{2} \frac{\varepsilon}{4MM'}}_{\text{unabhängig von } n} > 0 \quad \text{Widerspruch!} \end{aligned}$$

4. Schritt:

Weil $t \mapsto V(y(t), v(t))$ monoton fallend ist und $\forall t : 0 \leq V(y(t), v(t))$ gilt, folgt, dass $\lim_{t \rightarrow \infty} V(y(t), v(t)) =: V_\infty$ existiert. Weil $\lim_{t \rightarrow \infty} v(t) = 0$, muss $\lim_{t \rightarrow \infty} \omega^2(1 - \cos y(t))$ existieren. Äquivalent dazu existiert $\lim_{t \rightarrow \infty} \cos y(t)$. Also ist die Funktion $t \mapsto |y(t)|$ beschränkt.

■

5.5 Orbits und Limesmengen

Erinnerung: Ziel des Abschnittes ist es, das Langzeitverhalten von Lösungen zu verstehen.

Idee: Versuche, die Menge der Häufungspunkte der Bahn einer Lösung zu beschreiben.

Wir betrachten

$$(5.12) \quad y' = f(y), \quad f \text{ lokal lipschitzstetig}$$

Weiters nehmen wir an:

- $t_0 := 0$
- Wir betrachten nur Startwerte $y_0 \in G$, so dass $y_{0,y_0} \in C^1((0, \infty); \mathbb{R}^d)$, das heißt global nach rechts existierende Lösungen

Definition 5.22.

- $\gamma_+(y_0) := \{y_{0,y_0}(t) : t \geq 0\}$ heißt Orbit (Bahn) von y_0 [[analog: $\gamma_-(y_0)$]].
- $\omega_+(y_0) := \{\bar{y} \in \mathbb{R}^d : \exists \text{ Folge } (t_n)_{n=0}^\infty, t_n \rightarrow \infty \text{ mit } y_{0,y_0}(t_n) \rightarrow \bar{y}\}$ heißt (positive) Limesmenge von y_0 .
- Eine Menge $M \subset G$ heißt positiv invariant, falls $\forall y_0 \in M : \gamma_+(y_0) \subset M$.

[[Zur Bezeichnung: analog ist $\omega_-(y_0)$ über Folgen $(t_n)_n$ mit $t_n \rightarrow -\infty$ definiert. Manchmal wird $\omega_+(y_0)$ auch nur mit $\omega(y_0)$ bezeichnet; sinnigerweise heißt dann $\omega_-(y_0) = \alpha(y_0)$]]

Lemma 5.23.

Vor.: Keine

Beh.: (i) $\overline{\gamma_+(y_0)} = \gamma_+(y_0) \cup \omega_+(y_0)$

(ii) $\omega_+(y_0)$ ist abgeschlossen

(iii) Sei $\gamma_+(y_0)$ beschränkt. Dann ist $\emptyset \neq \omega_+(y_0)$ zusammenhängend.

Beweis: ad (ii): Sei $(x_n)_n \subseteq \omega_+(y_0)$ mit $x_n \rightarrow x$. Sei $\varepsilon > 0$. Dann $\exists n_0 \forall n \geq n_0 : |x - x_n| < \varepsilon$. Für jedes solches n sei $t_n > \frac{1}{\varepsilon}$ mit $|y_{0,y_0}(t_n) - x_n| < \varepsilon$. Dann gilt $|x - y_{0,y_0}(t_n)| < 2\varepsilon$. Damit kann eine Folge $(t_n)_n$ konstruiert werden mit $t_n \rightarrow \infty$ und $y_{0,y_0}(t_n) \rightarrow x$.

ad (iii): Übung. [[Widerspruchsbeweis zur Annahme: $\omega_+(y_0) = \omega_1 \cup \omega_2$ mit ω_1, ω_2 kompakt und $\text{dist}(\omega_1, \omega_2) > 0$]] ■

Beispiel:

- Sei $y_0 \in \mathcal{E}$: Dann ist $\gamma_+(y_0) = \{y_0\} = \omega_+(y_0)$.
- Sei y_0 so, dass $\|y_{0,y_0}(t)\| \rightarrow \infty$ für $t \rightarrow \infty$. Damit gilt $\omega_+(y_0) = \emptyset$.
- Sei y_{0,y_0} eine periodische Funktion. Dann ist $\gamma_+(y_0)$ eine geschlossene Kurve und $\gamma_+(y_0) = \omega_+(y_0)$.

Beispiel: Betrachte

$$\begin{aligned}x' &= y - (x^2 + y^2 - 1)x \\y' &= -x - (x^2 + y^2 - 1)y,\end{aligned}$$

oder, in Polarkoordinaten

$$r' = -r(r^2 - 1), \quad \phi' = -1.$$

D.g.:

- $(0, 0)$ ist instabile Ruhelage
- für jedes $(x_0, y_0) \neq (0, 0)$ ist $\omega_+(x_0, y_0) = \partial B_1(0)$ [$r' > 0$ für $r < 1$ und $r' < 0$ für $r > 1$]

Satz 5.24.

Vor.: Sei $y_{0,y_0} \in C^1((0, \infty); \mathbb{R}^d)$ eine beschränkte Lösung von (5.12) mit $\overline{\gamma_+(y_0)} \subset G$.

Beh.: $\omega_+(y_0)$ besteht aus globalen Lösungen, das heißt $\forall \bar{y} \in \omega_+(y_0)$ ist $y_{0,\bar{y}} \in C^1(\mathbb{R}; \mathbb{R}^d)$ und $y_{0,\bar{y}}(t) \in \omega_+(y_0) \quad \forall t \in \mathbb{R}$. Insbesondere ist $\omega_+(y_0)$ positiv und negativ invariant.

Beweis: (Nur skizziert)

- Sei $\bar{y} \in \omega_+(y_0)$ und $(t_n)_n$ mit $t_n \rightarrow \infty$ und $y_{0,y_0}(t_n) \rightarrow \bar{y}$
- Sei $[a, b] \subset \mathbb{R}$ beliebig
- Sei n_0 so groß, dass $t_n + a \geq 0 \quad \forall n \geq n_0$
- Die Funktion $y_n(t) := y_{0,y_0}(t + t_n)$ ist definiert auf $[a, \infty)$, weil $y_{0,y_0} \in C^1((0, \infty); \mathbb{R}^d)$
- $y'_n = f(y_n)$
- Weil $\overline{\gamma_+(y_0)} = \underbrace{\gamma_+(y_0)}_{\subseteq G} \cup \underbrace{\omega_+(y_0)}_{\subseteq G} \subseteq G$ und $\overline{\gamma_+(y_0)}$ kompakt ($\gamma_+(y_0)$ ist abgeschlossen und beschränkt) und f stetig auf G ist, folgt, dass die Folge $(y_n)_n$ gleichgradig stetig auf $[a, b]$ ist $\left(\|y'_n\|_{C([a,b])} = \max_{t \in [a,b]} \|f(y_n(t))\| \right)$
- Arzelà-Ascoli liefert eine konvergente Teilfolge y_{n_m} , die gleichmäßig gegen eine stetige Funktion $z \in C([a, b]; \mathbb{R}^d)$ konvergiert.
- Wie im Beweis vom Satz von Peano zeigt man, dass z eine Lösung der ODE ist und folgende Bedingungen erfüllt:

$$(a) \quad z' = f(z), \quad t \in [a, b]$$

$$(b) \quad z(0) = \lim_{m \rightarrow \infty} y_{n_m}(0) = \lim_{m \rightarrow \infty} y_{0,y_0}(0 + t_{n_m}) \stackrel{Vor.}{=} \bar{y}$$

(c) für $t \in [a, b]$ ist $z(t) = \lim_{m \rightarrow \infty} y_{n_m}(t) = \lim_{m \rightarrow \infty} y_{0,y_0}(t + t_{n_m}) \in \omega_+(y_0)$
 $\llbracket z(t) = \lim_{m \rightarrow \infty} y_{0,y_0}(t + t_{n_m}) \implies \text{dass der Limes existiert, und } \omega_+(y_0) \text{ ist die Menge solcher Limiten} \rrbracket$

- Damit ist $y_{0,\bar{y}} = z \in C^1([a, b]; \mathbb{R}^d)$ und bleibt in $\omega_+(y_0)$. Weil $[a, b]$ beliebig gewählt war, ist also $y_{0,\bar{y}} \in C^1(\mathbb{R}; \mathbb{R}^d)$. ■

Korollar 5.25.

Vor.: Habe (5.12) eine strikte Ljapunovfunktion

Beh.: Dann gilt: $\omega_+(y_0) \subset \mathcal{E}$

Beweis: folgt aus Lemma 5.18. ■

5.5.1 Einfache Anwendung von Limesmengen

Erinnerung: Satz 5.19. besagt: Sei y^* Ruhelage und y^* striktes Minimum einer Ljapunovfunktion $V \Rightarrow y^*$ ist stabil.

Ziel: Falls Ruhelage y^* kein Minimum von V ist, dann ist es instabil.

Satz 5.26.

Vor.: Sei $V \in C(G; \mathbb{R})$, y^* isolierte Ruhelage und $V(y^*) = 0$. $\llbracket \ddot{U}: \text{d. ist keine Einschränkung!} \rrbracket$

Sei $v_0 > 0$ so dass $V^{-1}((-\infty, 0)) \cap B_{v_0}(y^*) \neq \emptyset \quad \forall v \in (0, v_0)$.

Sei V strikte Ljapunovfunktion auf $V^{-1}((-\infty, 0)) \cap B_{v_0}(y^*)$.

Beh.: Dann gilt: y^* ist instabil.

Genauer: $\exists \varepsilon > 0 \quad \forall \delta > 0 \quad \exists y_0 \in B_\delta(y^*) \setminus \{y^*\} \quad \exists t^* > 0: y_{0,y_0}(t^*) \notin B_\varepsilon(y^*)$

Beweis: Notation: $G_0 := V^{-1}((-\infty, 0))$, $G_\varepsilon := G_0 \cap \overline{B_\varepsilon(y^*)}$

Annahme: y^* ist stabil. Sei $\varepsilon > 0$, so dass $\overline{B_\varepsilon(y^*)} \cap \mathcal{E} = \{y^*\}$. $\llbracket \text{Möglich da } y^* \text{ isolierte Ruhelage} \rrbracket$

Wegen der Stabilität $\exists \delta > 0$ mit $0 < \delta < \varepsilon$, so dass $\forall y_0 \in \overline{B_\delta(y^*)}$ gilt:

- $y_{0,y_0} \in C^1((0, \infty); \mathbb{R}^d)$
- $y_{0,y_0}(t) \in B_\varepsilon(y^*) \quad \forall t \geq 0$

Nach Voraussetzung ist $G_\varepsilon \neq \emptyset$. Wähle $y_0 \in G_\varepsilon$. Dann gilt:

- $y_{0,y_0}(t) \in B_\varepsilon(y^*) \quad \forall t \geq 0 \quad \Rightarrow \quad \omega_+(y_0) \neq \emptyset$
- $y_{0,y_0}(t) \in B_\varepsilon(y^*) \quad \forall t \geq 0 \quad \Rightarrow \quad \omega_+(y_0) \subset \overline{B_\varepsilon(y^*)}$
- $\omega_+(y_0) \subset \mathcal{E}$ $\llbracket \text{Kor. 5.25} \rrbracket$. Damit: $\emptyset \neq \omega_+(y_0) \cap \overline{B_\varepsilon(y^*)} \subset \mathcal{E} \cap \overline{B_\varepsilon(y^*)} = \{y^*\}$
- Sei $(t_n)_n$ mit $t_n \rightarrow \infty$ und $y_{0,y_0}(t_n) \rightarrow y^* \in \omega_+(y_0)$. Weil V Ljapunovfunktion ist (und stetig ist), ist $V(y^*) = 0 > V(y_0) \geq \limsup_{n \rightarrow \infty} V(y_{0,y_0}(t_n)) = \lim_{n \rightarrow \infty} V(y_{0,y_0}(t_n)) = V(y^*)$, ein Widerspruch. ■

5.6 Satz von Poincaré-Bendixson

- Wir betrachten den Fall $d = 2$.
- $d = 2$ deckt z.B. den Fall von skalaren ODEs 2. Ordnung ab.
- **Warnung:** Der Fall $d = 2$ ist ein Sonderfall, weil der Jordansche Kurvensatz gilt.

Lemma 5.27. (*Jordanscher Kurvensatz*):

Vor.: Sei $C \subset \mathbb{R}^2$ eine Jordankurve, das heißt $C = \{\varphi(t) : t \in [0, 1]\}$ wobei

- $\varphi : [0, 1] \rightarrow \mathbb{R}^2$ ist stetig
- $\varphi(0) = \varphi(1)$
- $\varphi|_{[0,1)}$ ist injektiv

Beh.: Dann gilt: $\mathbb{R}^2 \setminus C$ besteht aus genau zwei zusammenhängenden Komponenten $\text{int } C$ und $\text{ext } C$.

Beweis: Ohne Beweis ■

Ziel ist der Satz von Poincaré-Bendixson, der ein gutes Verständnis von $\omega_+(y_0)$ liefert. Eine vereinfachte Fassung ist:

Satz 5.28.

Vor.: Sei $\gamma_+(y_0)$ beschränkt, $\overline{\gamma_+(y_0)} \cap \mathcal{E} = \emptyset$.

Beh.: Dann ist $\omega_+(y_0)$ ein periodischer Orbit, das heißt für jedes $\bar{y} \in \omega_+(y_0)$ ist $\gamma_+(\bar{y}) = \omega_+(y_0)$.

Beweis: Der Beweis wird als Beweis von Satz 5.37. nachgeliefert. ■

Definition 5.29.

- Eine Funktion $y : (0, \infty) \rightarrow \mathbb{R}^d$ heißt periodisch, falls es ein $T > 0$ gibt mit $y(t + T) = y(t) \quad \forall t > 0$.
- Der Orbit $\gamma_+(y_0)$ heißt periodisch, falls y_{0,y_0} periodisch ist.

Zentraler Begriff der Theorie von Poincaré-Bendixson ist der Begriff der Transversalen.

Definition 5.30. Ein Segment $L = \{\tau x_0 + (1 - \tau)x_1 : \tau \in [0, 1]\}$ mit $x_0 \neq x_1$ heißt Transversale (für f), falls $f(y) \neq \lambda(x_1 - x_0) \quad \forall y \in L \quad \forall \lambda \in \mathbb{R}$, das heißt $f(y)$ und $x_1 - x_0$ sind l.u. $\forall y \in L$.

Bemerkung: (*Geometrische Interpretation*): L ist Transversale, falls

- $L \cap \mathcal{E} = \emptyset$
- Die Vektoren $f(y)$ und $x_1 - x_0$ zeigen in verschiedene Richtungen $\forall y \in L$.

■

Lemma 5.31.

 Vor.: Sei $f \in C^1(G; \mathbb{R}^d)$.

 Beh.: (i) Sei $y \in G \setminus \mathcal{E}$. Dann existiert eine Transversale durch y . Sie kann sogar jede beliebige Richtung mit Ausnahme von $\pm f(y)$ haben.

 [Man darf x_0, x_1 beliebig nah an y wählen und f ist stetig!]

 (ii) Sei $L = \{\tau x_0 + (1 - \tau)x_1 : \tau \in [0, 1]\}$. Sei $z \neq 0$ mit $z \cdot (x_1 - x_0) = 0$. Dann ist L Transversale $\Leftrightarrow f(y) \cdot z \neq 0 \forall y \in L$.

 (iii) Sei L Transversale, $y_0 \in L$. Dann gilt $y_{0,y_0}(t) \notin L$ für alle $|t| \neq 0$ hinreichend klein. Das heißt Orbits kreuzen Transversalen.

 (iv) Alle Orbits, die eine Transversale kreuzen, überqueren sie in der gleichen Richtung, das heißt für ein festes z mit $(x_1 - x_0) \cdot z = 0$ gilt:
 $y_0 \mapsto y'_{0,y_0}(0) \cdot z = f(y_0) \cdot z$ hat konstantes Vorzeichen auf L .

Beweis: (i) und (ii) sind klar.

 ad (iii) *Annahme:* $\exists (t_n)_n$ mit $t_n \rightarrow 0$ mit $y_{0,y_0}(t_n) \in L \forall n \in \mathbb{N}$. Dann gilt:

- $f(y_0) \cdot z \neq 0$ nach Punkt (ii).
- $z \cdot f(y_0) = z \cdot \lim_{n \rightarrow \infty} \frac{y_{0,y_0}(t_n) - y_{0,y_0}(0)}{t_n - 0} = \lim_{n \rightarrow \infty} z \cdot \underbrace{\frac{y_{0,y_0}(t_n) - y_{0,y_0}(0)}{t_n - 0}}_{=0 \forall n \in \mathbb{N}} = 0$. Widerspruch!

 Die Kurve $t \mapsto y_{0,y_0}(t)$ kreuzt L bei $t = 0$, denn aus $f(y_0) \cdot z \neq 0$ folgt, dass die Funktion

$$t \mapsto \frac{y_{0,y_0}(t) - y_{0,y_0}(0)}{t - 0} \cdot z$$

 für kleine t ihr Vorzeichen nicht wechselt. Also wechselt $t \mapsto (y_{0,y_0}(t) - y_0) \cdot z$ sein Vorzeichen bei $t = 0$, das heißt die Kurve kreuzt L .

 ad (iv) Sei $z \neq 0$ mit $(x_1 - x_0) \cdot z = 0$. Betrachte die Funktion $\varphi : \tau \mapsto f(\tau x_0 + (1 - \tau)x_1) \cdot z$. Dann gilt: φ ist stetig auf $[0, 1]$ und $\varphi \neq 0$ auf $[0, 1]$ [vergleiche (ii)]. Also kreuzen alle Orbits die L kreuzen, L in der gleichen Richtung. ■

Lemma 5.32.

 Vor.: Sei $L = \{\tau x_0 + (1 - \tau)x_1 : \tau \in [0, 1]\}$ Transversale. Sei $y_1 \in L \setminus \{x_0, x_1\}$.

 Beh.: Dann gilt: $\forall \varepsilon > 0 \exists \delta > 0 \forall y_0 \in \overline{B_\delta}(y_1) \exists t \in [-\varepsilon, \varepsilon] : y_{0,y_0}(t) \in L$.

Beweis: *Annahme:* $\exists \varepsilon_0 > 0$ und Folge $(\tilde{y}_k)_{k=0}^\infty$ mit $\tilde{y}_k \rightarrow y_1$, so dass $y_{0,\tilde{y}_k}(t) \notin L \forall t \in [-\varepsilon_0, \varepsilon_0]$. Sei $z \neq 0$ mit $(x_1 - x_0) \cdot z = 0$. Definiere für jedes k die Funktion

$$\varphi_k(t) := (y_{0,\tilde{y}_k}(t) - y_1) \cdot z.$$

 Sei $\varphi_\infty(t) = (y_{0,y_1}(t) - y_1) \cdot z$. Dann gilt:

- $\varphi_k \xrightarrow{k \rightarrow \infty} \varphi_\infty$ gleichmäßig auf $[-\varepsilon_0, \varepsilon_0]$.
 [[vergleiche Satz über stetige Abhängigkeit von Anfangsdaten]]
- φ_∞ hat Vorzeichenwechsel bei $t = 0$. $[\varphi_\infty(0) = 0, \varphi'_\infty(0) = f(y_1) \cdot z \neq 0]$
- Also hat φ_k einen Vorzeichenwechsel auf $[-\varepsilon_0, \varepsilon_0]$ für k hinreichend groß.
- φ_k hat aber keinen Vorzeichenwechsel auf $[-\varepsilon_0, \varepsilon_0]$, denn $\varphi_k(t') = 0 \Leftrightarrow (y_{0,\tilde{y}_k}(t') - y_1) \perp z$, das heißt $y_{0,\tilde{y}_k}(t') \in L$. Das ist ein Widerspruch! ■

Lemma 5.33.

Vor.: Sei $L = \{x_0\tau + (1 - \tau)x_1 : \tau \in [0, 1]\}$ Transversale. Sei $\gamma := \{y_{0,y_0}(t) : t \in [a, b]\}$ ein "Teilorbit"

Beh.: Dann gilt:

- (i) $L \cap \gamma$ ist endlich, d.h. $L \cap \gamma = \{y_1, \dots, y_m\}$
- (ii) Die Schnittpunkte von γ mit L sind angeordnet: Falls y_{0,y_0} nicht periodisch, dann gilt für die Punkte $y_i = \tau_i x_0 + (1 - \tau_i)x_1 = y_{0,y_0}(t_i)$, $i = 1, \dots, m$ mit Durchstoßzeiten t_i das Folgende:

$$t_1 < t_2 < \dots < t_m \Rightarrow \tau_1 < \tau_2 < \dots < \tau_m \text{ oder } \tau_1 > \tau_2 > \dots > \tau_m$$

- (iii) Falls y_{0,y_0} periodisch, dann ist $L \cap \gamma$ höchstens einelementig.

Beweis:

ad(i): Annahme: $\exists (t_n)_n \subsetneq [a, b]$ mit $y_{0,y_0}(t_n) \in L \cap \gamma \forall n \in \mathbb{N}$. Wähle Teilfolge (wieder $(t_n)_n$ genannt) mit $\lim_{n \rightarrow \infty} t_n =: t_\infty \in [a, b]$. Sei $y_\infty := y_{0,y_0}(t_\infty) \in L \cap \gamma$. Dann gilt:

$$\frac{y_{0,y_0}(t_n) - y_\infty}{t_n - t_\infty} \xrightarrow{n \rightarrow \infty} y'_{0,y_0}(t_\infty) = f(y_\infty).$$

Sei $z \neq 0$ mit $z \cdot (x_1 - x_0) = 0$ Dann gilt:

$$\underbrace{\frac{y_{0,y_0}(t_n) - y_\infty}{t_n - t_\infty} \cdot z}_{=0 \quad \forall n \in \mathbb{N}} \xrightarrow{n \rightarrow \infty} \underbrace{f(y_\infty) \cdot z}_{\neq 0, \text{ weil } L \text{ Transversale}}, \text{ Widerspruch!}$$

ad(ii): Seien $t_1 < t_2 < t_3$ drei aufeinanderfolgende Durchstoßzeiten und

$$y_i = y_{0,y_0}(t_i) = \tau_i x_0 + (1 - \tau_i)x_1, \quad i \in \{1, 2, 3\}.$$

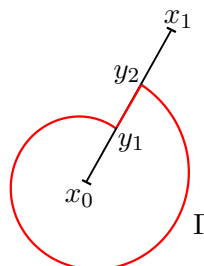
O.B.d.A. Sei $\tau_1 < \tau_2$ [[sonst vertausche x_0 und x_1]]. Dann gilt:

Die Kurve Γ , die als Vereinigung von Γ_1 und Γ_2 gegeben ist, mit

$$\Gamma_1 := \{y_{0,y_0}(t) : t_1 \leq t \leq t_2\} \text{ und}$$

$$\Gamma_2 := \{\tau x_0 + (1 - \tau)x_1 : \tau_1 < \tau < \tau_2\},$$

ist eine Jordankurve.



[[Γ ist doppeltpunktfrei, weil Orbits sich nicht schneiden können]] Nach dem Jordanschen Kurvensatz 5.27. zerlegt Γ den \mathbb{R}^2 in zwei Teile G_i und G_a . Sei G_a der Teil, in den das Richtungsfeld auf Γ_2 hineinzeigt. Man kann sich überlegen, daß dann das Segment $\langle x_0, y_1 \rangle$ in G_i liegen muß. Betrachte nun die Kurve $\{y_{0,y_0}(t) : t \geq t_2\}$. Dann gilt:

1. $\{y_{0,y_0}(t) : t > t_2\}$ kann Γ_1 nicht schneiden, weil Orbits sich nicht schneiden [[Eindeutigkeit von AWP]].
2. $\{y_{0,y_0}(t) : t > t_2\}$ kann $\bar{\Gamma}_2$ auch nicht kreuzen, denn das Richtungsfeld f zeigt auf $\bar{\Gamma}_2$ nach G_a [[vgl. Lemma 5.31 (iv)]]. Damit muss $\{y_{0,y_0}(t) : t > t_2\} \subsetneq G_a$ gelten, d.h. $y_{0,y_0}(t_3) \in G_a$, d.h. $\tau_3 > \tau_2$.

ad(iii): folgt mit analogen Argumenten wie (ii). ■

Lemma 5.34.

Vor.: Sei $\gamma_+(y_0)$ beschränkt, L Transversale, $\bar{y} \in L \cap \omega_+(y_0)$.

Beh.: Dann existiert eine Folge $(t_n)_n$ mit $t_n \nearrow \infty$, $\lim_{n \rightarrow \infty} y_{0,y_0}(t_n) = \bar{y}$, $y_{0,y_0}(t_n) \in L \forall n \in \mathbb{N}$.

Beweis:

1. Schritt: Wir können annehmen, daß \bar{y} kein Endpunkt von L ist, denn andernfalls “verlängern” wir L : nach Lemma 5.31, (ii) ist $f(y) \cdot z \neq 0 \quad \forall y \in L$. Wegen Stetigkeit von f ist damit auch $f(y) \cdot z \neq 0$ für alle y in einer Umgebung von L .
2. Schritt: Sei $\varepsilon_n = \frac{1}{n}$. Nach Lemma 5.32. $\exists \delta_n > 0$ so dass $\forall y_1 \in B_{\delta_n}(\bar{y})$ gilt: $\exists t_n'' \in [-\varepsilon_n, \varepsilon_n]$ so dass $y_{0,y_0}(t_n'') \in L$.
3. Schritt: Weil $\bar{y} \in \omega_+(y_0)$ gibt es eine Folge $(\tilde{t}_n)_n$ mit $\tilde{t}_n \nearrow \infty$ und $y_{0,y_0}(\tilde{t}_n) \in B_{\delta_n}(\bar{y}) \forall n \in \mathbb{N}$. Setze $t_n := \tilde{t}_n + t_n''$. Dann gilt: $y_{0,y_0}(t_n) \in L \cap B_{\delta_n + \|f\|_\infty \varepsilon_n}(\bar{y})$. Weiters kann man annehmen:

- $\delta_n \rightarrow 0$
- $\tilde{t}_n \rightarrow \infty$

damit $t_n \rightarrow \infty$ und $y_{0,y_0}(t_n) \rightarrow \bar{y}$ ■

Korollar 5.35.

Vor.: Sei $\gamma_+(y_0)$ beschränkt, L Transversale.

Beh.: Dann gilt: $L \cap \omega_+(y_0)$ ist höchstens einelementig.

Beweis: Seien $\bar{y}, \bar{z} \in L \cap \omega_+(y_0)$. Dann gilt mit Lemma 5.34.:

$\exists (t_n)_{n=0}^\infty, (t'_n)_{n=0}^\infty$ mit $t_n \nearrow \infty, t'_n \nearrow \infty$ und $y_{0,y_0}(t_n) \in L \ \forall n \in \mathbb{N}$ und $y_{0,y_0}(t'_n) \in L \ \forall n$ und $\lim_{n \rightarrow \infty} y_{0,y_0}(t_n) = \bar{y}$ und $\lim_{n \rightarrow \infty} y_{0,y_0}(t'_n) = \bar{z}$. Sei:

$$y_n = y_{0,y_0}(t_n) = \tau_n x_0 + (1 - \tau_n) x_1 \quad \forall n \in \mathbb{N}$$

$$z_n = y_{0,y_0}(t'_n) = \sigma_n x_0 + (1 - \sigma_n) x_1 \quad \forall n \in \mathbb{N}$$

o.B.d.A. sei $t_n \leq t'_n \leq t_{n+1} \quad \forall n \in \mathbb{N}$.

Nach Lemma 5.33 überträgt sich die Anordnung der Schnitzeitpunkte auf die Parametrisierung der Schnittpunkte mit L , d.h.

$$\tau_n \leq \sigma_n \leq \tau_{n+1} \quad \forall n.$$

Und damit $\bar{y} = \bar{z}$. ■

Lemma 5.36.

Vor.: Sei $\gamma_+(y_0)$ beschränkt.

Beh.: Dann ist $\gamma_+(y_0)$ periodisch genau dann, wenn $\gamma_+(y_0) \cap \omega_+(y_0) \neq \emptyset$.

Insbesondere ist dann $\gamma_+(y_0) = \omega_+(y_0)$

Beweis:

\Rightarrow trivial.

\Leftarrow Sei $\bar{y} \in \gamma_+(y_0) \cap \omega_+(y_0) \neq \emptyset$.

1. Fall: $\bar{y} \in \mathcal{E}$. Dann gilt: $y_{0,y_0} \equiv \bar{y}$, d.h. $y_0 \in \mathcal{E}$, also $\gamma_+(y_0) = \{y_0\}$. Insbesondere ist $\gamma_+(y_0)$ trivial periodisch.
2. Fall: $\bar{y} \notin \mathcal{E}$. Sei L Transversale durch \bar{y} [vgl. Lemma 5.31]. Es gilt:

- $\bar{y} \in \gamma_+(y_0) \implies \gamma_+(\bar{y}) \subseteq \gamma_+(y_0)$
- $\bar{y} \in \gamma_+(y_0) \implies \omega_+(\bar{y}) = \omega_+(y_0)$
- $\bar{y} \in \omega_+(y_0) \implies \gamma_+(\bar{y}) \stackrel{\text{Satz 5.24}}{\subseteq} \omega_+(y_0) = \omega_+(\bar{y})$
- nach Lemma 5.34 $\exists (t_n)_n, t_n \nearrow \infty$ mit $y_{0,\bar{y}}(t_n) \in L, \forall n$ und $y_{0,\bar{y}}(t_n) \rightarrow \bar{y} \in \omega_+(\bar{y})$
- $y_{0,\bar{y}}(t_n) \in \gamma_+(\bar{y}) \subset \omega_+(\bar{y}) \quad \forall n \in \mathbb{N}$
- nach Korollar 5.35 ist $\omega_+(\bar{y}) \cap L$ höchstens einelementig. Damit $y_{0,\bar{y}}(t_n) = \bar{y} \quad \forall n \in \mathbb{N}$

Damit muss $\gamma_+(\bar{y})$ periodisch sein. Also ist $\gamma_+(\bar{y}) = \omega_+(\bar{y}) = \omega_+(y_0)$. Zudem gilt $\gamma_+(y_0) = \gamma_+(\bar{y})$. ■

Satz 5.37. (Poincaré-Bendixson):

Vor.: Sei $\gamma_+(y_0)$ beschränkt und $\omega_+(y_0) \cap \mathcal{E} = \emptyset$.

Beh.: Dann ist entweder $\omega_+(y_0) = \gamma_+(y_0)$ (d.h. ein periodischer Orbit) oder $\omega_+(y_0)$ ist ein periodischer Orbit, ein sogenannter Grenzzyklus.

Definition 5.38. Ein periodischer Orbit γ heißt Grenzzyklus [limit cycle] falls er mindestens einen Orbit anzieht, d.h. $\exists \bar{y} \notin \gamma$ mit $\lim_{t \rightarrow \infty} \text{dist}(y_{0,\bar{y}}(t), \gamma) = 0$

Beweis: Sei $\gamma_+(y_0)$ nicht periodisch. Sei $\bar{y} \in \omega_+(y_0)$ [$\omega_+(y_0) \neq \emptyset$, weil $\gamma_+(y_0)$ beschränkt ist]. Dann ist $y_{0,\bar{y}} \in C^1(\mathbb{R}, \mathbb{R}^2)$. [Satz 5.24.]

Behauptung: $y_{0,\bar{y}}$ ist periodisch.

Sei $\tilde{y} \in \omega_+(\bar{y}) \subset \omega_+(y_0)$ [nota: $\bar{y} \in \omega_+(y_0)$; Satz 5.24.], L eine Transversale durch \tilde{y} . Nach Lemma 5.34. existiert eine Folge $(t_n)_n$, $t_n \nearrow \infty$ mit $y_{0,\bar{y}}(t_n) \in L$ und $\lim_{n \rightarrow \infty} y_{0,\bar{y}}(t_n) = \tilde{y}$. Weiters ist $\forall n \in \mathbb{N}$: $y_{0,\bar{y}}(t_n) \in \gamma_+(\bar{y}) \subset \omega_+(y_0)$. Nach Korollar 5.35. müssen die Punkte $y_{0,\bar{y}}(t_n)$, $n \in \mathbb{N}$ übereinstimmen. Deshalb ist $\gamma_+(\bar{y})$ periodisch. D.h. $\omega_+(\bar{y})$ ist periodisch. Weil $\omega_+(y_0)$ zusammenhängend ist [vgl. Lemma 5.23, (iii)] folgt $\omega_+(\bar{y}) = \omega_+(y_0)$. ■

Korollar 5.39.

Vor.: Sei $\gamma_+(y_0)$ beschränkt und $\overline{\gamma_+(y_0)} \cap \mathcal{E} = \emptyset$

Beh.: Dann gilt: Die ODE $y' = f(y)$ hat eine periodische Lösung.

Beweis: Nach Satz 5.37 ist $\omega_+(y_0)$ der Orbit einer periodischen Lösung. ■

Satz 5.40.

Vor.: Sei $\gamma_+(y_0)$ beschränkt. Sei $\omega_+(y_0) \cap \mathcal{E}$ endlich.

Beh.: Dann kann nur einer der folgenden drei Fälle eintreten:

- (i) $\omega_+(y_0) = \{y^\infty\}$ für ein $y^\infty \in \mathcal{E}$
- (ii) $\omega_+(y_0)$ ist periodischer Orbit
- (iii) $\omega_+(y_0)$ besteht aus endlich vielen Ruhelagen und außerdem aus (möglicherweise unendlich vielen) vollständigen Orbits, die für $t \rightarrow \infty$ und $t \rightarrow -\infty$ gegen eine Ruhelage konvergieren.

Definition 5.41. Ein Orbit heißt vollständig, falls er von einer Lösung $y_{0,\bar{y}} \in C^1(\mathbb{R}; \mathbb{R}^d)$ erzeugt wird. Falls die Limiten

$$\lim_{t \rightarrow +\infty} y_{0,\bar{y}}(t) =: y_\infty^+ \text{ und } \lim_{t \rightarrow -\infty} y_{0,\bar{y}}(t) =: y_\infty^- \text{ existieren,}$$

so nennt man den Orbit

- heteroklin , falls $y_\infty^+ \neq y_\infty^-$
- homoklin , falls $y_\infty^+ = y_\infty^-$

Beispiel: (Für Satz 5.40, (iii))

Betrachte

$$f \begin{pmatrix} x \\ y \end{pmatrix} = \begin{pmatrix} y + x^2 - \alpha x(y - 1 - 2x^2) \\ -2x(1 + y) \end{pmatrix}$$

- Ruhelagen $(0, 0)$, $(-1, -1)$, $(1, -1)$, $(1/(2\alpha), -1)$
- die Kurven $y = -1$ und $y = 1 - x^2$ sind invariant
- tatsächlich: $\{(x, -1) : -1 < x < 1\}$ und $\{(x, 1 - 2x^2) : -1 < x < 1\}$ heterokline Orbits

Beispiel: (*homokliner Orbit*)

$$\begin{aligned} x' &= x + xy - (x + y)\sqrt{x^2 + y^2} \\ y' &= y - x^2 + (x - y)\sqrt{x^2 + y^2} \end{aligned}$$

In Polarkoordinaten hat dieses System die Form

$$\begin{aligned} r' &= r(1 - r) \\ \phi' &= (1 - \cos \phi)r > 0 \end{aligned}$$

Ruhelagen:

- $(0, 0)$ (instabil)
- $(1, 0)$ (Linearisierung liefert Eigenwerte -1 und 0)

Invariante Kurven: $\partial B_1(0)$ ist invariant.

Homokliner Orbit: $\partial B_1(0) \setminus \{(1, 0)\}$

$\partial B_1(0) = \omega_+(y_0)$ für jedes $y_0 \notin \{(0, 0), (1, 0)\}$

Beweis von Satz 5.40.:

1. Fall: $\omega_+(y_0) \subseteq \mathcal{E}$. Weil $\omega_+(y_0) \cap \mathcal{E}$ endlich und $\omega_+(y_0)$ zusammenhängend ist, ist $\omega_+(y_0)$ einelementig. Dies ist Fall (i).

2. Fall: Sei $\bar{y} \in \omega_+(y_0) \setminus \mathcal{E}$. Nach Satz 5.24 ist $y_{0,\bar{y}} \in C^1(\mathbb{R}; \mathbb{R}^2)$ und $\gamma_+(\bar{y}) \subseteq \omega_+(y_0)$. Damit auch $\omega_+(\bar{y}) \subset \omega_+(y_0)$.

2a: Sei $\tilde{y} \in \omega_+(\bar{y}) \setminus \mathcal{E} \subset \omega_+(y_0) \setminus \mathcal{E}$, L Transversale durch \tilde{y} . Es gilt:

- $L \cap \omega_+(y_0) = \{\tilde{y}\}$ [Korollar 5.35.]
- \exists Folge $(t_n)_n$ mit $t_n \nearrow \infty$ und $y_n := y_{0,\bar{y}}(t_n)$ erfüllt $y_n \in L \cap \gamma_+(\bar{y}) \ \forall n \in \mathbb{N}$ und $y_n \rightarrow \tilde{y}$ [Lemma 5.34]
- $\tilde{y} \in \omega_+(\bar{y})$

$\xrightarrow{\text{Kor. 5.35}} y_n = \tilde{y} \ \forall n \in \mathbb{N}$. Also ist $y_{0,\bar{y}}$ periodisch. Weil $\omega_+(\bar{y})$ zusammenhängend ist, ist $\gamma_+(\bar{y}) = \omega_+(\bar{y})$. Weil $\omega_+(\bar{y}) \subseteq \omega_+(y_0)$ und $\omega_+(y_0)$ zusammenhängend, folgt $\gamma_+(\bar{y}) = \omega_+(\bar{y}) = \omega_+(y_0)$. Das heißt (ii) ist erfüllt.

2b: Sei $\omega_+(\bar{y}) \setminus \mathcal{E} = \emptyset$, das heißt $\omega_+(\bar{y}) \subseteq \mathcal{E}$. Wie im Fall 1 schließen wir, dass $\omega_+(\bar{y})$ einelementig ist [wegen $\omega_+(\bar{y}) \subseteq \omega_+(y_0)$, das heißt $\omega_+(\bar{y}) \cap \mathcal{E}$ endlich]. Damit

$$\lim_{t \rightarrow +\infty} y_{0,\bar{y}}(t) = y_\infty^+ \text{ für ein } y_\infty^+ \in \mathcal{E}.$$

Analog existiert $\lim_{t \rightarrow -\infty} y_{0,\bar{y}}(t) = y_\infty^-$ für ein $y_\infty^- \in \mathcal{E}$. Das ist Fall (iii).

5.7 Bemerkungen zu periodischen Orbits

Beobachtung: Für viele technische Anwendungen ist es wichtig zu wissen, ob für $t \rightarrow \infty$ die Lösung gegen eine Ruhelage konvergiert oder ob ein periodischer Orbit angenommen wird. Für die Existenz periodischer Orbits hat Korollar 5.40 bereits eine Aussage (unter gewissen Bedingungen) gemacht. ■

Bemerkung: Ein einfaches Beispiel periodischer Orbits sind die (geschlossenen) Höhenlinien von (echten) Ljapunovfunktion, falls sie keine Ruhelage enthalten. [[Übung: warum?]] ■

Lemma 5.42.

Vor.: keine

Beh.: Das Innere (vgl. Jordanscher Kurvensatz) eines (echten) periodischen Orbits enthält (mindestens) eine Ruhelage.

Beweis: siehe Lemma 7.17 des Buches von Teschl. ■

Ein Negativresultat ist

Lemma 5.43.

Vor.: Sei G einfach zusammenhängend, $\rho \in C^1(G; \mathbb{R})$, $f \in C^1(G; \mathbb{R}^2)$. Es gelte: Zu jedem offenen $\emptyset \neq U \subseteq G$ existiere ein offenes $\emptyset \neq V \subseteq U$ mit

$$\frac{\partial}{\partial x}(\rho f_1) + \frac{\partial}{\partial y}(\rho f_2) = \operatorname{div}(\rho f) > 0$$

auf V .

Beh.: Dann gilt: Die ODE $y' = f(y)$ hat keine periodische Lösung.

Beweis: Aus den Voraussetzung folgt, dass $\operatorname{div}(\rho f) \geq 0$ auf ganz G :

Sei $x \in U$ ein Punkt, sodass $\operatorname{div}(\rho f)(x) < 0$. Wegen der Stetigkeit von $\operatorname{div}(\rho f)$ gibt es damit eine offene Umgebung B von x , in der $\operatorname{div}(\rho f) < 0$ ist. Da die Voraussetzung für jedes offene $U \subseteq G$ gilt, ist das ein Widerspruch.

Sei $\gamma_+(y_0)$ eine (echte) periodische Lösung. Der Jordansche Kurvensatz impliziert, dass das Innere von $\gamma_+(y_0)$ ganz in G ist (G ist zusammenhängend). Nach dem Gaußschen Integralsatz [[Vgl. BLÜMLINGER Satz 5.3.5. und ENGL 8.58.]] gilt:

$$0 < \int_{\operatorname{int}(\gamma_+(y_0))} \operatorname{div}(\rho f) \, dx dy = \int_{\gamma_+(y_0)} \rho \cdot \langle f, n \rangle \, ds = 0$$

Das ist ein Widerspruch, da $\langle f, n \rangle = 0$, weil $\gamma_+(y_0)$ ein Orbit ist, das heißt das Richtungsfeld ist parallel zur Tangente. ■

Beispiel 5.44. Betrachte

$$\begin{aligned} x' &= y - (x^2 + y^2 - 1)x \\ y' &= -x - (x^2 + y^2 - 1)y \end{aligned}$$

Behauptung: Es gibt keine (echten) periodischen Orbits in der (offenen) Menge $B_{\frac{1}{\sqrt{2}}}(0)$.

Sei

$$f(x, y) = \begin{pmatrix} y - (x^2 + y^2 - 1)x \\ -x - (x^2 + y^2 - 1)y \end{pmatrix}, \quad \rho \equiv 1, \quad G = B_{\frac{1}{\sqrt{2}}}(0).$$

$$\begin{aligned}\operatorname{div}(\rho f) &= \frac{\partial}{\partial x}(y - x(x^2 + y^2 - 1)) + \frac{\partial}{\partial y}(-x - y(x^2 + y^2 - 1)) = \\ &= -(x^2 + y^2 - 1) - 2x^2 - (x^2 + y^2 - 1) - 2y^2 = \\ &= 2 + (x^2 + y^2)(-1 - 1 - 2) = 2 - 4(x^2 + y^2)\end{aligned}$$

Dann gilt: $\operatorname{div}(\rho f) > 0$ auf $G = B_{\frac{1}{\sqrt{2}}}(0)$. Aus Lemma 5.44 folgt dann die Behauptung. ■

Das nächste Resultat zeigt, dass periodische Lösungen typischerweise auf jeder „Seite“ anziehen oder abstoßen.

Satz 5.44.

Vor.: Sei $\gamma_+(y_0)$ ein (echter) periodischer Orbit, der isoliert ist, das heißt in einer Umgebung von $\gamma_+(y_0)$ gibt es keinen weiteren periodischen Orbit.

Beh.: Dann gilt: Für jedes y_1 hinreichend nahe bei $\gamma_+(y_0)$ ist entweder $\omega_+(y_1) = \gamma_+(y_0)$ oder $\omega_-(y_1) = \gamma_-(y_0)$.

Beweis: Sei $\tilde{y} \in \gamma_+(y_0)$ beliebig und L eine Transversale durch \tilde{y} .

1. Schritt: Wegen der stetigen Abhängigkeit der Lösungen von den Anfangswerten können wir annehmen, dass, falls T eine hinreichend kleine Umgebung von $\gamma_+(y_0)$ ist, gilt: Für jedes $y_1 \in T$ schneidet der Orbit $\gamma_{\pm}(y_1)$ die Transversale L . Weil $f \neq 0$ auf $\gamma_+(y_0)$, können wir annehmen, dass $f \neq 0$ auf einer weiteren hinreichend kleinen Umgebung T' .
2. Schritt: Sei $y_1 \in L \cap T \cap T'$. Sei y_2 der erste Schnittpunkt von $\gamma_+(y_1)$ mit L , wobei $y_1 \neq y_2$. Wir nehmen an, dass y_2 „zwischen“ \tilde{y} und y_1 liegt [sonst betrachten wir $\gamma_-(y_1)$ und schlussendlich $\omega_-(y_1)$]. Die Menge D , die von dem Teilorbit von $\gamma_+(y_1)$, der zwischen y_1 und y_2 liegt, der Transversalen L und $\gamma_+(y_0)$ berandet wird, ist eine invariante Menge. Also ist $\gamma_+(y_1)$ beschränkt. Weil $\omega_+(y_1) \subseteq T'$ ist $\omega_+(y_1) \cap \mathcal{E} = \emptyset$. Nach Poincaré-Bendixson ist $\omega_+(y_1)$ periodisch. Weil $\gamma_+(y_0)$ ein isolierter, periodischer Orbit ist, muss gelten $\gamma_+(y_0) = \omega_+(y_1)$. ■

Randwertprobleme

- Bei AWP's wird eine ODE inklusive Anfangsbedingung gestellt, das heißt die Bedingungen werden in *einem* (Zeit-)Punkt gestellt. Bei Randwertproblemen (RWP) werden Bedingungen in mehreren Punkten gestellt.
- In der Literatur ist es üblich, die unabhängige Variable mit „ x “ statt mit „ t “ zu bezeichnen.
- Im Unterschied zu AWP ist Existenz und Eindeutigkeit bei RWP nicht automatisch gegeben.

Beispiel 6.1.

1. $y'' + y = 0$ auf $(0, \frac{\pi}{2})$

$$y(0) = 0$$

$$y(\frac{\pi}{2}) = 1$$

hat eine eindeutige Lösung $y(x) = \sin(x)$

2. $y'' + y = 0$ auf $(0, \pi)$

$$y(0) = 0$$

$$y(\pi) = 0$$

hat die Lösungsschar $y(x) = c \cdot \sin(x)$ $c \in \mathbb{R}$

3. $y'' + y = 0$ auf $(0, \pi)$

$$y(0) = 0$$

$$y(\pi) = 1$$

hat keine Lösung

■

6.1 Lineare Systeme 1.Ordnung

Definition 6.2. Sei $I = (a, b)$, $A \in C(\bar{I}; \mathbb{R}^{d \times d})$, $b \in C(\bar{I}; \mathbb{R}^d)$, $R_a, R_b \in \mathbb{R}^{d \times d}$, $\ell \in \mathbb{R}^d$. Das lineare RWP lautet: Finde $y \in C^1(I; \mathbb{R}^d) \cap C(\bar{I}, \mathbb{R}^d)$, so dass:

$$(6.1) \quad \begin{aligned} y' &= A(x)y + b(x), \quad x \in I \\ R_a y(a) + R_b y(b) &= \ell \end{aligned}$$

Das System heit:

- homogen, falls $\ell = 0$ und $b \equiv 0$
- inhomogen, falls $\ell \neq 0 \wedge b \neq 0$
- halbhomogen, falls $\ell = 0$ oder $b \equiv 0$

Bei linearen RWP lsst sich die Frage nach der Existenz und Eindeutigkeit auf eine Rangbestimmung reduzieren.

Satz 6.3.

Vor.: Sei Y eine Fundamentalmatrix fr $y'(x) = A(x)y(x)$. Definiere die Partikulrlsung

$$y_p(x) = Y(x) \int_a^x Y^{-1}(s) \cdot b(s) \, ds \text{ und die Matrix } B := R_a Y(a) + R_b Y(b).$$

Beh.: Dann gilt:

- (i) (6.1) ist lsbar $\Leftrightarrow \text{Rang } B = \text{Rang}(B, \ell - R_b y_p(b))$
- (ii) Falls (6.1) lsbar ist, dann ist der Lsungsraum ein affiner Raum der Dimension $\dim \ker B$.

Beweis: y_p erfllt:

$$y_p' = A(x)y_p + b, \quad y_p(a) = 0$$

Damit ist y eine Lsung von (6.1) \Leftrightarrow die Funktion $\tilde{y} = y - y_p$ lst:

$$\tilde{y}' = A(x)\tilde{y}$$

$$R_a \tilde{y}(a) + R_b \tilde{y}(b) = R_a(y(a) - \overbrace{y_p(a)}^{=0}) + R_b(y(b) - y_p(b)) = \ell - R_b y_p(b) =: \tilde{\ell}$$

\tilde{y} muss die Form $\tilde{y}(x) = Y(x) \cdot c$ fr ein $c \in \mathbb{R}^d$ haben. Das heit c muss $(R_a Y(a) + R_b Y(b)) \cdot c = \tilde{\ell}$ lsen. Damit folgt die Behauptung aus der linearen Algebra. ■

bung: Geben Sie die Matrizen R_a, R_b fr die Randwertprobleme aus Beispiel 6.1. an. ■

Satz 6.3 liefert eine konkrete Lsungstechnik fr (6.1). Eine weitere oft verwendete Technik basiert auf der „Greenschen Matrix“, welche eine explizite Lsungsformel darstellt. Wir betrachten das halbhomogene System

$$(6.3) \quad \begin{aligned} y' &= A(x)y + f(x) \\ R_a y(a) + R_b y(b) &= 0 \end{aligned}$$

Bemerkung 6.4. Der Fall $\ell \neq 0$ in (6.1) lässt sich typischerweise einfach in die Form (6.3) bringen. Sei \tilde{y}_p eine Funktion mit $R_a \tilde{y}_p(a) + R_b \tilde{y}_p(b) = \ell$. Dann löst y das RWP (6.1) genau dann, wenn $\tilde{y} := y - \tilde{y}_p$ das System

$$\begin{aligned} R_a \tilde{y}(a) + R_b \tilde{y}(b) &= 0 \\ \tilde{y}' &= A\tilde{y} + b + (A\tilde{y}_p - \tilde{y}_p') \end{aligned}$$

löst. In der Praxis kann man $\tilde{y}_p = \text{const}$ oder linear wählen. ■

Wir betrachten nur den Fall, dass (6.3) für jedes $b \in C(\bar{I}; \mathbb{R}^d)$ *eindeutig* lösbar ist. Nach Satz 6.3. (ii) heißt dies, dass die dort eingeführte Matrix B regulär sein muss.

Satz 6.5.

Vor.: Sei die Matrix B aus Satz 6.3 regulär.

Beh.: Dann gilt: Es gibt eine Funktion $G : [a, b]^2 \rightarrow \mathbb{R}^{d \times d}$, so dass für jedes $f \in C(\bar{I}; \mathbb{R}^d)$ die Funktion

$$x \mapsto y(x) = \int_a^b G(x, t) f(t) dt$$

die Lösung von (6.3) ist. Es gilt für jedes feste $t \in (a, b)$ für die Funktion $x \mapsto G(x, t)$

- (i) $x \mapsto G(x, t)$ erfüllt die homogene Gleichung $y' = Ay$ auf $(a, t) \cup (t, b)$, dass heißt $\partial_x G(x, t) = A(x)G(x, t)$ für $x \in (a, t) \cup (t, b)$
- (ii) G erfüllt die Sprungbedingung $G(t^+, t) - G(t^-, t) = +I \in \mathbb{R}^{d \times d}$
- (iii) $R_a G(a, t) + R_b G(b, t) = 0$

Die Funktion $(x, t) \mapsto G(x, t)$ heißt *Greensche Funktion* oder auch *Greensche Matrix*.

Beweis: Sei Y Fundamentalsystem. Definiere

$$G(x, t) = \begin{cases} Y(x)B^{-1}R_a Y(a)Y^{-1}(t), & a \leq t \leq x \leq b \\ -Y(x)B^{-1}R_b Y(b)Y^{-1}(t), & a \leq x < t \leq b \end{cases}$$

ad (ii): Die Sprungbedingung $G(t+, t) - G(t-, t) = I$ folgt durch Einsetzen.

ad (iii): $x \mapsto y(x)$ erfüllt auch die Randbedingung: Für $t \in (a, b)$ rechnen wir nach:

$$\begin{aligned} R_a G(a, t) + R_b G(b, t) &= -R_a \cdot Y(a)B^{-1}R_b Y(b)Y^{-1}(t) + R_b \cdot Y(b)B^{-1}R_a Y(a)Y^{-1}(t) \\ &= -(B - R_b Y(b))B^{-1}R_b Y(b)Y^{-1}(t) + R_b Y(b)B^{-1}R_a Y(a)Y^{-1}(t) \\ &= -(I - R_b Y(b)B^{-1})R_b Y(b)Y^{-1}(t) + R_b Y(b)B^{-1}R_a Y(a)Y^{-1}(t) \\ &= -R_b Y(b)Y^{-1}(t) + R_b Y(b)B^{-1}(R_b Y(b) + R_a Y(a))Y^{-1}(t) = 0 \end{aligned}$$

damit folgt aus $y(x) = \int_a^b G(x, t) f(t) dt$, dass $R_a y(a) + R_b y(b) = 0$.

ad(i):

$$\begin{aligned}
 \text{Setze } y(x) &= \int_a^b G(x, t) f(t) dt = \int_a^x Y(x) B^{-1} R_a Y(a) Y^{-1}(t) f(t) dt - \int_x^b Y(x) B^{-1} R_b Y(b) Y^{-1}(t) f(t) dt. \\
 \Rightarrow y'(x) &= Y'(x) \int_a^x B^{-1} R_a Y(a) Y^{-1}(t) f(t) dt + Y(x) \cdot B^{-1} R_a Y(a) Y^{-1}(x) f(x) \\
 &\quad - Y'(x) \int_x^b B^{-1} R_b Y(b) Y^{-1}(t) f(t) dt + Y(x) \cdot B^{-1} R_b Y(b) Y^{-1}(x) f(x) \\
 &\stackrel{Y' = AY}{=} A(x) Y(x) \int_a^x B^{-1} R_a Y(a) Y^{-1}(t) f(t) dt + Y(x) B^{-1} R_a Y(a) Y^{-1}(x) f(x) \\
 &\quad - A(x) Y(x) \int_x^b B^{-1} R_b Y(b) Y^{-1}(t) f(t) dt + Y(x) B^{-1} R_b Y(b) Y^{-1}(x) f(x) \\
 &= A(x) y(x) + Y(x) B^{-1} \underbrace{(R_a Y(a) + R_b Y(b))}_{=B} Y^{-1}(x) f(x) \\
 &= A(x) y(x) + f(x)
 \end{aligned}$$

■

6.2 Skalare Gleichungen 2. Ordnung

Wir betrachten

$$\begin{aligned}
 (6.4) \quad & A(x)y'' + B(x)y' + C(x)y = f, \text{ auf } (a, b) \\
 & R_a \begin{pmatrix} y(a) \\ y'(a) \end{pmatrix} + R_b \begin{pmatrix} y(b) \\ y'(b) \end{pmatrix} = \begin{pmatrix} \rho_1 \\ \rho_2 \end{pmatrix} \in \mathbb{R}^2
 \end{aligned}$$

mit A, B, C hinreichend glatt und $A > 0$ auf $[a, b]$.

Beispiel 6. (separierte Randbedingung). Für $R_a = \begin{pmatrix} r_{11}^a & r_{12}^a \\ 0 & 0 \end{pmatrix}, R_b = \begin{pmatrix} 0 & 0 \\ r_{21}^b & r_{22}^b \end{pmatrix}$ haben die Randbedingungen in (6.4) die Form

$$\begin{aligned}
 r_{11}^a y(a) + r_{12}^a y'(a) &= \rho_1 \\
 r_{21}^b y(b) + r_{22}^b y'(b) &= \rho_2
 \end{aligned}$$

Sie sind separiert. Für $r_{12}^a = r_{22}^b = 0$ (und $r_{11}^a = r_{21}^b = 1$) spricht man von Dirichlet - Randbedingungen. Falls $r_{11}^a = r_{21}^b = 0$ (und $r_{12}^a = r_{22}^b = 1$) spricht man von Neumann-Randbedingungen. Der allgemeine Fall heißt Robin-Randbedingungen („gemischte Randbedingungen“). Ein Beispiel für nicht separierte Randbedingungen sind periodische Randbedingungen

$$\begin{aligned}
 y(a) - y(b) &= 0 \\
 y'(a) - y'(b) &= 0,
 \end{aligned}$$

welche sich als $\begin{pmatrix} 1 & 0 \\ 1 & 0 \end{pmatrix} \begin{pmatrix} y(a) \\ y'(a) \end{pmatrix} - \begin{pmatrix} 1 & 0 \\ 1 & 0 \end{pmatrix} \begin{pmatrix} y(b) \\ y'(b) \end{pmatrix} = \begin{pmatrix} 0 \\ 0 \end{pmatrix}$ schreiben lässt. ■

Im Folgenden betrachten wir separierte Randbedingungen und die ODE in “selbstadjungierter” Form [[warum: später]]:

$$(6.5) \quad \begin{aligned} Ly &:= (-p(x)y')' + q(x)y = f(x) \text{ auf } (a, b) \\ R_1 y &:= \alpha_1 y(a) + \alpha_2 p(a)y'(a) = \rho_1 \in \mathbb{R} \\ R_2 y &:= \beta_1 y(b) + \beta_2 p(b)y'(b) = \rho_2 \in \mathbb{R} \end{aligned}$$

wobei $p, q \in C^1([a, b]; \mathbb{R})$, $p > 0$ auf $[a, b]$, $\alpha_i, \beta_i \in \mathbb{R}$. [[Notation: A abgeschlossen, $u \in C^1(A; \mathbb{R})$ bedeutet: \exists offene Umgebung \tilde{A} von A und $U \in C^1(\tilde{A}; \mathbb{R})$ mit $U|_A = y$.]]

Übung: Die ODE (6.4) kann auf die Form (6.5) gebracht werden, indem $p(x) := e^a \int_a^x \frac{B(t)}{A(t)} dt$, $q(x) = -p(x) \frac{C(x)}{A(x)}$ gesetzt wird und (6.4) mit $-\frac{p(x)}{A(x)}$ multipliziert wird. ■

Satz 6.6.

Vor.: Sei $\{y_1, y_2\}$ ein Fundamentalsystem für $Ly = 0$.

Beh.: Dann ist (6.5) genau dann für alle $f \in C([a, b]; \mathbb{R})$ und $\rho_1, \rho_2 \in \mathbb{R}$ lösbar, wenn

$$\det \begin{pmatrix} R_1 y_1 & R_1 y_2 \\ R_2 y_1 & R_2 y_2 \end{pmatrix} \neq 0$$

Insbesondere ist dies genau dann der Fall, wenn (6.5) im homogenen Fall, (d.h. $f \equiv 0, \rho_1 = \rho_2 = 0$) nur trivial lösbar ist.

Beweis: Übung. ■

Die Greensche Funktion liefert eine Lösungsformel für das halbhomogene System (6.5) mit $\rho_1 = \rho_2 = 0$. Man kann die Greensche Funktion durch Umschreiben von (6.5) auf ein System 1. Ordnung bringen. Typischerweise „konstruiert“ man sie aber „direkt“.

Satz 6.7.

Vor.: Habe (6.5) für $f \equiv 0$ und $\rho_1 = \rho_2 = 0$ nur die triviale Lösung.

Beh.: Dann existiert $G \in C([a, b]^2; \mathbb{R})$, so dass $x \mapsto y(x) = \int_a^b G(x, t) f(t) dt$ die Lösung von (6.5) mit $\rho_1 = \rho_2 = 0$ ist. G erfüllt für jedes feste $t \in (a, b)$:

- (i) $LG(\cdot, t) = 0$ auf $(a, t) \cup (t, b)$
- (ii) $G(\cdot, t)$ ist stetig bei $x = t$
 $\partial_x G(t^+, t) - \partial_x G(t^-, t) = -\frac{1}{p(t)}$
- (iii) $R_1 G(\cdot, t) = 0$
 $R_2 G(\cdot, t) = 0$

Anstelle eines Beweises konstruieren wir G für ein Beispiel.

Beispiel:

$$\begin{aligned} -u'' + u &= f \text{ auf } (0, 1) \\ u(0) &= 0 \\ u(1) &= 0 \end{aligned} \tag{*}$$

Um die Greensche Funktion zu konstruieren gehen wir so vor:

- Fundamentallösungen $e^{\pm x}$. Bequemer: $\sinh x, \cosh x$. Noch Bequemer: $\sinh(x), \sinh(x-1)$.
- Ansatz für G :

$$G(x, t) = \begin{cases} a_1(t) \sinh x + a_2(t) \sinh(x-1), & x \leq t \\ b_1(t) \sinh x + b_2(t) \sinh(x-1), & x > t \end{cases}$$

- Die Bedingung (iii) liefert $a_2(t) = 0, b_1(t) = 0$.
- Die Bedingung (ii) liefert
$$\begin{aligned} G(t+, t) = b_2(t) \sinh(t-1) &\stackrel{!}{=} G(t-, t) = a_1(t) \sinh t \\ \partial_x G(t+, t) - \partial_x G(t-, t) &\stackrel{!}{=} -1 \end{aligned}$$

$$\begin{aligned} \Rightarrow a_1(t) \sinh t - b_2(t) \sinh(t-1) &\stackrel{!}{=} 0 \\ -a_1(t) \cosh t + b_2(t) \cosh(t-1) &\stackrel{!}{=} -1 \\ \Rightarrow b_2(t) = -\frac{\sinh t}{\sinh 1}, \quad a_1(t) = -\frac{\sinh(t-1)}{\sinh 1} \\ \Rightarrow G(x, t) = \begin{cases} -\sinh x \frac{\sinh(t-1)}{\sinh 1}, & x < t \\ -\sinh(x-1) \frac{\sinh t}{\sinh 1}, & x \geq t \end{cases} \end{aligned}$$

Nachrechnen liefert, dass $y(x) = \int_0^1 G(x, t) f(t) dt$ das RWP (*) löst. ■

Lemma 6.8. (*Lagrangeidentität*):

Vor.: Seien $u, v \in C^2([a, b])$.

Beh.: Dann gilt $vLu - uLv = -(p(u'v - uv'))'$

insbesondere folgt $\int_a^b vLu \, dx = \int_a^b uLv \, dx$ falls u, v zusätzlich die homogenen Randwertbedingungen $R_1 u = R_2 u = 0 = R_1 v = R_2 v$ erfüllen.
(Hier fordern wir $(\alpha_1, \alpha_2) \neq (0, 0), (\beta_1, \beta_2) \neq (0, 0)$)

Beweis: Die erste Aussage folgt durch Nachrechnen. Für die zweite Aussage unterscheiden wir:

1. Fall: $\alpha_2 = 0$: Damit $\alpha_1 \neq 0$, d.h. $u(a) = 0 = v(a)$

$$\text{Weiters ist } p(a) \underbrace{u'(a)}_{=0} v(a) - p(a) \underbrace{u(a)}_{=0} v'(a) = 0$$

2. Fall: $\alpha_2 \neq 0$:

$$p(a)u'(a)v(a) - p(a)u(a)v'(a) \underset{R_1 u=0=R_2 v}{=} -\frac{\alpha_1}{\alpha_2}u(a)v(a) - \left(-\frac{\alpha_1}{\alpha_2}u(a)v(a)\right) = 0$$

damit ist immer $p(u'v - uv')|_{x=a} = 0$. Analog bei $x = b$. Damit $0 = \int_a^b uLv - vLu \, dx$ ■

Bemerkung: Lemma 6.8. zeigt, dass der Operator L auf der Menge der C^2 -Funktionen, die die homogene Randbedingung erfüllen bzgl. des L^2 -Skalarprodukts symmetrisch (selbstadjungiert) ist.

$$\langle Lu, v \rangle_{L^2(a,b)} = \langle u, Lv \rangle_{L^2(a,b)}$$

■

Satz 6.9.

Vor.: Habe (6.5) für $f \equiv 0$ und $\rho_1 = \rho_2 = 0$ nur die triviale Lösung.

Beh.: Dann gilt für die Greensche Funktion aus Satz 6.7

$$G(x, t) = G(t, x) \quad \forall (x, t) \in [a, b]^2$$

Beweis: Sei $\mathcal{G} : C([a, b]) \Rightarrow C^2([a, b])$ gegeben durch $(\mathcal{G}f)(x) = \int_a^b G(x, t)f(t) dt$ der Lösungsoperator für (6.5) mit $\rho_1 = \rho_2 = 0$. Es reicht zu zeigen:

$$\begin{aligned} \langle \mathcal{G}f, g \rangle_{L^2[a, b]} &= \langle f, \mathcal{G}g \rangle_{L^2[a, b]} \quad \forall f, g \in C([a, b]) \\ &= \int_a^b \int_a^b G(x, t)f(t)g(x) dt dx = \int_a^b \int_a^b f(t)G(t, x)g(x) dx dt \end{aligned}$$

Sei $u = \mathcal{G}f$, $v = \mathcal{G}g$. Dann gilt: $Lu = f$ und $Lv = g$

$$\begin{aligned} \langle \mathcal{G}f, g \rangle_{L^2(a, b)} &= \langle u, g \rangle_{L^2(a, b)} = \langle u, Lv \rangle_{L^2(a, b)} \\ &\stackrel{\text{Lemma 6.8.}}{=} \langle Lu, v \rangle_{L^2(a, b)} = \langle f, u \rangle_{L^2(a, b)} = \langle f, \mathcal{G}g \rangle_{L^2(a, b)} \end{aligned} \quad \blacksquare$$

Übung 6.10. Sei (6.5) für $f = 0$ und $\rho_1 = \rho_2 = 0$ nur trivial lösbar. Sei $(\alpha_1, \alpha_2) \neq (0, 0)$, $(\beta_1, \beta_2) \neq (0, 0)$, u_1, u_2 zwei linear unabhängige Lösungen an $Lu = 0$, und es gilt $R_1 u_1 = 0$, $R_2 u_2 = 0$. Dann gilt: [Übungsbeispiel 11.3.]

$$1. \kappa(x) := p(x)(u_1'(x)u_2(x) - u_1(x)u_2'(x)) = \text{const} \neq 0$$

$$2. G(x, t) = \frac{1}{\kappa} \begin{cases} u_1(t)u_2(x), & t \leq x \\ u_1(x)u_2(t), & t > x \end{cases}$$

■

6.3 Sturm - Liouville Eigenwertprobleme

6.3.1 Motivation

Sturm - Liouville Eigenwertprobleme (SLEWP) treten z.B. beim Lösen von Partiellen Differentialgleichungen in separierbaren Geometrien auf. Zur Illustration betrachten wir die 1D-Wellengleichung, welche die Auslenkung einer eingespannten schwingenden Saite beschreibt.

$$\frac{1}{c^2} \frac{\partial^2}{\partial t^2} y(x, t) - \frac{\partial^2}{\partial x^2} y(x, t) = 0 \quad \text{für } (x, t) \in (0, 1) \times (0, \infty) \quad (6.6)$$

$$\begin{aligned} y(0, t) &= 0 \\ y(1, t) &= 0 \end{aligned} \quad \forall t \geq 0 \quad (6.7)$$

mit Anfangsbedingung

$$\begin{aligned} y(x, 0) &= y_0(x), \quad x \in (0, 1) \\ \frac{\partial}{\partial t} y(x, 0) &= y_1(x), \quad x \in (0, 1) \end{aligned} \quad (6.8)$$

für gegebene y_0, y_1 .

Idee: Suche „einfache“ Grundlösung der Gleichung (6.6) und verwende das Superpositionsprinzip um die Lösung von (6.6)-(6.8) zu bestimmen.

Ansatz für Lösungen von (6.6): $y(x, t) = v(x) \cdot w(t)$ („Separation der Variablen“). Einsetzen in (6.6) liefert:

$$\begin{aligned} \frac{1}{c^2} w''(t) v(x) &\stackrel{!}{=} v''(x) w(t) \\ \Rightarrow \underbrace{\frac{1}{c^2} \frac{w''(t)}{w(t)}}_{\text{hängt nur von } t \text{ ab}} &= \underbrace{\frac{v''(x)}{v(x)}}_{\text{hängt nur von } x \text{ ab}} \end{aligned}$$

\Rightarrow Es muss eine Konstante λ geben mit

$$\begin{aligned} \frac{1}{c^2} \frac{w''}{w} &= -\lambda = \frac{v''}{v} \\ \Rightarrow \begin{cases} -\lambda v - v'' &= 0 & \text{auf } (0, 1), & v(0) = 0 = v(1) \\ -\lambda c^2 w - w'' &= 0 & \text{auf } (0, \infty) \end{cases} \end{aligned}$$

Die allgemeine Lösung für v ist $v(x) = c_1 \sin(\sqrt{\lambda}x) + c_2 \cos(\sqrt{\lambda}x)$.

Die allgemeine Lösung für w ist $w(t) = c_3 \sin(c\sqrt{\lambda}t) + c_4 \cos(c\sqrt{\lambda}t)$.

Um die Randbedingung $v(0) = v(1) = 0$ zu berücksichtigen, setzen wir $c_2 = 0$ und müssen fordern, dass $\sqrt{\lambda} = \pi n$ für ein $n \in \mathbb{Z} \setminus \{0\}$, das heißt $\lambda = \pi^2 n^2$.

\Rightarrow Jedes $v(x)w(t) = \sin(n\pi x)(c_3 \sin(c\pi n t) + c_4 \cos(c\pi n t))$ ist eine Lösung von (6.6) und erfüllt die Randbedingung (6.7).

\Rightarrow Ansatz für Lösung von (6.6)-(6.8):

$$(6.9) \quad y(x, t) = \sum_{n=1}^{\infty} \sin(n\pi x) (c_{1,n} \sin(n\pi c t) + c_{2,n} \cos(n\pi c t))$$

Die Koeffizienten $c_{1,n}, c_{2,n}$ ergeben sich aus der Anfangsbedingung (6.8):

$$\begin{aligned} y_0(x) &\stackrel{!}{=} \sum_{n=1}^{\infty} c_{2,n} \sin(n\pi x), & x \in (0, 1) \\ y_1(x) &\stackrel{!}{=} \sum_{n=1}^{\infty} c_{1,n} (n\pi c) \sin(n\pi x), & x \in (0, 1) \end{aligned}$$

Also: Aus den Fourierreihen von y_0 und y_1 lässt sich (zumindest formal) eine Lösung des Problems (6.6)-(6.8) angeben. [Für rigorose Theorie benötigt man Eindeutigkeitsaussagen für (6.6)-(6.8) und Konvergenzaussagen für die Reihen]

Beobachtung: Entscheidend für den Separationsansatz ist das Eigenwertproblem:

$$\begin{aligned} \text{Finde } (v, \lambda) &\in C^2([0, 1]; \mathbb{R}) \times \mathbb{R} \text{ so dass} \\ -v'' - \lambda v &= 0 & \text{auf } (0, 1) \\ v(0) &= 0 \\ v(1) &= 0 \end{aligned}$$

Etwas allgemeiner betrachten wir:

Definition 6.11. Sei (a, b) endliches Intervall. Seien $p, q, r \in C^1([a, b], \mathbb{R})$ mit $p, r > 0$ auf $[a, b]$. Seien $\alpha_1, \alpha_2, \beta_1, \beta_2 \in \mathbb{R}$ mit $(\alpha_1, \alpha_2) \neq (0, 0)$ und $(\beta_1, \beta_2) \neq (0, 0)$. Die Aufgabe: Finde $(y, \lambda) \in C^2([a, b]; \mathbb{R}) \setminus \{0\} \times \mathbb{R}$, so dass

$$-(py')' + qy = \lambda ry \quad \text{auf } (a, b)$$

$$R_1 y := \alpha_1 y(a) + \alpha_2 p(a) y'(a) = 0$$

$$R_2 y := \beta_1 y(b) + \beta_2 p(b) y'(b) = 0$$

heißt Sturm-Liouville EWP (SLEWP). y heißt Eigenfunktion, λ Eigenwert.

Es liegt nahe, folgende Fragen zu stellen:

- 1) Gibt es Eigenwerte/Eigenfunktionen?
- 2) Lässt sich „jede“ Funktion f als Reihe $f(x) = \sum f_n y_n(x)$ darstellen, wobei $(y_n)_{n=0}^\infty$ die Eigenfunktionen sind?

Die Hauptaussagen von SLEWP sind:

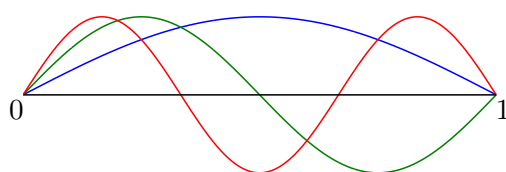
Satz 6.12.

Vor.: Sei $Ly = 0, R_1 y = 0 = R_2 y$ nur trivial lösbar. Ein SLEWP (im Sinn von Definition 6.11.) hat als Lösungen eine Folge von Eigenpaaren $((y_n, \lambda_n))_{n=0}^\infty$ [also abzählbar viele].

Beh.: Es gilt:

- (i) $\lambda_0 < \lambda_1 < \dots \rightarrow \infty$ für $n \rightarrow \infty$
- (ii) $\exists c_1, c_2 > 0 : c_1 n^2 \leq \lambda_n \leq c_2 n^2 \quad \forall n$ hinreichend groß.
- (iii) Die Eigenfunktion y_n , die zum EW λ_n gehört, hat in (a, b) genau n Nullstellen. Zwischen 2 Nullstellen von y_n liegt genau eine Nullstelle von y_{n+1} .

Beweis: Funktionalanalysis. ■



Dies sind die ersten drei Eigenfunktionen aus dem Motivationsbeispiel:
 $\sin(k \cdot \pi x), \quad k \in \{1, 2, 3\}$ für $x \in [0, 1]$

Satz 6.13. (*Entwicklungssatz*):Vor.: Sei $Ly = 0$, $R_1y = 0 = R_2y$ nur trivial lösbar.Beh.: Die Eigenfunktionen $(y_n)_{n=0}^\infty$ lassen sich so normieren, dass gilt

$$\int_a^b y_n^2 r(x) dx = 1 \quad \forall n \in \mathbb{N}_0$$

Weiters bilden sie ein Orthogonalsystem:

$$\int_a^b y_n(x) y_m(x) r(x) dx = \delta_{nm} \quad \forall n, m \in \mathbb{N}_0$$

Beweis: Funktionalanalysis. ■

Jede Funktion $y \in C^1([a, b]; \mathbb{R})$, welche $R_1y = R_2y = 0$ erfüllt, lässt sich in eine absolut und gleichmäßig konvergente Reihe $y(x) = \sum_{n=0}^\infty c_n y_n(x)$ entwickeln, wobei $c_n := \int_a^b y(x) y_n(x) r(x) dx$. Diese Entwicklung heißt Fourierreihe, die c_n heißen Fourierkoeffizienten. Tatsächlich konvergiert die Reihe $\sum c_n y_n$ für jedes $y \in L^2(a, b)$ gegen y [Konvergenz in $L^2([a, b])$].

6.3.2 Exkurs: Spektraltheorie kompakter Operatoren

Sei $(H, \langle \cdot, \cdot \rangle_H)$ ein komplexer, separabler Hilbertraum mit Innenprodukt $\langle \cdot, \cdot \rangle_H$. Ein linearer Operator $A : H \rightarrow H$ heißt

- (i) **selbstadjungiert**, falls $\langle Ax, y \rangle_H = \langle x, Ay \rangle_H, \forall x, y \in H$
- (ii) **beschränkt**, falls $\sup_{0 \neq x \in H} \frac{\|Ax\|_H}{\|x\|_H} < \infty$
- (iii) **kompakt**, falls für jede beschränkte Folge $(x_n)_{n=0}^\infty \subset H$ gilt:

$(Ax_n)_{n=0}^\infty$ hat eine konvergente Teilfolge

Aus der linearen Algebra verallgemeinern wir das Konzept des Eigenwertes: $\lambda \in \mathbb{C}$ heißt Eigenwert von A , falls

$$\ker(A - \lambda) = \{x \in H : (A - \lambda)x = 0\} \neq \{0\}$$

Die Elemente von $\ker(A - \lambda)$ heißen Eigenvektoren (EV), $\ker(A - \lambda)$ heißt Eigenraum zum Eigenwert λ . $\dim \ker(A - \lambda)$ heißt Vielfachheit von λ .

Lemma 6.14.

Vor.: Sei A selbstadjungiert

Beh.: Dann gilt:

- (i) alle EW von A sind reell.
- (ii) die EV zu verschiedenen EW sind orthogonal.

Beweis: Analog zu dem Beweis für Matrizen in der VO „Lineare Algebra“. ■

Lemma 6.15.

Vor.: Sei A kompakt.

Beh.: Dann gilt:

- (i) Es gibt nur abzählbar viele EW von A . Der einzige mögliche Häufungspunkt dieser EW ist $\lambda = 0$.
- (ii) Jeder EW $\lambda \neq 0$ hat endliche Vielfachheit.

Beweis: Funktionalanalysis. ■

Satz 6.16. (*Spektralsatz für selbstadjungierte, kompakte Operatoren*):

Vor.: Sei A selbstadjungiert und kompakt.

Beh.: Dann gilt:

\exists Folge $(\lambda_n)_{n=0}^\infty$ von reellen EW mit zugehörigen Eigenvektoren $(x_n)_{n=0}^\infty$, die orthonormal sind. Zudem lässt sich jedes $x \in \text{ran } A := \{Az : z \in H\}$ darstellen als $x = \sum_n \langle x, x_n \rangle_H x_n$. Falls $\overline{\text{ran } A} = H$, dann bilden die Vektoren x_n eine Orthonormalbasis von H .

Beweis: Funktionalanalysis. ■

Satz 6.16a.

Vor.: Sei A selbstadjungiert und kompakt.

Beh.: Dann gilt:

- (i) $\overline{\text{ran } A} + \ker A = H$
- (ii) $\text{ran } A \perp \ker A$
- (iii) Seien $\lambda_1, \lambda_2, \dots$ die (höchstens abzählbar vielen) Eigenwerte von A , die ungleich Null sind. Sie sind reell. Seien sie geordnet $|\lambda_1| \geq |\lambda_2| \geq \dots$ und treten gemäß ihrer Vielfachheit mehrfach auf. Seien x_1, x_2, \dots die zugehörigen Eigenvektoren, die orthonormiert seien.

Dann gilt: $x \in \text{ran } A$ impliziert $x = \sum_n \langle x, x_n \rangle_H x_n$. [konvergiert in H]

- (iv) Der einzig mögliche Häufungspunkt der Eigenwerte λ_n ist Null.

- (v) Wählt man eine ONB $(x'_n)_n$ von $\ker A$, so gilt:

$$x = \sum_n \langle x, x_n \rangle_H x_n + \sum_n \langle x, x'_n \rangle_H x'_n \quad \forall x \in H.$$

- (vi) $Ax = \sum_n \lambda_n \langle x, x_n \rangle_H x_n$

Beweis: Funktionalanalysis. ■

Beispiel:

- 1) Sei $H = \mathbb{C}^d$ und A gegeben durch eine Matrix $\tilde{A} \in \mathbb{C}^{d \times d}$. Dann gilt:

- A ist selbstadjungiert [bedeutet: $\tilde{A} = \tilde{A}^H$]
- A ist kompakt [Bolzano-Weierstrass]

Aus der linearen Algebra folgt:

$$\mathbb{C}^d = \text{ran } A \oplus \underbrace{\ker A^H}_{=A} = \text{ran } A \oplus \ker A$$

- 2) Sei $(e_n)_{n=0}^\infty$ eine ONB von H . Sei $(\lambda_n)_{n=0}^\infty \subset \mathbb{R}$ eine Nullfolge. Dann gilt: $x \mapsto Ax := \sum_n \lambda_n \langle x, e_n \rangle_H e_n$ ist kompakt [Diagonalisierungsargument] und selbstadjungiert. Es ist $\ker A = \text{span}\{e_n : \lambda_n = 0\}$.

- 3) Seien $l_1, \dots, l_d \in C([a, b]; \mathbb{R})$. Definiere auf $L^2(a, b)$ den Operator $f \mapsto Af \in L^2$ durch

$$(Af)(x) = \int_a^b \sum_{i=1}^d l_i(x) \overline{l_i(t)} f(t) dt = \sum_{i=1}^d l_i(x) \int_a^b \overline{l_i(t)} f(t) dt = \sum_{i=1}^d l_i(x) \langle f, l_i \rangle_{L^2}$$

Dann gilt: A ist selbstadjungiert und kompakt.

Übung: $\ker A$ ist ∞ -dimensional, A hat höchstens d nichttriviale Eigenwerte. ■

6.3.3 Anwendung des Spektralsatzes auf SLEWP

Mit $Ly := -(py')' + qy$ ist das SLEWP finde $(y, \lambda) \in (C^2([a, b]; \mathbb{R}) \setminus \{0\}) \times \mathbb{R}$, so dass

$$(6.10) \quad \begin{aligned} Ly &= \lambda ry \\ R_1 y &= 0 = R_2 y \end{aligned}$$

$L : C^2 \rightarrow C$ ist nicht kompakt. Damit ist die Theorie aus 6.3.2 nicht anwendbar. Allerdings wird sich zeigen, dass der Lösungsoperator kompakt ist. Sei

$$\mathcal{G} : C([a, b]; \mathbb{R}) \rightarrow C^2([a, b]; \mathbb{R})$$

der Lösungsoperator für

$$\begin{cases} Ly = f \\ R_1 y = 0 = R_2 y \end{cases}$$

Offensichtlich ist (6.10) äquivalent zu $y = \lambda \mathcal{G}(ry)$, was äquivalent ist zu $\frac{1}{\lambda} y = \mathcal{G}(ry)$.

[[$\lambda = 0$ ist bei uns nicht zugelassen, da wir fordern, dass $Ly = 0, R_1 y = 0 = R_2 y$ nur trivial lösbar ist, was die Existenz von \mathcal{G} impliziert.]]

Um die Theorie des Abschnittes 6.3.2 zu verwenden, müssen wir einen komplexen Hilbertraum finden, in dem $\tilde{\mathcal{G}} : z \mapsto \mathcal{G}(rz)$ selbstadjungiert und kompakt ist. Wir wählen für H den Raum $L^2(a, b)$ mit der üblichen Identifizierung von Funktionen, die sich nur auf einer Lebesgue-Nullmenge unterscheiden. Es wird geschickt sein, $L^2(a, b)$ mit dem Innenprodukt

$$\langle u, v \rangle_{L_r^2} := \int_a^b u(x) \overline{v(x)} r(x) dx$$

zu verstehen. Nach Voraussetzung ist $r \in C([a, b]; \mathbb{R})$ positiv auf $[a, b]$. Die Norm $\|\cdot\|_{L_r^2}$ ist damit äquivalent zu $\|\cdot\|_{L^2}$.

Übung: $(L^2(a, b), \langle \cdot, \cdot \rangle_{L_r^2})$ ist ein Hilbertraum ■

Lemma 6.17.

Vor.: Sei $Ly = 0, R_1 y = 0 = R_2 y$ nur trivial lösbar.

Beh.: Dann gilt: Der Operator $\tilde{\mathcal{G}} : z \mapsto \mathcal{G}(rz)$ erfüllt:

- (i) $\tilde{\mathcal{G}}$ ist selbstadjungiert auf $(L^2(a, b), \langle \cdot, \cdot \rangle_{L_r^2})$.
- (ii) $\tilde{\mathcal{G}}$ ist kompakt.
- (iii) $\lambda = 0$ ist kein Eigenwert von $\tilde{\mathcal{G}}$.
- (iv) Die Eigenpaare $(\lambda_n, y_n)_{n=0}^\infty$ von $\tilde{\mathcal{G}}$ erfüllen
 - (a) $(\lambda_n)_n \subset \mathbb{R}, \lambda_n \rightarrow 0$ für $n \rightarrow \infty$
 - (b) Die Eigenfunktionen $y_n, n \in \mathbb{N}_0$, sind L_r^2 -orthogonal und, nach Normierung, erfüllen $\langle y_n, y_m \rangle_{L_r^2} = \delta_{nm}$.
 - (c) $(y_n)_{n=0}^\infty$ ist ONB von $(L^2(a, b), \langle \cdot, \cdot \rangle_{L_r^2})$
- (v) Die Paare $((\frac{1}{\lambda_n}, y_n))_{n=0}^\infty$ sind die Eigenpaare des SLEWP (6.10).

Beweis:

ad (i): Seien $f, g \in L^2(a, b)$, dann gilt:

$$\begin{aligned}
 \langle \tilde{\mathcal{G}}f, g \rangle_{L^2_r} &= \int_a^b (\tilde{\mathcal{G}}f)(x) \overline{g(x)} r(x) dx \\
 &= \int_a^b (\mathcal{G}(rf))(x) \overline{g(x)} r(x) dx \\
 &= \int_a^b \left(\int_a^b G(x, t) r(t) f(t) dt \right) \overline{g(x)} r(x) dx \\
 &\stackrel{\text{Fubini}}{=} \int_a^b \int_a^b \underbrace{G(x, t)}_{\substack{\text{Satz 6.9} \\ G(t, x) = \overline{G(t, x)}}} \overline{g(x)} \underbrace{r(x)}_{\overline{r(x)}} dx r(t) f(t) dt \\
 &= \int_a^b r(t) f(t) \overline{\mathcal{G}(gr)} dt = \langle f, \tilde{\mathcal{G}}(g) \rangle_{L^2_r}
 \end{aligned}$$

ad (ii): Der Operator \mathcal{G} (und damit auch $\tilde{\mathcal{G}}$) ist kompakt: Zuerst müssen wir den Operator \mathcal{G} , der bisher nur auf $C([a, b]; \mathbb{R})$ definiert war, auf $L^2(a, b)$ definieren. Dazu definieren wir \mathcal{G} auf L^2 punktweise durch

$$(\mathcal{G}f)(x) = \int_a^b G(x, t) f(t) dt$$

Weil $G \in C([a, b]^2)$ [vgl. Übung 6.10.] erhalten wir

$$(a) \quad |(\mathcal{G}f)(x)| \leq \int_a^b |G(x, t) f(t)| dt \leq \|G(x, \cdot)\|_{L^2} \|f\|_{L^2} \leq \sqrt{b-a} \|G\|_{C([a, b]^2)} \|f\|_{L^2}.$$

Daraus folgt, dass $\mathcal{G} : L^2 \rightarrow L^2$. [sogar: $\mathcal{G} : L^2 \rightarrow L^\infty$]

(b) Für $f \in L^2(a, b)$ ist $\mathcal{G}f$ stetig: Aus der gleichmäßigen Stetigkeit von G auf $[a, b]^2$ folgt, dass es zu jedem $\varepsilon > 0$ ein $\delta > 0$ gibt mit

$$|G(x, t) - G(x', t)| \leq \varepsilon \quad \forall x, x', t \text{ mit } |x - x'| \leq \delta, t \in [a, b]$$

Damit

$$\begin{aligned}
 |Gf(x) - Gf(x')| &= \left| \int_a^b (G(x, t) - G(x', t)) f(t) dt \right| \\
 &\leq \|G(x, \cdot) - G(x', \cdot)\|_{L^2} \|f\|_{L^2} \\
 &\leq \varepsilon \sqrt{b-a} \|f\|_{L^2} \text{ falls } |x - x'| \leq \delta
 \end{aligned}$$

(c) Die Menge $M := \{\mathcal{G}f : f \in L^2 \text{ mit } \|f\|_{L^2} \leq 1\}$ ist gleichgradig stetig: Dies folgt aus den Argumenten von (b). Wegen (a) ist sie auch punktweise beschränkt. Arzelà-Ascoli liefert damit, dass $M \subset C([a, b])$ präkompakt ist.

(d) Aus (c) folgt, dass $\mathcal{G} : L^2 \rightarrow L^2$ ein kompakter Operator ist. ■

Bemerkung: Um zu sehen, dass $\mathcal{G} : L^2 \rightarrow L^2$ kompakt ist, kann man auch zeigen, dass $\mathcal{G} : L^2 \rightarrow H^1$ und dann die kompakte Einbettung $H^1 \subset\subset L^2$ verwenden. [Blümlinger: Satz von Rellich–Kondrachov, 6.4.1]

$$H^1 = W^{1,2}(a, b) = \{u \in L^2(a, b) : u' \in L^2(a, b)\} \quad [\text{Vgl. Blümlinger Satz 6.2.1}]$$

■

6.3.4 Ausgewählte Beweise für die Sätze 6.12, 6.13

Lemma 6.18.

Vor.: Sei $Ly = 0$, $R_1y = 0 = R_2y$ nur trivial lösbar. Seien $((\lambda_n, y_n))_{n=0}^\infty$ die Eigenpaare des SLEWP (6.10). Sei G die Greensche Funktion für das RWP

$$Ly = f, \quad R_1y = 0 = R_2y$$

Beh.: Dann gilt:

- (i) $\langle G(x, \cdot), y_n \rangle_{L_r^2} = \frac{1}{\lambda_n} y_n(x), \quad x \in (a, b)$
- (ii) $\sum_n \left| \frac{1}{\lambda_n} y_n(x) \right|^2 = \|G(x, \cdot)\|_{L_r^2}^2 \leq (b-a) \|G\|_{C([a,b]^2)}^2 \|r\|_{C([a,b])},$ falls zusätzlich die (y_n) L_r^2 - orthonormal angenommen sind.

Beweis:

ad(i): Es ist $Ly_n = \lambda_n y_n r$. Dann gilt:

$$y_n(x) = (\mathcal{G}(\lambda_n r y_n))(x) = \int_a^b G(x, t) \lambda_n r(t) y_n(t) dt = \lambda_n \langle G(x, \cdot), y_n(\cdot) \rangle_{L_r^2}$$

ad(ii): Folgt aus (i) und der Tatsache, dass $(y_n)_n$ eine ONB von $(L^2(a, b), \langle \cdot, \cdot \rangle_{L_r^2})$ ist. ■

Lemma 6.19.

Vor.: Seien $u, v \in C^2([a, b])$ und $a \leq x_0 < x_1 \leq b$ zwei aufeinanderfolgende Nullstellen von u . Es sei

$$\frac{Lu}{u} \leq \frac{Lv}{v} \quad \forall x \in (x_0, x_1) \text{ mit } v(x) \neq 0.$$

Beh.: Dann gilt: Genau einer der folgenden Fälle (i),(ii) tritt ein:

- (i) $v = cu$ für ein $c \in \mathbb{R}$
- (ii) v hat eine Nullstelle in (x_0, x_1)

Beweis: Es gelte nicht (ii). Z.z.: Es gilt (i). Weil $u, v \neq 0$ auf (x_0, x_1) angenommen ist, können wir o.B.d.A. $u > 0, v > 0$ auf (x_0, x_1) fordern. Die Annahme $u > 0$ auf (x_0, x_1) impliziert

$$u'(x_0) \geq 0 \quad \text{und} \quad u'(x_1) \leq 0.$$

Dann folgt auf (x_0, x_1) :

$$0 \leq uLv - vLu \stackrel{\text{Lagrangeidentität}}{=} \left(\underbrace{p(u'v - uv')}_{=:W} \right)'$$

also ist

$$W' \geq 0 \text{ auf } [x_0, x_1]$$

$$W(x_0) = p(x_0)u'(x_0)v(x_0) \geq 0$$

$$W(x_1) = p(x_1)u'(x_1)v(x_1) \leq 0$$

$$\Rightarrow W \equiv 0 \text{ auf } [x_0, x_1]$$

$$\left(\frac{v}{u}\right)' = \frac{v'u - u'v}{u^2} = \frac{-W}{pu^2} = 0$$

Das heißt $v = cu$ für ein $c \in \mathbb{R}$. ■

Satz 6.20.

Vor.: Sei $Ly = 0$, $R_1y = 0 = R_2y$ nur trivial lösbar.

Beh.: Dann gilt:

- (i) Alle EW λ_n des SLEWP (6.10) sind reell und einfach.
- (ii) $\lambda_n \rightarrow \infty$ für $n \rightarrow \infty$
- (iii) Die zugehörigen Eigenfunktionen y_n sind L_r^2 - orthogonal und können L_r^2 ortho-normiert werden.
- (iv) Jedes $y \in L^2(a, b)$ kann geschrieben werden als $y = \sum_n \langle y, y_n \rangle_{L_r^2} y_n$
[[Konvergenz in L_r^2]].
- (v) Für $y \in C^2([a, b])$, $R_1y = 0 = R_2y$ gilt $y(x) = \sum_n \langle y, y_n \rangle_{L_r^2} y_n(x)$, und die Reihe konvergiert gleichmäßig in $x \in [a, b]$.
- (vi) Zwischen 2 Nullstellen von y_n liegt eine Nullstelle von y_{n+1} .

Beweis:

ad (i): Wir zeigen, dass die EW einfach sind. [[Reell wurde bereits in Lemma 6.17 gezeigt]]
Annahme, es gibt zwei l.u. Eigenpaare (y, λ) , (v, λ) des SLEWP (6.10).

1. *Schritt: Behauptung:* es gibt eine Linearkombination $z = y + \beta v$ oder $z = v + \beta y$, $\beta \in \mathbb{R}$, so daß $z(a) = z'(a) = 0$.

1. *Fall:* $\alpha_1 \neq 0$: Falls $v'(a) = 0$, dann folgt wegen $R_1v = 0$, daß auch $v(a) = 0$ und $z = v$ leistet das Gewünschte. Falls $v'(a) \neq 0$, dann wähle $\beta \in \mathbb{R}$, so daß $z := y + \beta v$ die Bedingung $z'(a) = 0$ erfüllt. Wegen $R_1z = 0$ folgt dann auch $z(a) = 0$.

2. *Fall:* $\alpha_1 = 0$: Dann ist $v'(a) = y'(a) = 0$. Falls $v(a) = 0$, dann wähle $z = v$. Falls $v(a) \neq 0$, dann wähle $\beta \in \mathbb{R}$, so daß $z := y + \beta v$ die Bedingung $z(a) = 0$ erfüllt.

2. Schritt: Die Funktion z aus dem ersten Schritt erfüllt

$$\begin{aligned} Lz &= \lambda z \\ R_1 z &= 0 \\ \alpha_1 z(a) - \alpha_2 p(a) z'(a) &= 0 \end{aligned}$$

Daraus folgt wegen der Eindeutigkeit von AWP, dass $z = 0$. Widerspruch!

ad (v): Sei $y \in C^2([a, b])$ mit $R_1 y = 0 = R_2 y$. Dann gilt:

$$y = \sum_n \langle y, y_n \rangle_{L_r^2} y_n \quad \llbracket \text{konvergiert in } (L^2(a, b), \langle \cdot, \cdot \rangle_{L_r^2}) \rrbracket$$

Sei $x \in [a, b]$, $m, m' \in \mathbb{N}_0$. Dann gilt:

$$\begin{aligned} \left| \sum_{n=m}^{m'} \langle y, y_n \rangle_{L_r^2} y_n(x) \right|^2 &= \left| \sum_{n=m}^{m'} \langle y, y_n \rangle_{L_r^2} \lambda_n \left(\frac{1}{\lambda_n} y_n(x) \right) \right|^2 \\ &\leq \sum_{n=m}^{m'} \left| \underbrace{\langle y, y_n \rangle_{L_r^2} \lambda_n}_{=\langle Ly, y_n \rangle_{L^2} = \langle Ly, y_n \rangle_{L^2}} \right|^2 \cdot \underbrace{\sum_{n=m}^{m'} \left| \frac{1}{\lambda_n} y_n(x) \right|^2}_{\leq (b-a) \|G\|_{C([a,b]^2)}^2 \|r\|_{C([a,b])} [Lemma 6.8]} \\ &\leq \sum_{n=m}^{\infty} |\langle Ly, y_n \rangle_{L^2}|^2 \cdot \underbrace{(b-a) \|G\|_{C([a,b]^2)}^2 \|r\|_{C([a,b])}}_{=C} \rightarrow 0 \text{ f\"ur } m \rightarrow \infty \end{aligned}$$

$$\llbracket \sum_{n=1}^{\infty} |\langle Ly, y_n \rangle_{L^2}|^2 \text{ konvergiert, denn } \sum_{n=1}^{\infty} |\langle Ly, y_n \rangle_{L^2}|^2 = \sum_{n=1}^{\infty} \left| \langle \frac{1}{r} Ly, y_n \rangle_{L_r^2} \right|^2 = \left\| \frac{1}{r} Ly \right\|_{L_r^2}^2 \rrbracket$$

Also konvergiert die Reihe $\sum_{n=0}^{\infty} \langle y, y_n \rangle_{L_r^2} y_n(x)$ gleichmaig in x . Der Limes muss y sein.

ad (vi): Folgt aus Lemma 6.19 mit $u = y_n$ und $v = y_{n+1}$, denn $\frac{Lu}{u} = \lambda_n < \lambda_{n+1} = \frac{Lv}{v}$. ■

6.3.5 2 Beispiele fur Separationstechniken bei PDEs

Beispiel 1: Ziel: Finde $u : \Omega \rightarrow \mathbb{R}$ mit

$$\begin{aligned} -\Delta u &= f \quad \text{auf } \Omega = (0, \pi)^2 \\ u &= 0 \quad \text{auf } \partial\Omega \end{aligned} \quad (*)$$

$$\text{mit } -\Delta u(x, y) = - \left(\frac{\partial^2}{\partial x^2} u(x, y) + \frac{\partial^2}{\partial y^2} u(x, y) \right) \text{ und gegebener Funktion } f.$$

Schritt 1: Lose das EWP

$$\begin{aligned} Lu &= -\Delta u = \lambda u \quad \text{auf } \Omega \\ u &= 0 \quad \text{auf } \Omega \end{aligned}$$

Schritt 2: Separationsansatz

$$u(x, y) = v(x)w(y)$$

Einsetzen liefert:

$$\begin{aligned} & -(v''(x)w(y) + v(x)w''(y)) \stackrel{!}{=} \lambda v(x)w(y) \\ \Rightarrow & -\left(\frac{v''(x)}{v(x)} + \frac{w''(y)}{w(y)}\right) \stackrel{!}{=} \lambda \\ \Rightarrow & \underbrace{-\frac{v''(x)}{v(x)}}_{\text{hängt nur von } x \text{ ab}} \stackrel{!}{=} \underbrace{\lambda + \frac{w''(y)}{w(y)}}_{\text{hängt nur von } y \text{ ab}} \\ \Rightarrow & \exists \tilde{\lambda} \in \mathbb{R} : -\frac{v''(x)}{v(x)} = \tilde{\lambda} = \lambda + \frac{w''(y)}{w(y)} \end{aligned}$$

Nun werden die beiden Probleme getrennt gelöst:

- (i) $-v''(x) - \tilde{\lambda}v(x) = 0$
 $\Rightarrow v(x) = c_1 \sin(\sqrt{\tilde{\lambda}}x) + c_2 \cos(\sqrt{\tilde{\lambda}}x)$
- (ii) $(\tilde{\lambda} - \lambda)w(y) - w''(y) = 0$
 $\Rightarrow w(y) = \tilde{c}_1 \sin(\sqrt{\lambda - \tilde{\lambda}}y) + \tilde{c}_2 \cos(\sqrt{\lambda - \tilde{\lambda}}y)$

Die Randbedingung besagt, dass wir $v(0) = v(\pi) \stackrel{!}{=} 0$ fordern sollten,
 $\Rightarrow c_2 = 0$ und (um nichttriviale Lösungen zu erhalten)

$$\sqrt{\tilde{\lambda}} = n, \quad n \in \mathbb{N}, \text{ d.h. } \tilde{\lambda} = n^2$$

Die Randbedingung bei $y = 0$ und $y = \pi$ liefert nun für w :

$$\begin{aligned} w(0) = 0 = w(\pi), & \Rightarrow \tilde{c}_2 = 0 \text{ und } \sqrt{\lambda - \tilde{\lambda}} \stackrel{!}{=} m \in \mathbb{N} \\ \text{d.h. } \lambda = m^2 + \tilde{\lambda} & = m^2 + n^2 \end{aligned}$$

Insgesamt erhalten wir:

$$\begin{aligned} u(x, y) = v(x)w(y) = \sin(nx) \cdot \sin(my) \text{ ist Lösung von} \\ -\Delta u = \lambda u \quad \text{auf } \Omega \\ u = 0 \quad \text{auf } \partial\Omega \end{aligned} \quad (+)$$

mit $\lambda = n^2 + m^2$.

Normieren liefert Eigenpaare

$$(u_{n,m}, \lambda_{n,m}) := \left(\frac{2}{\pi} \sin(nx) \cdot \sin(my), n^2 + m^2 \right)$$

für das EWP (+).

Schritt 3: Beobachtung: Die Funktionen $(u_{n,m})_{n,m=1}^\infty$ bilden eine ONB von $L^2(0, \pi)^2$. Wir können also f aus (*) schreiben als

$$f = \sum_{n,m} f_{n,m} u_{n,m}, \quad f_{n,m} = \langle f, u_{n,m} \rangle_{L^2(\Omega)}$$

Zum Lösen von (*) machen wir den Ansatz

$$u = \sum_{n,m} \tilde{u}_{n,m} u_{n,m} \quad \text{für zu bestimmende Koeffizienten } \tilde{u}_{n,m} \in \mathbb{R}$$

$$\text{also: } -\Delta u \stackrel{!}{=} f = \sum_{n,m} f_{n,m} u_{n,m}$$

$$\text{wobei: } -\Delta u = -\Delta \left(\sum_{n,m} \tilde{u}_{n,m} u_{n,m} \right) = \sum_{n,m} \tilde{u}_{n,m} (-\Delta u_{n,m}) \stackrel{(+)}{=} \sum_{n,m} \tilde{u}_{n,m} \lambda_{n,m} u_{n,m}$$

Durch Koeffizientenvergleich erhalten wir nun:

$$\tilde{u}_{n,m} = \frac{f_{n,m}}{\lambda_{n,m}} = \frac{f_{n,m}}{n^2 + m^2}$$

also ist die gesuchte Lösung

$$u = \sum_{n,m} \frac{f_{n,m}}{n^2 + m^2} u_{n,m}$$

Beispiel 2: Ziel: Finde $u = u(t, x, y)$ so dass

$$\begin{aligned} \frac{\partial}{\partial t} u - \left(\frac{\partial^2}{\partial x^2} u + \frac{\partial^2}{\partial y^2} u \right) &= 0 & \text{für } (t, x, y) \in (0, \infty) \times (0, \pi)^2 \\ u(t, x, y) &= 0 & \text{für } t > 0, (x, y) \in \partial(0, \pi)^2 \\ u(0, x, y) &= u_0(x, y) & \forall (x, y) \in (0, \pi)^2 \end{aligned}$$

für eine gegebene Funktion u_0 . [Wärmeleitungsgleichung]

Seien $(u_{n,m}, \lambda_{n,m})$ die Eigenpaare von Beispiel 1.

Ansatz:

$$u(t, x, y) = \sum_{n,m} \tilde{u}_{n,m}(t) u_{n,m}(x, y)$$

Einsetzen dieses Ansatzes liefert:

$$0 \stackrel{!}{=} \frac{\partial}{\partial t} u - \left(\frac{\partial^2}{\partial x^2} u + \frac{\partial^2}{\partial y^2} u \right) = \sum_{n,m} (\tilde{u}'_{n,m}(t) + \tilde{u}_{n,m}(t) \lambda_{n,m}) u_{n,m}(x, y)$$

weil $(u_{n,m})$ ONB von $L^2(0, \pi)^2$ ist, muss also gelten

$$\begin{aligned} \tilde{u}'_{n,m}(t) + \lambda_{n,m} \tilde{u}_{n,m}(t) &= 0 \quad \forall t > 0 \\ \Rightarrow \tilde{u}_{n,m}(t) &= \hat{u}_{n,m} e^{-\lambda_{n,m} t} \end{aligned}$$

Entwickeln der Anfangsbedingung $u_0(x, y)$ in der ONB $(u_{n,m})_{n,m}$ liefert

$$u_0(x, y) = \sum_{n,m} \langle u_0, u_{n,m} \rangle_{L^2(0,\pi)^2} u_{n,m}$$

und damit folgt durch Koeffizientenvergleich

$$\hat{u}_{n,m} = \langle u_0, u_{n,m} \rangle_{L^2(0,\pi)^2}$$

Die Lösung des Problems ist damit

$$u(t, x, y) = \sum_{n,m} \langle u_0, u_{n,m} \rangle_{L^2(0,\pi)^2} e^{-\lambda_{n,m} t} u_{n,m}(x, y)$$

Grundzüge der Charakteristikenmethode

Eine weitere Möglichkeit, ODE-Techniken für partielle Differentialgleichungen (PDEs) zu verwenden, ist die Charakteristikenmethode.

7.1 Lineare Gleichungen

Betrachte $\Omega \subset \mathbb{R}$ und $u \in C^1(\Omega, \mathbb{R})$, welches

$$a(x, y)u_x(x, y) + b(x, y)u_y(x, y) = c(x, y) \quad \forall (x, y) \in \Omega \quad (7.1)$$

löst. Hier sind $u_x(x, y) = \frac{\partial}{\partial x}u(x, y)$, $u_y(x, y) = \frac{\partial}{\partial y}u(x, y)$ und a, b, c hinreichend glatte, reellwertige Funktionen.

Bemerkung: Lösungen sind nicht eindeutig (mit u ist auch $u + \lambda$, $\lambda \in \mathbb{R}$ eine Lösung) ■
Um ODE-Techniken zu verwenden, betrachten wir die Lösung u auf einer Kurve, die in Ω verläuft.

Sei die Kurve beschrieben durch

$$\{(x(s), y(s)) : s \in I \subset \mathbb{R}\}$$

Dann gilt für die Funktion

$$\begin{aligned} z(s) &:= u(x(s), y(s)) : \\ z'(s) &= u_x(x(s), y(s)) \cdot x'(s) + u_y(x(s), y(s)) \cdot y'(s) \end{aligned}$$

Um die PDE (7.1) verwenden zu können, betrachten wir nur Kurven, für die gilt:

$$\begin{aligned} x'(s) &= a(x(s), y(s)) \\ y'(s) &= b(x(s), y(s)) \end{aligned} \quad (7.2)$$

damit ergibt sich aus (7.1)

$$z'(s) = a(x(s), y(s))u_x(\dots) + b(x(s), y(s))u_y(\dots) = c(x(s), y(s)).$$

Das motiviert, die *charakteristischen Gleichungen* von (7.1) zu definieren:

$$\begin{aligned} x' &= a(x, y) \\ y' &= b(x, y) \\ z' &= c(x, y) \end{aligned} \quad (7.3)$$

Die entsprechenden Bahnkurven heißen Charakteristiken. Die Projektionen der Kurve $\{(x(s), y(s), z(s)) : s \in I\}$ in die $x - y$ -Ebene, d.h. die Kurve $\{(x(s), y(s)) : s \in I\}$ heißt die projizierte Charakteristik (oft verkürzt: "Charakteristiken")

Beispiel 7.1. Sei $a \in \mathbb{R}$

$$au_x + u_y = 0 \quad \text{auf } \mathbb{R}^2$$

Charakteristische Gleichung:

$$\begin{aligned} x' &= a \\ y' &= 1 \\ z' &= 0 \end{aligned} \quad \Rightarrow \quad \left. \begin{aligned} x(s) &= as + x_0 \\ y(s) &= s + y_0 \\ z(s) &= z_0 \end{aligned} \right\} \Rightarrow ay - x = \text{const.}$$

D.h. die projizierten Charakteristiken sind Geraden der Form $\{(x, y) : ay - x = \text{const}\}$.

Auf diesen Geraden ist $z(s) = u(x(s), y(s))$ konstant. Damit hat die Lösung $(x, y) \mapsto u(x, y)$ die Form $u(x, y) = f(x - ay)$ für eine Funktion f . Projizierte Charakteristiken sind Geraden mit Steigung $\frac{1}{a}$. Auf diesen Geraden ist die Lösung u konstant. [wenn f glatt ist, dann erfüllt $u(x, y) = f(x - ay)$ tatsächlich $au_x + 1u_y = af'(x - ay) + (-a)f'(x - ay) = 0$] ■

Beispiel 7.2. Wir betrachten

$$\begin{aligned} au_x + u_y &= 0 && \text{auf } \mathbb{R}^2 \\ u(x, 0) &\stackrel{!}{=} u_0(x), && x \in \mathbb{R} \end{aligned}$$

für gegebene Funktion u_0 .

Um die Lösung mittels des Charakteristikenverfahren zu bestimmen, parametrisieren wir die Kurve $\Gamma = \{(r, 0) : r \in \mathbb{R}\}$ und lösen das AWP:

$$\left. \begin{aligned} \frac{\partial}{\partial s} x(s, r) &= a, & x(0, r) &= r \\ \frac{\partial}{\partial s} y(s, r) &= 1, & y(0, r) &= 0 \end{aligned} \right\} \Rightarrow \begin{aligned} x(s, r) &= as + r \\ y(s, r) &= s \end{aligned}$$

$$\frac{\partial}{\partial s} z(s, r) = 0, \quad z(0, r) = u_0(r)$$

Wenn wir nun $u(\tilde{x}, \tilde{y})$ wissen wollen, müssen wir das Paar (s, r) so bestimmen, dass

$$\begin{aligned} x(s, r) &= \tilde{x} \\ y(s, r) &= \tilde{y} \end{aligned}$$

und anschließend $z(s, r) (= u_0(r))$ auswerten.

$$\text{Also: } \left. \begin{aligned} \tilde{x} &= as + r \\ \tilde{y} &= s \end{aligned} \right\} \Rightarrow r = \tilde{x} - a\tilde{y}, \quad s = \tilde{y}$$

Das heißt: $z(s, r) = u_0(r) = u_0(\tilde{x} - a\tilde{y})$, das heißt $u(\tilde{x}, \tilde{y}) = u_0(\tilde{x} - a\tilde{y})$. ■

Zusammenfassung:

Zum Lösen von $a(x, y)u_x + b(x, y)u_y = c(x, y), u = g$ auf Γ , wobei Γ eine vorgegebene Kurve und g eine gegebene Funktion auf Γ ist kann man so vorgehen:

1. Parametrisieren $\Gamma : \Gamma = \{(x_\Gamma(r), y_\Gamma(r)) : r \in I\}$

2. Aufstellen der charakteristischen Gleichungen:

$$\begin{aligned}\frac{\partial}{\partial s}x(s, r) &= a(x, y), & x(0, r) &= x_\Gamma(r) \\ \frac{\partial}{\partial s}y(s, r) &= b(x, y), & y(0, r) &= y_\Gamma(r) \\ \frac{\partial}{\partial s}z(s, r) &= c(x, y), & z(0, r) &= g(x_\Gamma(r), y_\Gamma(r))\end{aligned}$$

3. Um $u(\tilde{x}, \tilde{y})$ zu erhalten, bestimmt man (s, r) so, dass

$$\begin{cases} \tilde{x} = x(s, r) \\ \tilde{y} = y(s, r) \end{cases} \quad (7.5)$$

und erhält $u(\tilde{x}, \tilde{y}) = u(x(s, r), y(s, r)) = z(s, r)$.

Funktioniert das immer? Offensichtlich ist entscheidend, dass man das (nichtlineare) Gleichungssystem (7.5) für (s, r) bei gegebenem (\tilde{x}, \tilde{y}) lösen kann. Eine Minimalforderung wird sein, zumindest in der Nähe von Γ (d.h. $|s|$ klein) lösen zu können. Damit für (\tilde{x}, \tilde{y}) "nahe" bei Γ das System (7.5) lösbar ist, wird man fordern, dass die Funktion

$$(s, r) \mapsto F(s, r) := \begin{pmatrix} x(s, r) \\ y(s, r) \end{pmatrix}$$

die folgende Bedingung erfüllt: $(Df)(0, r)$ ist invertierbar (vgl. Satz über implizite Funktionen). Es ist

$$\begin{aligned}Df(0, r) &= \begin{pmatrix} \frac{\partial}{\partial s}x(0, r) & \frac{\partial}{\partial r}x(0, r) \\ \frac{\partial}{\partial s}y(0, r) & \frac{\partial}{\partial r}y(0, r) \end{pmatrix} \\ &= \begin{pmatrix} a(x_\Gamma(r), y_\Gamma(r)) & \frac{\partial}{\partial r}x(0, r) \\ b(x_\Gamma(r), y_\Gamma(r)) & \frac{\partial}{\partial r}y(0, r) \end{pmatrix}\end{aligned}$$

Also bedeutet die Bedingung für Invertierbarkeit von $Df(0, r)$ geometrisch, dass der Tangentialvektor an Γ (das heißt $(\frac{\partial}{\partial r}x(0, r), \frac{\partial}{\partial r}y(0, r))^T = (\frac{\partial}{\partial r}x_\Gamma(r), \frac{\partial}{\partial r}y_\Gamma(r))^T$) und der Tangentialvektor der projizierten Charakteristik auf der Kurve Γ sollten l.u. sein. Dies motiviert

Definition 7.3. Die Kurve $\Gamma = \{(x_\Gamma(r), y_\Gamma(r)) : r \in I\}$ ist nicht-charakteristisch im Punkt $(x_\Gamma(r), y_\Gamma(r)) \in \Gamma$, falls die Tangente dort l.u. vom Vektor $(a(x_\Gamma(r), y_\Gamma(r)), b(x_\Gamma(r), y_\Gamma(r)))$ ist. Die Kurve Γ heißt nicht-charakteristisch, falls sie in jedem Punkt nicht-charakteristisch ist.

Bemerkung: Was passiert, wenn man die Randbedingung auf einer Kurve Γ vorgibt, die charakteristisch ist?

1. Man kann die Lösung u nicht außerhalb von Γ bestimmen.
2. Der "Randwert" $g = u|_\Gamma$ kann nicht beliebig gewählt werden.

■

Beispiel:

$$\begin{aligned}au_x + u_y &= 0 & \text{auf } \mathbb{R}^2, & \quad a > 0 \\ u &= g & \text{auf } \Gamma\end{aligned}$$

wobei $\Gamma = \{(r, \frac{1}{a}r) : r \in \mathbb{R}\}$.

Dann ist Γ charakteristisch! Die Charakteristischen Gleichungen sind

$$\begin{aligned}\frac{\partial}{\partial s}x(s, r) &= a, & x(0, r) &= r \\ \frac{\partial}{\partial s}y(s, r) &= 1, & y(0, r) &= \frac{r}{a} \\ \frac{\partial}{\partial s}z(s, r) &= 0, & z(0, r) &= g(r, \frac{r}{a})\end{aligned}$$

also:

$$\begin{aligned}x(s, r) &= as + r \\ y(s, r) &= s + \frac{r}{a} \\ z(s, r) &= g(r, \frac{r}{a})\end{aligned}$$

Beobachtung: Für jedes feste r ist $\{(x(s, r), y(s, r)) : s \in \mathbb{R}\}$ eine Parametrisierung von $\Gamma = \{(r, \frac{r}{a}) : r \in \mathbb{R}\}$. Insbesondere ist für $(\tilde{x}, \tilde{y}) \notin \Gamma$ und das Gleichungssystem

$$(7.6) \quad \begin{cases} x(s, r) = \tilde{x} \\ y(s, r) = \tilde{y} \end{cases}$$

nicht lösbar. Weiters ergibt sich, dass die Lösung u auf der projizierten Charakteristik Γ konstant sein muss, d.h. g muss auf Γ konstant sein. ■

STICHWORTVERZEICHNIS

- Ansatzmethode, 39
- Arzelà-Ascoli, 17
- Attraktivität einer Lösung, 49
- Banachscher Fixpunktsatz, 8
- Charakteristik, 100
- charakteristische Gleichungen, 99
- d'Alembertsches Reduktionsprinzip, 26, 35
- \mathcal{E} , 59
- Eigenraum, 88
- Eigenvektor, 88
- Eigenwert, 88
 - Vielfachheit, 88
- Eulersches Polygonzugverfahren, 16
- Fail 7.3., 101
- Fourierkoeffizienten, 88
- Fourierreihe, 88
- Fundamentalmatrix, 22
- Fundamentalsystem, 22, 35
- Grönwall Lemma, 14
- Greensche Funktion, 81
- Greensche Matrix, 81
- Grenzzyklus, 74
- halbeinfacher EW, 55
- Hauptfundamentalmatrix, 22
- Hauptfundamentalsystem, 22
- Instabilität
 - Knoten, 51
 - Lösung, 49
 - Sattelpunkt, 51
 - Spiralpunkt, 53
 - Stern, 52
 - uneigentlicher Knoten, 52
- invariant, 66
- Jordanscher Kurvensatz, 69
- Klebelemma, 12
- koerziv, 60
- Lösungsbegriff, 6
 - AWP, 7
- Lösungsmatrix, 22
- Limesmenge $\omega_+(y_0)$, 66
- Ljapunov
 - direkte Methode, 61
 - Funktion, 59
- lokale Lipschitzstetigkeit, 11
- Matrixexponentialfunktion, 29
- nicht-charakteristisch, 101
- Operator
 - beschränkt, 88
 - kompakt, 88
 - selbstadjungiert, 88
- Orbit $\gamma_+(y_0)$, 66
 - heteroklin, 74
 - homoklin, 74
 - periodisch, 69
 - vollständig, 74
- periodisch
 - Funktion, 69
 - Orbit, 69
- Picard-Lindelöf-Iteration, 9, 29
- Poincaré-Bendixson, 73
- projizierte Charakteristik, 100
- ran, 89
- Randbedingungen
 - Dirichlet, 82
 - gemischte, 82
 - Neumann, 82
 - nicht separiert, 82

- periodische, 82
- Robin, 82
- separiert, 82
- Randwertproblem, 80
 - halbhomogen, 80
 - homogen, 80
 - inhomogen, 80
- Resonanzfall, 40
- Routh-Hurwitz-Kriterium, 59
- Ruhelage, 49
- Satz von
 - Hartman-Grobman, 56
 - Liouville, 23
 - Peano, 18
 - Picard-Lindelöf, 8
- SLEWP, 87
- Spektralsatz, 89
- Spur, 23
- Stabilität
 - asymptotisch, 49
 - Knoten, 51
 - Lösung, 49
 - Prinzip der linearisierten, 56
 - Spiralpunkt, 53
 - Stern, 52
 - uneigentlicher Knoten, 52
 - Zentrumspunkt, 53
- Sturm-Liouville EWP, 87
- Superpositionsprinzip, 21, 35
- Transversale, 69
- Variation der Konstanten, 35
- vollständig
 - Orbit, 74
- Wärmeleitungsgleichung, 97
- Wronskideterminante, 23